



การใช้เศษแก้วและการก่อตัวของเคลือบฟริตเป็นตัวช่วยหลอม
ในการผลิตกระเบื้องเซรามิก

โดย

นางสาวภัทรรรณ เฉยเจริญ

วิทยานิพนธ์นี้เป็นส่วนหนึ่งของการศึกษาตามหลักสูตร
วิศวกรรมศาสตรมหาบัณฑิต
สาขาวิชาเทคโนโลยีการจัดการพลังงานและสิ่งแวดล้อม ภาควิชาวิศวกรรมเคมี
คณะวิศวกรรมศาสตร์ มหาวิทยาลัยธรรมศาสตร์
พ.ศ. 2553

การใช้เศษแก้วและการต่อหนอนเคลือบพริตเป็นตัวช่วยหลอม
ในการผลิตกระเบื้องเซรามิก

โดย

นางสาวภัทรรรณ เจริญ

วิทยานิพนธ์นี้เป็นส่วนหนึ่งของการศึกษาตามหลักสูตร
วิศวกรรมศาสตรมหาบัณฑิต
สาขาวิชาเทคโนโลยีการจัดการพลังงานและสิ่งแวดล้อม ภาควิชาวิศวกรรมเคมี
คณะวิศวกรรมศาสตร์ มหาวิทยาลัยธรรมศาสตร์
พ.ศ. 2553

Using Glass Wastes and Frit Glaze Sludge as a Fluxing Agent
for Ceramic Tile Production

By

Miss Pattarawan Choeycharoen

A Thesis Submitted in Partial Fulfillment of the Requirements
for the Degree of Master of Engineering
Department of Chemical Engineering
Faculty of Engineering
Thammasat University
2010

มหาวิทยาลัยธรรมศาสตร์
คณะวิศวกรรมศาสตร์

วิทยานิพนธ์

ข้อ

นางสาวภัทรวรรณ เนยเจริญ

เรื่อง

การใช้ศีรษะแก้วและกากระดกอนเคลือบพริตเป็นตัวช่วยหลอมในการผลิตกระเบื้องเซรามิก

ได้รับการตรวจสอบและอนุมัติ ให้เป็นส่วนหนึ่งของการศึกษาตามหลักสูตร
วิศวกรรมศาสตรมหาบัณฑิต

เมื่อ วันที่ 3 มิถุนายน พ.ศ. 2553

ประธานกรรมการสอบวิทยานิพนธ์

(ผู้ช่วยศาสตราจารย์ ดร. สุพิชชา รุ่งโรจน์นิมิตชัย)

กรรมการและอาจารย์ที่ปรึกษาวิทยานิพนธ์หลัก

(รองศาสตราจารย์ ดร. ภาณุ ด่านวนิชกุล)

กรรมการและอาจารย์ที่ปรึกษาวิทยานิพนธ์ร่วม

(ดร. อรุณ วรรณะกุณ)

กรรมการสอบวิทยานิพนธ์

(อาจารย์ ดร. จิระวารณ คล้อยกยั่นต์)

คณบดี

(รองศาสตราจารย์ ดร. อุรุญา วีสกุล)

บทคัดย่อ

งานวิจัยนี้ได้ศึกษาการนำวัสดุเหลือทิ้งประเภทเศษแก้วโซดาไอล์ เศษแก้วใบโรซิลิเกต และกากระดกอนเคลือบพริต กลับมาใช้ให้เกิดประโยชน์ในการเป็นตัวช่วยหลอมทดแทนแร่โซเดียมเฟล์ดสปาร์ ซึ่งเป็นแร่ธรรมชาติที่นิยมใช้เป็นตัวช่วยหลอมในปัจจุบัน โดยมีวัตถุประสงค์ เพื่อช่วยลดอุณหภูมิในการเผา ลดการใช้ทรัพยากรธรรมชาติ และส่งเสริมการนำวัสดุเหลือทิ้งกลับมาใช้ให้เกิดประโยชน์ในอุตสาหกรรมการผลิตกระเบื้องเซรามิก การทดลองได้ทำการแทนที่แร่โซเดียมเฟล์ดสปาร์ซึ่งมีอยู่ในปริมาณ 40% ในสูตรกระเบื้องมาตรฐานที่ใช้อ้างอิงด้วยวัสดุเหลือทิ้งประเภทต่างๆ ในปริมาณ 50 60 70 80 และ 100% โดยน้ำหนัก การเตรียมชิ้นงานทดลองใช้วิธีการเดียวกับการผลิตจริงในทางอุตสาหกรรม ทำการเผาชิ้นงานที่อุณหภูมิ 1,000 1,050 1,100 และ $1,125^{\circ}\text{C}$ ทดสอบสมบัติทางกายภาพต่างๆ ได้แก่ ค่าการหดตัวเชิงเส้น ค่าความหนาแน่น ค่าการดูดซึมน้ำ และค่าความบิดเบี้ยวของชิ้นงานหลังเผา สมบัติทางกล ได้แก่ ค่าความต้านทานแรงดัด สมบัติทางความร้อน ได้แก่ ค่าการขยายตัวและหดตัวของชิ้นงานในระหว่างการเผาด้วยเครื่อง Dilatometer วิเคราะห์องค์ประกอบทางเคมีของสูตรเนื้อดินด้วยเทคนิค XRF และวิเคราะห์องค์ประกอบทางแร่ของชิ้นงานหลังเผาด้วยเทคนิค XRD เปรียบเทียบผลการทดสอบระหว่างชิ้นงานสูตรทดลองและสูตรมาตรฐานที่ใช้อ้างอิง เพื่อศึกษาประสิทธิภาพในการเป็นตัวช่วยหลอมของวัสดุเหลือทิ้งประเภทต่างๆ

ผลจากการศึกษา พบร่วมกับวัสดุเหลือทิ้งทุกประเภทสามารถนำมาใช้เป็นตัวช่วยหลอมทดแทนแร่โซเดียมเฟล์ดสปาร์ในการผลิตกระเบื้องบุผนังเซรามิกได้ โดยปริมาณการใช้งานมากสุดที่สามารถใช้ได้ในสูตรคือ 28% โดยน้ำหนัก (70% ของการแทนที่แร่โซเดียมเฟล์ดสปาร์) และสามารถช่วยลดอุณหภูมิในการเผาผลิตภัณฑ์ลงมาได้ที่ $1,050^{\circ}\text{C}$ โดยชิ้นงานยังคงมีสมบัติต่างๆ ผ่านตามเกณฑ์มาตรฐานผลิตภัณฑ์อุตสาหกรรมกระเบื้องบุผนังเซรามิกทั้งประเภทภายในและภายนอกอาคาร (มอก. 613-2529 และ มอก. 614-2529) โดยพบว่าหากกระดกอนเคลือบพริตมีประสิทธิภาพในการเป็นตัวช่วยหลอมได้มากที่สุด รองลงมาคือเศษแก้วโซดาไอล์ และเศษแก้วใบโรซิลิเกต ตามลำดับ นอกจากนี้ยังพบว่าการใช้วัสดุเหลือทิ้งทั้ง 3 ประเภทในปริมาณที่มากเกินกว่า 28% โดยน้ำหนัก และทำการเผาที่อุณหภูมิสูงกว่า $1,100^{\circ}\text{C}$ นั้น จะส่งผลต่อค่าความบิดเบี้ยวที่มากขึ้น และค่าความแข็งแรงที่ลดลงของชิ้นงานหลังเผา โดยพบว่ากระดกอนเคลือบพริตและเศษแก้วโซดาไอล์ จะส่งผลกระทบดังกล่าวมากกว่าเศษแก้วใบโรซิลิเกต

Abstract

The feasibility of substituting sodium feldspar flux, a raw material in ceramic wall tile body, with soda-lime glass waste, borosilicate glass waste and frit glaze sludge was investigated. The aim of this work is to reduce firing temperature, save natural resources and also promote the reuse of wastes as additives for traditional ceramic tile production. The test was done by replacing 40 wt% of sodium feldspar in reference tile formula with each of waste materials at 50, 60, 70, 80 and 100% by weight. Test specimens were prepared by the same process as in the industrial ceramic tile production. Prepared specimens were fired in the laboratory electric kiln at 1000, 1050, 1100 and 1125°C. Physical properties, i.e. linear firing shrinkage, bulk density, water absorption and warpage of fired samples, mechanical property, i.e. three-point bending strength, and thermal properties, i.e. thermal expansion and contraction of test specimens during firing measured by dilatometer were investigated. In addition, chemical composition of raw materials and body formula was measured by X-ray fluorescence technique and mineralogical composition of fired samples was analyzed by X-ray diffraction technique. Those test results as well as fluxing efficiency of waste materials for trial and reference tile formulas were compared.

The results showed that all each waste material could be used as a fluxing agent in replacement of sodium feldspar in ceramic wall tile body. The maximum quantity that could be used in body formula is 28% by weight (70 wt% replacement of sodium feldspar) and also helped decreasing the firing temperature to 1,050°C, while the fired samples still passed Thai Industrial Standards for ceramic wall tiles (TIS 613-2529 and TIS 614-2529). Fluxing efficiency of frit glaze sludge was better than soda-lime glass waste and borosilicate glass waste respectively. However, it should be noted that using each of these waste materials in high quantity of replacement more than 28 wt% in body formula and firing at high temperature (more than 1,100°C) could result in increasing warpage and decreasing bending strength of fired sample. It was found that the effects from frit glaze sludge and soda-lime glass waste were larger than borosilicate glass waste.

กิตติกรรมประกาศ

วิทยานิพนธ์นี้สำเร็จลุล่วงไปได้ด้วยดี ผู้วิจัยได้ขอขอบพระคุณ รองศาสตราจารย์ ดร. ภาณุ ด่านวนิชกุล กรรมการและอาจารย์ที่ปรึกษาวิทยานิพนธ์หลัก และ ดร. อนุชา วรรณ ก้อน กรรมการและอาจารย์ที่ปรึกษาวิทยานิพนธ์ร่วม ที่ได้ให้ความรู้ คำปรึกษา คำแนะนำ รวมถึง ให้ข้อเสนอแนะต่างๆ ทำให้สามารถแก้ไขปัญหา และทำวิจัยให้สำเร็จลุล่วงได้เป็นอย่างดี พร้อมกัน นี้ขอขอบพระคุณ ผู้ช่วยศาสตราจารย์ ดร. สุพิชชา รุ่งโรจน์นิมิตชัย และอาจารย์ ดร. จิราวรรณ คล้อยภายน์ ที่กรุณาร่วมเป็นประธานกรรมการ และคณะกรรมการในการสอบบัณฑิตวิทยานิพนธ์ครั้งนี้

ขอขอบพระคุณ คุณชูศักดิ์ ปรัชญาวงศ์ปีชา กรรมการผู้จัดการบริษัทฯ คุณนิธินันท์ นาญพมเนนิล ผู้จัดการโรงงาน คุณเกรียงสิทธิ์ สงเคราะห์ รองผู้จัดการโรงงาน และคุณบุศรินทร์ ม้า ทอง ผู้ช่วยผู้จัดการโรงงาน ตลอดจนพนักงานของบริษัท ไทยอุตสาหกรรมเครื่องปั้นดินเผา จำกัด และห้างหุ้นส่วนจำกัด กระเบื้องไทย ทุกท่าน ที่กรุณาร่วมกันให้ความช่วยเหลือและอำนวยสะดวก ในการทำวิจัยครั้งนี้ ทั้งในด้านอนุเคราะห์ข้อมูล วัสดุติด เครื่องมือและอุปกรณ์ต่างๆ รวมถึง สถานที่ที่ใช้ในการทำวิจัย

ขอขอบพระคุณ บริษัท AGC Techno Glass (ประเทศไทย) จำกัด ที่ให้การสนับสนุน เศษเก้าชนิดใบเรซิลิเกต ซึ่งเป็นวัสดุติดที่นำมาใช้ในงานวิจัย

ขอขอบพระคุณ ห้องปฏิบัติการผลิตและออกแบบสำหรับอุตสาหกรรมเซรามิกส์ หน่วยปฏิบัติการวิจัยเทคโนโลยีเซรามิกส์ ห้องปฏิบัติการเอกซ์เรย์ดิฟแฟรากันและเอกซ์เรย์ฟลูออเรสเซนส์ ห้องปฏิบัติการวิเคราะห์ทดสอบผลิตภัณฑ์กระเบื้องเซรามิก ของศูนย์เทคโนโลยีโลหะและวัสดุแห่งชาติ สำนักงานพัฒนาวิทยาศาสตร์และเทคโนโลยีแห่งชาติ ที่ให้การสนับสนุนสถานที่ รวมถึงเครื่องมืออุปกรณ์ต่างๆ ที่ใช้ในการทำวิจัย

สุดท้าย ขอขอบพระคุณบิดา นารดา ญาติพี่น้อง ตลอดจนเพื่อนและมิตรสหายทุกท่านที่เคยเป็นกำลังใจ และให้ความช่วยเหลือในด้านต่างๆ เป็นอย่างดี

หากวิทยานิพนธ์นี้ก่อให้เกิดประโยชน์ต่อส่วนรวม ผู้วิจัยขอขอบคุณดีนี้ให้แก่ผู้มี พระคุณทุกๆ ท่าน

ภัทรวรรณ เจริญ
มหาวิทยาลัยธรรมศาสตร์

พ.ศ. 2553

สารบัญ

บทคัดย่อ (ภาษาไทย) หน้า (1)

บทคัดย่อ (ภาษาอังกฤษ) (2)

กิตติกรรมประกาศ (3)

สารบัญ (4)

สารบัญตราสาร (7)

สารบัญภาพประกอบ (9)

บทที่

1.	บทนำ	1
1.1	หลักการและเหตุผล	1
1.2	วัตถุประสงค์ของการวิจัย	3
1.3	ขอบเขตของการวิจัย	3
1.4	ประโยชน์ที่คาดว่าจะได้รับ	5
2.	สารสนเทศทั่วไป	6
2.1	กระเบื้องเซรามิก	6
2.2	วัตถุดิบเซรามิก และวัตถุดิบประเภทตัวช่วยหลอม	9
2.3	วัสดุประเภทแก้วโซดาไลม์ และแก้วโบโรซิลิกेट	10
2.3.1	แก้วชนิดโซดาไลม์	10
2.3.2	แก้วชนิดโบโรซิลิกेट	11
2.4	พิธี และการใช้ในเคลือบเซรามิก	12

สารบัญ (ต่อ)

	หน้า
2.5 ผลงานนิวัจย์ที่เกี่ยวข้อง	13
3. ขั้นตอนดำเนินงานวิจัย.....	20
3.1 วัตถุดิบและอุปกรณ์	20
3.1.1 วัตถุดิบที่ใช้ในงานวิจัย	20
3.1.2 อุปกรณ์และเครื่องมือวิเคราะห์ที่ใช้ในงานวิจัย	22
3.2 การทดสอบเศษแก้วก้อนนำมาใช้งาน	23
3.3 การวิเคราะห์องค์ประกอบทางเคมีของวัตถุดิบประเภทตัวช่วยหลอม	25
3.4 การทดสอบการหลอมตัวของวัตถุดิบประเภทตัวช่วยหลอมในเบื้องต้น (Fusion Test)	25
3.5 การเตรียมชิ้นงานทดลอง	27
3.6 การวิเคราะห์ทดสอบสมบัติต่างๆ ของชิ้นงาน	35
3.6.1 การทดสอบสมบัติทางกายภาพของชิ้นงานหลังเผา.....	35
3.6.1.1 ค่าการหดตัวเชิงเส้น (Linear firing shrinkage)	35
3.6.1.2 ค่าความหนาแน่นทั้งก้อน (Bulk density)	35
3.6.1.3 ค่าการดูดซึมน้ำ (Water absorption).....	36
3.6.1.4 ค่าความบิดเบี้ยวของชิ้นงานหลังเผา (Warpage)	36
3.6.2 การทดสอบสมบัติทางกลของชิ้นงานหลังเผา	40
3.6.3 การทดสอบสมบัติทางความร้อน	43
3.6.4 การวิเคราะห์องค์ประกอบทางเคมี (Chemical Composition Analysis)	45
3.6.5 การวิเคราะห์องค์ประกอบทางแร่ (Mineralogical Composition Analysis)	46
4. ผลของการวิจัยและอภิปรายผล	47
4.1 ผลการทดสอบการหลอมตัวของวัตถุดิบประเภทตัวช่วยหลอมในเบื้องต้น (Fusion Test)	47

สารบัญ (ต่อ)

	หน้า
4.2 ผลการวิเคราะห์องค์ประกอบทางเคมีของวัตถุดิบประเภทตัวช่วยหลอม	49
4.3 ผลการทดสอบสมบัติทางกายภาพของชิ้นงานหลังเผา	51
4.3.1 ผลการทดสอบการหดตัวเชิงเส้น	52
4.3.2 ผลการทดสอบความหนาแน่นของชิ้นงาน	56
4.3.3 ผลการทดสอบการดูดซึมน้ำ	61
4.3.4 ผลการทดสอบความบิดเบี้ยวของชิ้นงาน	65
4.3.4.1 ผลการทดสอบความบิดเบี้ยวของชิ้นงานในลักษณะนูนขึ้น และแยกลง	66
4.3.4.2 ผลการทดสอบความบิดเบี้ยวของชิ้นงานในลักษณะตั้งข้อก และเรือเข้า	74
4.4 ผลการทดสอบสมบัติทางกลของชิ้นงานหลังเผา	79
4.5 ผลการทดสอบสมบัติทางความร้อน	84
4.6 ผลการวิเคราะห์องค์ประกอบทางเคมีของเนื้อดินกระเบื้องสูตรต่างๆ	95
4.7 ผลการวิเคราะห์องค์ประกอบทางแร่ของชิ้นงานกระเบื้องหลังเผาสูตรต่างๆ .	97
 5. สรุปผลการศึกษาวิจัยและข้อเสนอแนะ	 103
5.1 สรุปผลการศึกษาวิจัย	103
5.2 ข้อเสนอแนะสำหรับงานวิจัยในอนาคต	106
 รายการอ้างอิง.....	 108
 ประวัติการศึกษา.....	 111

สารบัญตาราง

ตารางที่		หน้า
3.1	สูตรกระเบื้องมาตรฐานที่ใช้อ้างอิง และสูตรกระเบื้องทดลองซึ่งใช้ของเสียประเภทต่างๆ แทนที่แร่โซเดียมเพลอร์สปาร์ในบริมาณ 50 และ 100 % โดยน้ำหนัก.....	27
3.2	สูตรกระเบื้องมาตรฐานที่ใช้อ้างอิง และสูตรกระเบื้องทดลองซึ่งใช้ของเสียประเภทต่างๆ แทนที่แร่โซเดียมเพลอร์สปาร์ในบริมาณ 50, 60, 70 และ 80 % โดยน้ำหนัก	34
4.1	ผลการทดสอบการหลอมตัวของวัสดุดิบประเภทตัวช่วยหลอมในเบื้องต้นที่อุณหภูมิไฟ 1,125°C	47
4.2	ผลการวิเคราะห์องค์ประกอบทางเคมีของวัสดุดิบประเภทตัวช่วยหลอมต่างๆ ด้วยเทคนิคเอกซ์เรย์ฟลูออเรสเซนส์(XRF)	49
4.3	ผลการทดสอบการหลอมตัวเชิงเส้นของชิ้นงานหลังเผาที่อุณหภูมิต่างๆ ในการทดลองครั้งที่ 1	53
4.4	ผลการทดสอบการหลอมตัวเชิงเส้นของชิ้นงานหลังเผาที่อุณหภูมิต่างๆ ในการทดลองครั้งที่ 2	54
4.5	ผลการทดสอบความหนาแน่นของชิ้นงานหลังเผาที่อุณหภูมิต่างๆ ในการทดลองครั้งที่ 1	57
4.6	ผลการทดสอบความหนาแน่นของชิ้นงานหลังเผาที่อุณหภูมิต่างๆ ในการทดลองครั้งที่ 2	58
4.7	ผลการทดสอบการดูดซึมน้ำของชิ้นงานหลังเผาที่อุณหภูมิต่างๆ ในการทดลองครั้งที่ 1	62
4.8	ผลการทดสอบการดูดซึมน้ำของชิ้นงานหลังเผาที่อุณหภูมิต่างๆ ในการทดลองครั้งที่ 2	63
4.9	ผลการทดสอบความบิดเบี้ยวในลักษณะนูนขึ้นและแคร่งลงตามแนวขอบของชิ้นงานหลังเผาที่อุณหภูมิต่างๆ ใน การทดลองครั้งที่ 1	67

สารบัญตาราง (ต่อ)

ตารางที่		หน้า
4.10	ผลการทดสอบความบิดเบี้ยวในลักษณะนี้และอ่อนลงตามแนวขอบของชิ้นงานหลังเผาที่อุณหภูมิต่างๆ ในการทำทดลองครั้งที่ 2	68
4.11	ผลการทดสอบความบิดเบี้ยวในลักษณะนี้และอ่อนลงตามแนวเส้นที่যังมุมของชิ้นงานหลังเผาที่อุณหภูมิต่างๆ ในการทำทดลองครั้งที่ 1	70
4.12	ผลการทดสอบความบิดเบี้ยวในลักษณะนี้และอ่อนลงตามแนวเส้นที่ยังมุมของชิ้นงานหลังเผาที่อุณหภูมิต่างๆ ในการทำทดลองครั้งที่ 2	72
4.13	ผลการทดสอบความบิดเบี้ยวในลักษณะเดิมของการและเร้าเข้าตามแนวขอบของชิ้นงานหลังเผาที่อุณหภูมิต่างๆ ในการทำทดลองครั้งที่ 1	75
4.14	ผลการทดสอบความบิดเบี้ยวในลักษณะเดิมของการและเร้าเข้าตามแนวขอบของชิ้นงานหลังเผาที่อุณหภูมิต่างๆ ในการทำทดลองครั้งที่ 2	76
4.15	ผลการทดสอบความต้านทานแรงดัดของชิ้นงานหลังเผาที่อุณหภูมิต่างๆ ในการทำทดลองครั้งที่ 1	80
4.16	ผลการทดสอบความต้านทานแรงดัดของชิ้นงานหลังเผาที่อุณหภูมิต่างๆ ในการทำทดลองครั้งที่ 2	81
4.17	สรุปผลค่าการทดสอบตัวของชิ้นงานเมื่อถูกสูญเสียแล้ว และอุณหภูมิเริ่มต้นที่ชิ้นงานเกิดการหดตัวจากการทดสอบด้วยเครื่อง Dilatometer ของกระเบื้องทดลองสูตรต่างๆ	92
4.18	ผลการทดสอบค่าสัมประสิทธิ์การขยายตัวทางความร้อนเชิงเส้น (CTE) ระหว่างอุณหภูมิ $30 - 600^{\circ}\text{C}$ ของชิ้นงานทดลองสูตรต่างๆ	93
4.19	ผลการวิเคราะห์องค์ประกอบทางเคมีของเนื้อดินกระเบื้องสูตรต่างๆ ด้วยเทคนิคเอกซ์เรย์ฟลูออเรสเซนซ์ (XRF)	95
4.20	สรุปผลการทดสอบสมบัติต่างๆ ของชิ้นงานหลังเผาที่อุณหภูมิ $1,050^{\circ}\text{C}$ เปรียบเทียบกับเกณฑ์มาตรฐานผลิตภัณฑ์อุตสาหกรรม มอก. 613-2529 และ มอก. 614-2529	101

สารบัญภาพประกอบ

ภาพที่	หน้า
1.1 ภาพแสดงสัดส่วนการส่งออกผลิตภัณฑ์เซรามิกของประเทศไทย ในปี พ.ศ. 2552	2
2.1 แผนภูมิแสดงกระบวนการผลิตกระเบื้องเซรามิกโดยทั่วไป	8
3.1 เศษแก้วชนิดโซดาไลม์ก่อนบดอยู่.....	21
3.2 เศษแก้วชนิดใบโพธิ์ก่อนบดอยู่.....	21
3.3 การตอกgonเคลือบพริต ซึ่งเป็นของเสียจากโรงงานผลิตกระเบื้องเซรามิก ..	22
3.4 เครื่องบดอยู่ชนิด Edge runner mill.....	24
3.5 เศษแก้วที่ถูกบดละเอียดและคัดแยกขนาดพร้อมนำไปใช้งาน.....	24
3.6 เครื่องมือวิเคราะห์องค์ประกอบทางเคมีด้วยเทคนิค X-ray fluorescence.	25
3.7 แมพิมฟ์โลหะรูปโคนที่ใช้ในการเตรียมตัวอย่าง.....	26
3.8 ตัวอย่างชิ้นงานหลังขัดก่อนนำไปเผา.....	26
3.9 หม้อบด Ball mill ที่ใช้ในการทดลอง.....	29
3.10 เครื่องพ่นฝอยและอบแห้ง (Spray dryer) เพื่อผลิตเม็ดผงดินที่ใช้ในการทดลอง.....	30
3.11 เม็ดผงดินที่ได้จากเครื่อง Spray dryer พร้อมนำไปอัดขึ้นรูป.....	30
3.12 เครื่องอัดไฮดรอลิกสำหรับใช้ในการขึ้นรูปแผ่นกระเบื้อง	31
3.13 เตาอบไฟฟ้าที่ใช้ในการทดลอง.....	32
3.14 เตาเผาไฟฟ้าที่ใช้ในการทดลอง	32
3.15 การวัดความบิดเบี้ยวในลักษณะนูนขึ้นและแฉะลง	37
3.16 ภาพจำลองกระเบื้องในลักษณะนูนขึ้นตามแนวขอบและแนวเส้นทแยงมุม	38
3.17 ภาพจำลองกระเบื้องในลักษณะแฉะลงตามแนวขอบและแนวเส้นทแยงมุม	38
3.18 การวัดความบิดเบี้ยวในลักษณะโค้งออกและเร็วเข้า	39
3.19 ภาพจำลองกระเบื้องในลักษณะโค้งออกและเร็วเข้าตามแนวขอบ	39
3.20 เครื่องวัดความบิดเบี้ยวของกระเบื้องที่ใช้ในการทดสอบ.....	40
3.21 การทดสอบความต้านทานแรงดัดแบบ Three-point bending strength...	41
3.22 เครื่องวัดความต้านทานแรงดัดที่ใช้ในการทดสอบ	42

สารบัญภาพประกอบ (ต่อ)

ภาพที่		หน้า
3.23	เครื่องวัดค่าการขยายตัวและ硬度ตัวทางความร้อน (Dilatometer)	44
3.24	เครื่องวิเคราะห์องค์ประกอบทางเคมี X-ray fluorescence spectrometer (XRF).....	45
3.25	เครื่องวิเคราะห์องค์ประกอบทางแร่ X-ray diffraction (XRD)	46
4.1	กราฟแสดงความสัมพันธ์ระหว่างค่าการ硬度ตัวเจิงเส้น และอุณหภูมิในการเผาชิ้นงาน ในการทดลองครั้งที่ 1	53
4.2	กราฟแสดงความสัมพันธ์ระหว่างค่าการ硬度ตัวเจิงเส้น และอุณหภูมิในการเผาชิ้นงาน ในการทดลองครั้งที่ 2	55
4.3	กราฟแสดงความสัมพันธ์ระหว่างค่าความหนาแน่น และอุณหภูมิในการเผาชิ้นงาน ในการทดลองครั้งที่ 1	57
4.4	กราฟแสดงความสัมพันธ์ระหว่างค่าความหนาแน่น และอุณหภูมิในการเผาชิ้นงาน ในการทดลองครั้งที่ 2	59
4.5	กราฟแสดงความสัมพันธ์ระหว่างค่าการดูดซึมน้ำ และอุณหภูมิในการเผาชิ้นงาน ในการทดลองครั้งที่ 1	62
4.6	กราฟแสดงความสัมพันธ์ระหว่างค่าการดูดซึมน้ำ และอุณหภูมิในการเผาชิ้นงาน ในการทดลองครั้งที่ 2	64
4.7	กราฟแสดงความสัมพันธ์ระหว่างค่าความบิดเบี้ยวนูนชิ้น – แอลลงตามแนวข้อบ และอุณหภูมิในการเผาชิ้นงาน ในการทดลองครั้งที่ 1	67
4.8	กราฟแสดงความสัมพันธ์ระหว่างค่าความบิดเบี้ยวนูนชิ้น – แอลลงตามแนวข้อบ และอุณหภูมิในการเผาชิ้นงาน ในการทดลองครั้งที่ 2	69
4.9	กราฟแสดงความสัมพันธ์ระหว่างค่าความบิดเบี้ยวนูนชิ้น – แอลลงตามแนวเส้นทแยงมุม และอุณหภูมิในการเผาชิ้นงาน ในการทดลองครั้งที่ 1	71
4.10	กราฟแสดงความสัมพันธ์ระหว่างค่าความบิดเบี้ยวนูนชิ้น – แอลลงตามแนวเส้นทแยงมุม และอุณหภูมิในการเผาชิ้นงาน ในการทดลองครั้งที่ 2....	73

สารบัญภาพประกอบ (ต่อ)

ภาพที่		หน้า
4.11	กราฟแสดงความสัมพันธ์ระหว่างค่าความบิดเบี้ยงโคงออก – เว้าเข้าตามแนวขอกน และอุณหภูมิในการเผาชิ้นงาน ในการทดลองครั้งที่ 1	75
4.12	กราฟแสดงความสัมพันธ์ระหว่างค่าความบิดเบี้ยงโคงออก – เว้าเข้าตามแนวขอกน และอุณหภูมิในการเผาชิ้นงาน ในการทดลองครั้งที่ 2	77
4.13	ชิ้นงานกระเบื้องที่ใช้สัดเหลืออิฐทั้ง 3 ประภากทดสอบและใช้เดี่ยมเพล็ท สปาร์โนบิริมาณ 100% และชิ้นงานสูตรมาตรฐานอ้างอิง เพื่อเปรียบเทียบ ความบิดเบี้ยงของชิ้นงานหลังผ่านการเผาที่อุณหภูมิ 1,125°C	78
4.14	กราฟแสดงความสัมพันธ์ระหว่างค่าความต้านทานแรงดด แดะอุณหภูมิ ใน การเผาชิ้นงาน ในการทดลองครั้งที่ 1	80
4.15	กราฟแสดงความสัมพันธ์ระหว่างค่าความต้านทานแรงดด แดะอุณหภูมิ ใน การเผาชิ้นงาน ในการทดลองครั้งที่ 2	82
4.16	กราฟแสดงความสัมพันธ์ระหว่างค่าการขยายตัวและทดสอบตัวของชิ้นงาน ระหว่างทำการเผาที่ อุณหภูมิ 25 - 1,100°C ของสูตรเนื้อดินกระเบื้อง มาตรฐาน (100F)	85
4.17	กราฟแสดงความสัมพันธ์ระหว่างค่าการขยายตัวและทดสอบตัวของชิ้นงาน ระหว่างทำการเผาที่ อุณหภูมิ 25 - 1,100°C ของเนื้อดินกระเบื้องสูตร 50F 50SLG.....	86
4.18	กราฟแสดงความสัมพันธ์ระหว่างค่าการขยายตัวและทดสอบตัวของชิ้นงาน ระหว่างทำการเผาที่ อุณหภูมิ 25 - 1,100°C ของเนื้อดินกระเบื้องสูตร 20F 80SLG.....	87
4.19	กราฟแสดงความสัมพันธ์ระหว่างค่าการขยายตัวและทดสอบตัวของชิ้นงาน ระหว่างทำการเผาที่ อุณหภูมิ 25 - 1,100°C ของเนื้อดินกระเบื้องสูตร 50F 50BSG	88
4.20	กราฟแสดงความสัมพันธ์ระหว่างค่าการขยายตัวและทดสอบตัวของชิ้นงาน ระหว่างทำการเผาที่ อุณหภูมิ 25 - 1,100°C ของเนื้อดินกระเบื้องสูตร 20F 80BSG	89

สารบัญภาพประกอบ (ต่อ)

ภาพที่	หน้า
4.21 ภาพแสดงความสัมพันธ์ระหว่างค่าการขยายตัวและหดตัวของชิ้นงาน ระหว่างทำการเผาที่อุณหภูมิ 25 - 1,100°C ของเนื้อดินกระเบื้องสูตร 50F 50FGS.....	90
4.22 ภาพแสดงความสัมพันธ์ระหว่างค่าการขยายตัวและหดตัวของชิ้นงาน ระหว่างทำการเผาที่อุณหภูมิ 25 - 1,100°C ของเนื้อดินกระเบื้องสูตร 20F 80FGS.....	91
4.23 ผลการวิเคราะห์องค์ประกอบทางแร่ของชิ้นงานกระเบื้องทดลองสูตรต่างๆ เผาที่อุณหภูมิ 1,050°C เทียบกับชิ้นงานกระเบื้องสูตรมาตรฐานอ้างอิง ซึ่งเผาที่อุณหภูมิ 1,125°C	98

บทที่ 1

บทนำ

1.1 หลักการและเหตุผล

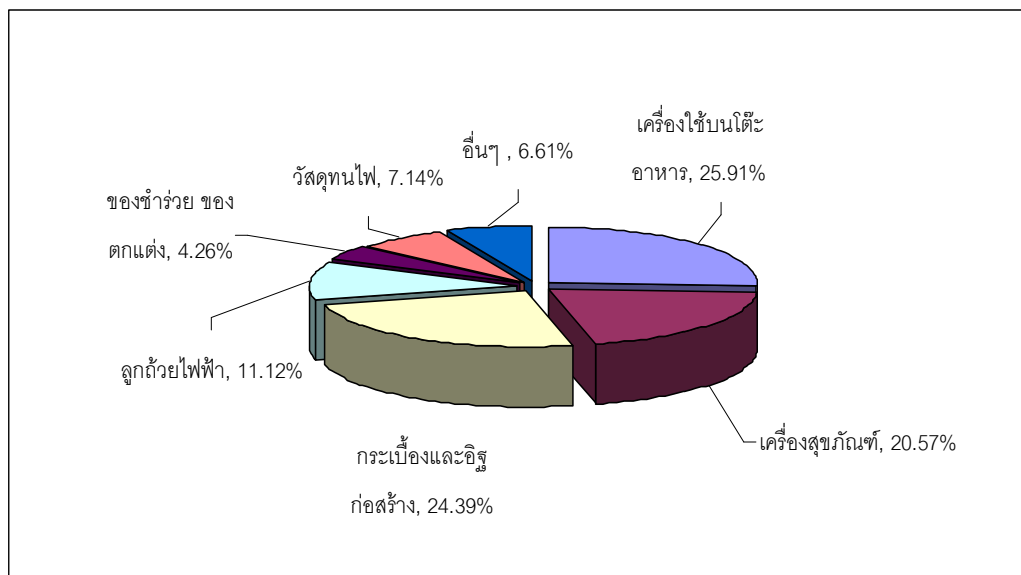
ปัจจุบันทั่วโลกรวมถึงประเทศไทยได้ให้ความใส่ใจในการอนุรักษ์พลังงานและสิ่งแวดล้อมมากยิ่งขึ้น จึงทำให้การลดการใช้พลังงานและการนำของเสียกลับมาใช้ให้เกิดประโยชน์เป็นประเดิมที่มีความสำคัญและมีผู้ให้ความสนใจเป็นจำนวนมาก อุตสาหกรรมการผลิตเซรามิกเป็นอีกหนึ่งอุตสาหกรรมที่มีการใช้พลังงานค่อนข้างสูง เนื่องจากกระบวนการเผาผลิตภัณฑ์เป็นกระบวนการที่ต้องใช้กุญแจภูมิสูง เพื่อให้เนื้อผลิตภัณฑ์หลังเผามีความแข็งแกร่งตามประเภทของผลิตภัณฑ์ที่ต้องการ สำหรับอุตสาหกรรมการผลิตกระเบื้องเซรามิกนั้น ในปัจจุบันมักเผาที่กุญแจภูมิสูงไม่เกิน 1,200 องศาเซลเซียส โดยส่วนใหญ่จะเบื้องปฏิบัติจะเผาให้เนื้อผลิตภัณฑ์แก่ร่องถึงจุดสูตรที่กุญแจภูมิประมาณ 1,150 – 1,180 องศาเซลเซียส ส่วนกระเบื้องบุพนังจะนิยมเผาที่กุญแจภูมิต่ำลงมาประมาณ 1,100 องศาเซลเซียส (ไพริโอ อิงศิริวัฒน์, 2541) นอกจากต้นทุนทางด้านพลังงานแล้ว กระบวนการผลิตเซรามิกยังมีต้นทุนทางด้านวัสดุที่สูงมากอีกด้วย เมื่อพิจารณาถึงต้นทุนในการผลิตโดยรวมแล้ว พบร่ว่า อุตสาหกรรมเซรามิกมีต้นทุนค่าวัสดุสูงเป็นอันดับที่หนึ่ง รองลงมาได้แก่ ต้นทุนทางด้านพลังงาน ต้นทุนค่าแรงงาน และต้นทุนค่าเสื่อมราคา ตามลำดับ (เพ็ชรพร เชาวกิจเจริญ และคณะ, 2549)

อุตสาหกรรมการผลิตเซรามิก นับเป็นอีกหนึ่งอุตสาหกรรมที่นำรายได้เข้าสู่ประเทศไทยเป็นจำนวนมาก จากข้อมูลของกรมศุลกากร กระทรวงการคลัง พบร่ว่า ในปี พ.ศ. 2551 มูลค่าการส่งออกผลิตภัณฑ์เซรามิกของประเทศไทยมีมูลค่าถึง 32,917 ล้านบาท (ประมาณ 900 ล้านเหรียญสหราชอาณาจักร) และในปี พ.ศ. 2552 การส่งออกมีมูลค่าลดลงเป็น 18,484 ล้านบาท ตามสภาพการตลาดต่างของเศรษฐกิจโลกในปีที่ผ่านมา โดยจากข้อมูลสถิติการนำเข้า-ส่งออก ตั้งแต่เดือนมกราคมถึงเดือนธันวาคม 2552 พบร่ว่า ผลิตภัณฑ์เซรามิกในกลุ่มกระเบื้อง ทั้งประเภทปูพื้น บุพนัง มุงหลังคา รวมถึงอิฐก่อสร้าง มีสัดส่วนการเป็นสินค้าส่งออกมากเป็นอันดับที่สอง รองจากผลิตภัณฑ์ในกลุ่มเครื่องใช้บนโต๊ะอาหาร โดยคิดเป็นมูลค่า 4,509 ล้านบาท หรือคิดเป็นสัดส่วน 24.39% ของผลิตภัณฑ์เซรามิกทุกประเภทที่ส่งออก ข้อมูลแสดงดังกราฟในภาพที่ 1.1 (กรมศุลกากร, 2553) ดังนั้น อุตสาหกรรมการผลิตกระเบื้องเซรามิก จึงเป็นอีกหนึ่งอุตสาหกรรมที่ส่งผลกระทบต่อเศรษฐกิจของประเทศไทย ซึ่งควรได้รับการวิจัยและพัฒนาเพื่อปรับปรุงคุณภาพของ

ผลิตภัณฑ์ และลดต้นทุนในการผลิต โดยเฉพาะต้นทุนทางด้านวัตถุอิบและการใช้พลังงาน เพื่อให้ อุตสาหกรรมการผลิตกระเบื้องเซรามิกของไทยมีศักยภาพที่สูงขึ้น สามารถแข่งขันได้ในตลาดโลก ตามสภาวะการแข่งขันทางเศรษฐกิจในปัจจุบัน

ภาพที่ 1.1

กราฟแสดงสัดส่วนการส่งออกผลิตภัณฑ์เซรามิกของประเทศไทย ในปี พ.ศ. 2552



ที่มา: กรมศุลกากร กระทรวงการคลัง (<http://www.customs.go.th/Statistic/Index.jsp>)

งานวิจัยนี้ จึงได้ทำการศึกษาเพื่อหาแนวทางในการลดต้นทุนการผลิตให้แก่ อุตสาหกรรมกระเบื้องเซรามิก ทั้งในด้านลดการใช้พลังงาน และลดต้นทุนค่าวัตถุอิบ โดยนำข้อมูลที่มีอยู่ภายในโรงงานผลิตกระเบื้องเซรามิกเอง ได้แก่ ภาคตะกอนเคลือบพร้อม และของเสียจาก อุตสาหกรรมการผลิตแก้วและกระดาษ ได้แก่ เศษแก้วชนิดโซดาไลม์ และเศษแก้วชนิดโบโรซิลิเกต มาศึกษาการนำมาใช้ประโยชน์เป็นตัวช่วยหลอมทดแทนแร่เฟลเดอร์สปาร์ ซึ่งเป็นแร่ธรรมชาติที่นิยม ใช้เป็นตัวช่วยหลอมในการผลิตกระเบื้องเซรามิกในปัจจุบัน เนื่องจากของเสียเหล่านี้มีสารประกอบ ออกไซด์ของธาตุหมู่ 1 และ 2 (อัลคาไลด์และอัลคาไลโนเอิร์ท) เป็นองค์ประกอบหลักอยู่หลายชนิด คล้ายกับแร่เฟลเดอร์สปาร์ ได้แก่ K_2O , Na_2O , CaO และ MgO ซึ่งทำหน้าที่เป็นตัวช่วยหลอมใน กระบวนการเผาผลิตภัณฑ์เซรามิก

1.2 วัตถุประสงค์ของการวิจัย

1. เพื่อศึกษาการนำวัสดุเหลือทิ้งประเภทเศษแก้วโซดาไอล์ฟ เศษแก้วใบโพธิ์และภาคตะกอนเคลือบพริต กลับมาใช้ให้เกิดประโยชน์ในการเป็นตัวช่วยหลอมหดแทนแร่โซเดียมเฟล์สปาร์ในสูตรเนื้อดินกระเบื้องเซรามิก
2. เพื่อเปรียบเทียบประสิทธิภาพในการเป็นตัวช่วยหลอมของวัสดุเหลือทิ้งประเภทต่างๆ ได้แก่ เศษแก้วโซดาไอล์ฟ เศษแก้วใบโพธิ์และภาคตะกอนเคลือบพริต
3. เพื่อศึกษาการลดอุณหภูมิเผาของเนื้อดินกระเบื้องเซรามิก โดยใช้วัสดุเหลือทิ้งประเภทเศษแก้วโซดาไอล์ฟ เศษแก้วใบโพธิ์และภาคตะกอนเคลือบพริต
4. เพื่อศึกษาสมบัติทางกายภาพ สมบัติทางกล สมบัติทางความร้อน องค์ประกอบทางเคมีและร่วมถึงคุณภาพของกระเบื้องหลังเพาที่ได้จากการหดแทนแร่โซเดียมเฟล์สปาร์ ทั้งวัสดุเหลือทิ้งประเภทเศษแก้วโซดาไอล์ฟ เศษแก้วใบโพธิ์และภาคตะกอนเคลือบพริต

1.3 ขอบเขตของการวิจัย

1. วัสดุเหลือทิ้งที่นำมาทดลองใช้เป็นตัวช่วยหลอมหดแทนแร่โซเดียมเฟล์สปาร์ในงานวิจัยนี้ ได้แก่ เศษแก้วชนิดโซดาไอล์ฟ (จากโรงงานผลิตกระจกใส) เศษแก้วชนิดใบโพธิ์และ (จากโรงงานผลิตเครื่องแก้วชนิดใบโพธิ์และ) และภาคตะกอนเคลือบพริต (จากโรงงานผลิตกระเบื้องเซรามิก)
2. ทำการทดลองโดยแทนที่แร่โซเดียมเฟล์สปาร์ในสูตรกระเบื้องมาตรฐานที่ใช้อ้างอิงด้วยวัสดุเหลือทิ้งแต่ละประเภทในปริมาณ 50 และ 100 % โดยน้ำหนัก ซึ่งสูตรกระเบื้องมาตรฐานค้างอิงที่ใช้ในงานวิจัยนี้ เป็นสูตรกระเบื้องเซรามิกประเภทบุผังทั้งภายในและภายนอก
3. ทำการเผาชิ้นงานทดสอบ ทั้งชิ้นงานสูตรมาตรฐาน และสูตรที่ใช้วัสดุเหลือทิ้งแต่ละประเภทแทนที่แร่โซเดียมเฟล์สปาร์ ที่อุณหภูมิ 1000, 1050, 1100 และ 1125 องศาเซลเซียส
4. วิเคราะห์ทดสอบสมบัติทางกายภาพ ได้แก่ ค่าการหดตัวเชิงเส้น (Linear firing shrinkage) ค่าความหนาแน่นหักก้อน (Bulk density) ค่าการดูดซึมน้ำ (Water absorption) และค่าความบิดเบี้ยว (Warpage) ของชิ้นงานหลังเผาเปรียบเทียบกันระหว่างสูตรทดลองที่ใช้วัสดุเหลือทิ้งประเภทต่างๆ เป็นตัวช่วยหลอมหดแทนการใช้แร่โซเดียมเฟล์สปาร์ และสูตรมาตรฐานอ้างอิงที่ใช้แร่โซเดียมเฟล์สปาร์ เป็นตัวช่วยหลอมแต่เพียงอย่างเดียว โดยการทดสอบข้างอิงตามมาตรฐาน ASTM C 326-03, ASTM C 373-88 (ASTM Standards, 2005) และมาตรฐาน

ผลิตภัณฑ์อุตสาหกรรมกระเบื้องเซรามิก มอก. 613-2529 (สำนักงานมาตรฐานผลิตภัณฑ์อุตสาหกรรม, 2543) และ มอก. 614-2529 (สำนักงานมาตรฐานผลิตภัณฑ์อุตสาหกรรม, 2529)

5. วิเคราะห์ทดสอบสมบัติทางกล ได้แก่ ค่าความต้านทานแรงดึง (Three-point Bending Strength) เพื่อบ่งบอกความแข็งแรงของชิ้นงานหลังเผาเบรียบเทียบกันระหว่างสูตรทดลองที่ใช้วัสดุเหลือทิ้งประเภทต่างๆ เป็นตัวช่วยทดสอบการใช้เรซิเดียมเฟล์ดสปาร์ และ สูตรมาตรฐานอ้างอิงที่ใช้เรซิเดียมเฟล์ดสปาร์เป็นตัวช่วยทดสอบเพียงอย่างเดียว โดยพิจารณาตามเกณฑ์มาตรฐานผลิตภัณฑ์อุตสาหกรรมกระเบื้องเซรามิก มอก. 614-2529 (สำนักงานมาตรฐานผลิตภัณฑ์อุตสาหกรรม, 2529)

6. วิเคราะห์ทดสอบสมบัติทางความร้อน ได้แก่ ค่าการขยายตัวและหดตัวระหว่างการเผาชิ้นงาน รวมถึงค่าสัมประสิทธิ์การขยายตัวทางความร้อนเชิงเส้น (Coefficient of linear thermal expansion, CTE) ของชิ้นงานในขณะถูกให้ความร้อนที่อุณหภูมิต่างๆ เบรียบเทียบกันระหว่างสูตรมาตรฐาน และสูตรที่ใช้วัสดุเหลือทิ้งแต่ละประเภทเป็นตัวช่วยทดสอบการใช้เรซิเดียมเฟล์ดสปาร์ โดยใช้เครื่องมือ Dilatometer และทำการทดสอบตามมาตรฐาน ASTM C 372 – 94 (ASTM Standards, 2005)

7. วิเคราะห์องค์ประกอบทางเคมี (Chemical Composition Analysis) ของเนื้อดินกระเบื้องที่เตรียมจากการทดสอบและเรซิเดียมเฟล์ดสปาร์ด้วยวัสดุเหลือทิ้งประเภทต่างๆ และเนื้อดินกระเบื้องสูตรมาตรฐาน โดยใช้เทคนิค X-ray fluorescence (XRF) เพื่อศึกษาองค์ประกอบของโซเดียมโซเดียม ที่มีอยู่ในสูตรเนื้อดินเหล่านั้น เบรียบเทียบกันระหว่างสูตรทดลอง และสูตรมาตรฐานที่ใช้อ้างอิง

8. วิเคราะห์องค์ประกอบทางแร่ (Mineralogical Composition Analysis) ของชิ้นงานกระเบื้องหลังเผาแต่ละสูตร เบรียบเทียบกันระหว่างสูตรที่ใช้วัสดุเหลือทิ้งประเภทต่างๆ ทดสอบและเรซิเดียมเฟล์ดสปาร์ และสูตรมาตรฐานที่ใช้อ้างอิง เพื่อศึกษาเพสที่เกิดขึ้นหลังเผาของชิ้นงานกระเบื้องแต่ละสูตร โดยใช้เทคนิค X-ray diffraction (XRD)

9. เมื่อได้ผลจากการวิจัยโดยการแทนที่เรซิเดียมเฟล์ดสปาร์ด้วยวัสดุเหลือทิ้งทั้ง 3 ประเภทในปริมาณ 50 และ 100 % โดยนำหนักแล้ว ทำการศึกษาเพิ่มเติม โดยปรับปริมาณการแทนที่เรซิเดียมเฟล์ดสปาร์ด้วยวัสดุเหลือทิ้งประเภทต่างๆ ในปริมาณที่จะเอายากขึ้น เพื่อศึกษาหาสมบัติของชิ้นงานหลังเผาที่ดีที่สุด และผ่านตามเกณฑ์มาตรฐานผลิตภัณฑ์อุตสาหกรรมกระเบื้องเซรามิก ให้สามารถนำไปใช้งานได้จริงในภาคอุตสาหกรรมต่อไป

1.4 ประโยชน์ที่คาดว่าจะได้รับ

1. สามารถช่วยลดต้นทุนในการผลิตให้แก่อุตสาหกรรมกระเบื้องเซรามิกได้จากการลดคุณภาพในการเผาผลิตภัณฑ์ให้มีคุณภาพที่ดุดันตัวตั้ง ซึ่งเป็นการลดการใช้พลังงานเชื้อเพลิงในเตาเผาผลิตภัณฑ์
2. สร้างเสริมการนำวัสดุเหลือทิ้ง และของเสียที่มีอยู่ภายในโรงงานเซรามิกกลับมาใช้ให้เกิดประโยชน์สูงสุด ซึ่งนอกจากจะช่วยลดต้นทุนค่าวัสดุดิบที่ใช้ในการผลิตกระเบื้องเซรามิกแล้ว ยังสามารถลดค่าใช้จ่ายที่เกิดจากการต้องกำจัดของเสียเหล่านั้นด้วย

บทที่ 2

วารสารปริทัศน์

2.1 กระเบื้องเซรามิก

คำว่า “เซรามิก” มีศัพท์เดิมมาจากภาษากรีกว่า “เครามอส” (Keramos) ซึ่งมีความหมายว่า “เผา” ในปัจจุบัน “เซรามิก” หมายถึง ผลิตภัณฑ์ที่มีส่วนประกอบมาจากวัตถุดินที่มีอยู่ตามธรรมชาติดินเปลือกโลก เป็นวัสดุประเภทอนินทรีย์ และเป็นอโลหะ โดยรวมวิธีการผลิตต้องผ่านการเผาที่อุณหภูมิสูง (บรีดา พิมพ์ขาวข้า, 2539)

ผลิตภัณฑ์เซรามิกที่ใช้กันอยู่ในชีวิตประจำวันมีมากหลายรายประเกท ได้แก่ เครื่องใช้บันตี้อาหาร เครื่องสุขภัณฑ์ กระเบื้องปูพื้น-บุผนัง ของตกแต่งบ้านและสวน ของขวัญ ของชำร่วย รวมถึงลูกถ้วยไฟฟ้า นอกจากนี้ ยังมีเซรามิกที่ใช้เป็นส่วนประกอบในเครื่องมือคุปกรณ์ ต่างๆ เช่น ชิ้นส่วนสำหรับแหนงวงจร คุปกรณ์อิเล็กทรอนิกส์ เครื่องใช้ไฟฟ้า คอมพิวเตอร์ หรือใช้เป็นส่วนประกอบในเครื่องยนต์ เครื่องบิน หัวเทียน เป็นต้น ชิ้นส่วนจำพวกนี้ จะเป็นต้องใช้วัสดุ ประเกทเซรามิก เนื่องจากในสภาวะการใช้งานจะต้องทนต่อความร้อนและการขัดสีได้เป็นอย่างดี โดยวัสดุประเกทโลหะ หรือพลาสติกไม่สามารถมีคุณสมบัติดังกล่าวได้ดีเทียบเท่ากับวัสดุประเกทเซรามิก (Kingery Bowen and Uhlmann, 1976)

สำหรับผลิตภัณฑ์ประเกทกระเบื้องเซรามิกนั้น มีการผลิตกันมาเป็นระยะเวลานาน ทั้งในต่างประเทศ และประเทศไทย โดยทั่วไปสามารถแบ่งประเกทของผลิตภัณฑ์กระเบื้องเซรามิก ตามค่าการดูดซึมน้ำได้เป็น 3 ประเกทหลัก ได้แก่ กระเบื้องปูพื้น กระเบื้องบุผนังภายใต้การ และกระเบื้องบุผนังภายใต้การ ตามข้อกำหนดของมาตรฐานผลิตภัณฑ์อุตสาหกรรมไทย (มอก.) ดังต่อไปนี้

1. กระเบื้องปูพื้น อ้างอิงตามมาตรฐานผลิตภัณฑ์อุตสาหกรรม มอก. 37-2529 (สำนักงานมาตรฐานผลิตภัณฑ์อุตสาหกรรม, 2542) ได้จัดแบ่งประเกท กระเบื้องปูพื้นออกเป็นประเกทย่อยต่างๆ ได้แก่
 - กระเบื้องประเกทดูดซึมน้ำต่ำ (ทั้งชนิดเคลือบและไม่เคลือบ) การดูดซึมน้ำต้องไม่เกินร้อยละ 3 และต้องมีค่าความต้านทานแรงดันไม่น้อยกว่า 25 เมกะปascal

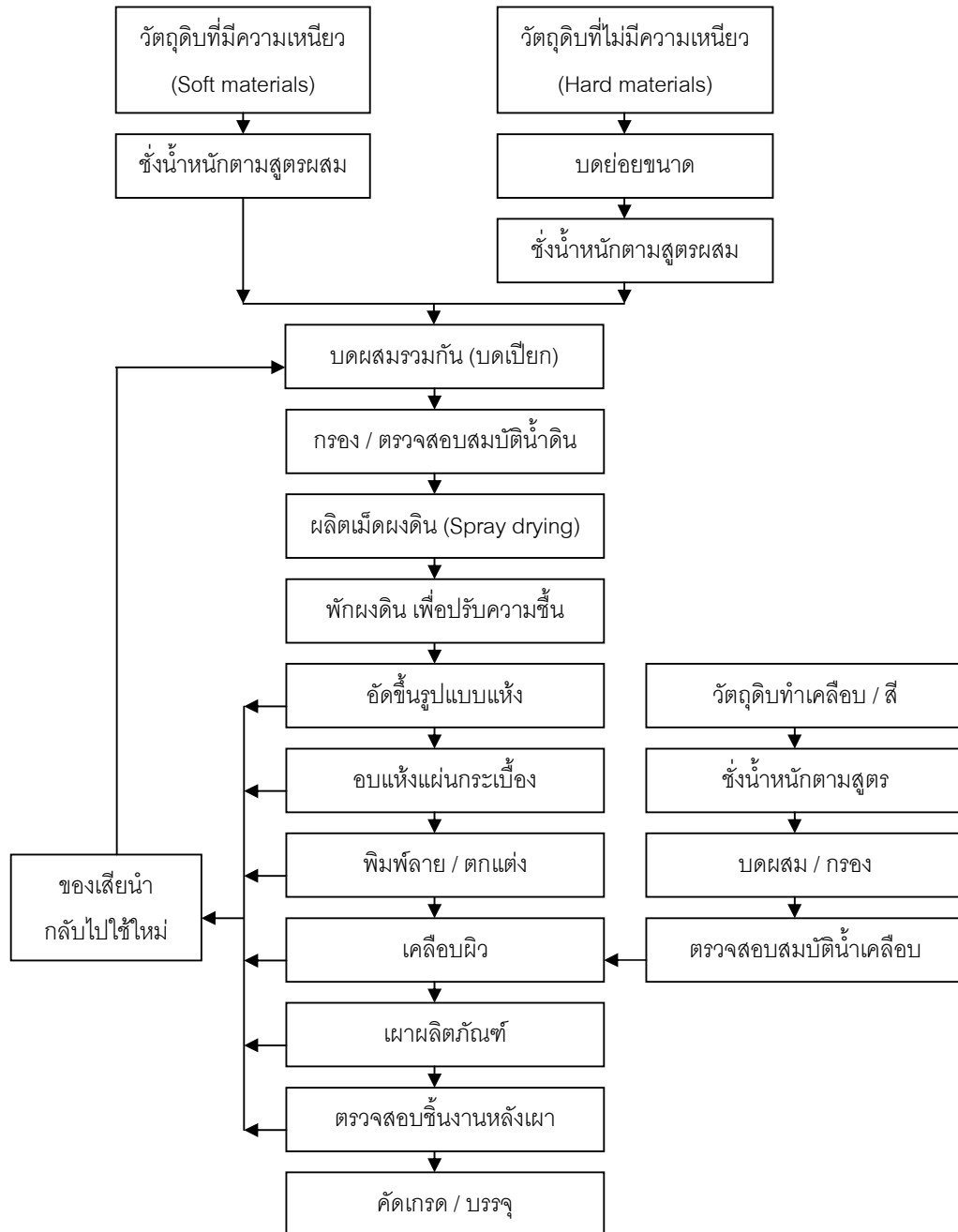
- กระเบื้องประเกทดูดซึมน้ำปานกลางค่อนข้างต่ำ (ทั้งชนิดเคลือบและไม่เคลือบ) การดูดซึมน้ำต้องไม่เกินร้อยละ 6 และต้องมีค่าความต้านทานแรงตัดไม่น้อยกว่า 25 เมกะปาสคอล
 - กระเบื้องประเกทดูดซึมน้ำปานกลาง (ต้องเป็นชนิดเคลือบอย่างเดียว) การดูดซึมน้ำต้องไม่เกินร้อยละ 10 และต้องมีค่าความต้านทานแรงตัดไม่น้อยกว่า 17.5 เมกะปาสคอล
 - กระเบื้องประเกทดูดซึมน้ำสูง (ต้องเป็นชนิดเคลือบอย่างเดียว) การดูดซึมน้ำต้องไม่เกินร้อยละ 16 และต้องมีค่าความต้านทานแรงตัดไม่น้อยกว่า 17.5 เมกะปาสคอล
2. กระเบื้องบุผนังภายในอาคาร ข้างอิงตามมาตรฐานผลิตภัณฑ์อุตสาหกรรม มอก. 613-2529 (สำนักงานมาตรฐานผลิตภัณฑ์อุตสาหกรรม, 2543) ค่าการดูดซึมน้ำต้องไม่เกินร้อยละ 18 (ไม่ต้องทดสอบค่าความต้านทานแรงตัด)
3. กระเบื้องบุผนังภายนอกอาคาร ข้างอิงตามมาตรฐานผลิตภัณฑ์อุตสาหกรรม มอก. 614-2529 (สำนักงานมาตรฐานผลิตภัณฑ์อุตสาหกรรม, 2529) ค่าการดูดซึมน้ำต้องไม่เกินร้อยละ 6 และต้องมีค่าความต้านทานแรงตัดไม่น้อยกว่า 20 เมกะปาสคอล

การแบ่งประเภทของเนื้อดินกระเบื้องเซรามิก จัดแบ่งได้ดังนี้

- กระเบื้องบุผนังภายในอาคาร จัดเป็นเนื้อดินประเกทเอิร์ธเชิร์นแวร์ (Earthenware) อุณหภูมิในการเผา 800 - 1,150°C
- กระเบื้องบุผนังภายนอกอาคาร และกระเบื้องปูพื้น แบ่งเป็น 3 ประเภท ได้แก่ เนื้อดินประเกทสโตนแวร์ (Stoneware) อุณหภูมิในการเผา 1,150 – 1,250°C เนื้อดินประเกทพอร์ซเลน-สโตนแวร์ (Porcelain-stoneware) อุณหภูมิในการเผา 1,200 – 1,250°C และเนื้อดินประเกทพอร์ซเลน (Porcelain) อุณหภูมิในการเผา 1,250 – 1,300°C

ขั้นตอนในการผลิตกระเบื้องเซรามิกโดยทั่วไป แสดงดังภาพที่ 2.1

ภาพที่ 2.1
แผนภูมิแสดงกระบวนการผลิตกระเบื้องเซรามิกโดยทั่วไป



2.2 วัตถุดิบเซรามิก และวัตถุดิบประเภทตัวช่วยหลอม

วัตถุดิบที่ใช้ในอุตสาหกรรมเซรามิก สามารถแบ่งกลุ่มอย่างกว้างๆ ออกได้เป็น วัตถุดิบประเภทที่มีความเหนียว หรือวัตถุดิบประเภทดิน (Plastic materials) และวัตถุดิบประเภทที่ไม่มีความเหนียว (Non-plastic materials) โดยวัตถุดิบทั้งสองกลุ่มดังกล่าวอาจจะจำแนก ออกเป็นกลุ่มย่อยได้อีก ซึ่งโดยทั่วไปสามารถแบ่งกลุ่มของวัตถุดิบที่ใช้ในการผลิตผลิตภัณฑ์เซรามิกได้เป็น 3 กลุ่มหลักๆ ได้แก่

วัตถุดิบประเภทดิน (Clays) ทำหน้าที่ให้ความเหนียว และช่วยให้สามารถขึ้นรูป ชิ้นงานได้ง่าย รวมถึงทำให้เนื้อดินมีความแข็งแรงเพียงพอหลังการเผา ซึ่งทำให้สามารถนำไปจับ ชิ้นงานในกระบวนการการทำงานในขั้นตอนต่อไปได้ง่าย

วัตถุดิบประเภทตัวช่วยหลอม หรือวัตถุดิบประเภทฟลักซ์ (Fluxes) ส่วนใหญ่เป็นแร่ที่ ประกอบด้วยอัลคาไลหรืออัลคาไลน์เอิร์ท ซึ่งจะหลอมตัวในระหว่างการเผา และทำปฏิกิริยา กับ สารประกอบตัวอื่นๆ ในเนื้อดิน เพื่อฟอร์มตัวเป็นแก้วซึ่งจะทำหน้าที่ให้ความแข็งแรงกับชิ้นงานหลัง เผา ดังนั้นสารประกอบฟลักซ์จึงเป็นตัวช่วยลดอุณหภูมิที่ใช้ในการเผาชิ้นงานลง

วัตถุดิบประเภทตัวเติม (Fillers) เป็นวัตถุดิบประเภทที่ไม่มีความเหนียวที่ใช้เป็น ส่วนผสมในสูตรเนื้อดินซึ่งไม่ใช่วัตถุดิบในกลุ่มของฟลักซ์ โดยทั่วไปตัวเติมหรือ Fillers สำหรับเนื้อดินในทางเซรามิก มักจะหมายถึงซิลิกา (Silica) เสมอ ไม่ว่าจะอยู่ในรูปของฟลินท์ (Flint) หรือ ทราย (Sand) ก็ตาม วัตถุดิบประเภทนี้จะทำหน้าที่หลักในการควบคุมค่าการขยายตัวทางความร้อนของเนื้อดินที่ผ่านการเผา และช่วยทำให้การแห้งตัวของเนื้อดินทำได้ง่ายขึ้น ทำให้ค่าการหดตัวหลังอบแห้ง (Drying shrinkage) และความเหนียว (Plasticity) ของเนื้อดินลดลงด้วยเช่นกัน นอกจากนี้ ฟลินท์และทรายยังมีส่วนช่วยในเรื่องของความขาวของเนื้อดินหลังเผาได้อีกด้วย (Ryan and Radford, 1997)

วัตถุดิบประเภทตัวช่วยหลอม

วัตถุดิบประเภทตัวช่วยหลอมในเนื้อดินเซรามิก หรือวัตถุดิบประเภทฟลักซ์ (Fluxes) คือวัตถุดิบที่ทำหน้าที่เป็นตัวช่วยหลอมเพื่อลดอุณหภูมิในการเผา ซึ่งทำให้ส่วนผสมที่ถูกเติมลงไป มีจุดหลอมเหลวที่ต่ำลง โดยวัตถุดิบที่มีคุณสมบัติเป็นตัวช่วยหลอมซึ่งถูกบดละเอียดสมอญูใน สูตรเนื้อดินนั้น จะเริ่มเกิดการหลอมตัวก่อน แล้วดึงเอาวัตถุดิบตัวอื่นๆ ที่มีความทนไฟมากกว่าซึ่งอยู่รอบๆ ผลึกมาหลอมเข้าด้วยกัน ทำให้ซ่องว่างที่อยู่ระหว่างผลึกเม็ดดินหายไป และส่วนผสม หรือเนื้อดินนั้นเกิดการหดตัวรวมกันหลอมจนเนื้อแน่นคล้ายแก้วและมีจุดหลอมตัวที่ต่ำลง วัตถุดิบ

ที่โดยทั่วไปถือว่าเป็นตัวช่วยหลอม และนิยมนำมาใช้ในการผลิตผลิตภัณฑ์เซรามิก ได้แก่ วัตถุดิบ ที่เป็นด่าง หรือมีสารประกอบจำพวกอัลคาไลแลและอัลคาไลน์เอิร์ทอยู่ในตัวค่อนข้างสูง เช่น โพแทสเซียม (K) โซเดียม (Na) ลิเทียม (Li) แคลเซียม (Ca) หรือ แมกนีเซียม (Mg) เป็นต้น สารประกอบฟลักซ์ที่มีปริมาณอัลคาไลที่สูงกว่าจะมีประสิทธิภาพในการทำปฏิกิริยาในขณะเผาได้ดีกว่า จึงช่วยลดจุดหลอมตัวของสูตรเนื้อดินได้ดีกว่านั้นเอง สำหรับวัตถุดิบที่มีสารประกอบฟลักซ์ ในปริมาณที่สูง และนิยมนำมาใช้เป็นตัวช่วยหลอมในเนื้อดินเซรามิก ได้แก่ แร่หินพันธ์ (Feldspar) เนฟเฟลีนไซย์ไนท์ (Nepheline Syenite) หินคอร์นิช (Cornish Stone) ทัลค์ (Talc) หินปูน (Limestone) หรือ ไดโลไมเตอร์ (Dolomite) เป็นต้น (เพจิตรา อิงศิริวัฒน์, 2541 และ Ryan and Radford, 1997)

2.3 วัสดุประเภทแก้วโซดาไลม์ และแก้วโบโรซิลิเกต

2.3.1 แก้วชนิดโซดาไลม์

แก้วโซดาไลม์ (Soda-lime-silica glass หรือบางครั้งอาจเรียกง่ายๆ ว่า Soda-lime glass) มีองค์ประกอบเป็น $\text{SiO}_2\text{-CaO-Na}_2\text{O}$ ซึ่งเป็นแก้วชนิดอ่อน (Soft glass) ที่มี Na_2O เป็นองค์ประกอบในปริมาณมากจึงหลอมละลายได้ง่าย แก้วโซดาไลม์เป็นชนิดของแก้วทางการค้าที่เก่าแก่ที่สุด มีการผลิตและพัฒนามาเป็นเวลา_nับพันปีก่อนคริสต์ศา� แก้วโซดาไลม์มีโครงสร้างพื้นฐานคือซิลิกา (SiO_2) โดยมีการเติมโซดาแอซ (Na_2CO_3) และหินปูน (Limestone, CaCO_3) ลงไปในทรายแก้ว (Silica sand, Crystalline quartz) ซึ่งทำหน้าที่เป็นฟลักซ์ช่วยให้หลอมทรายได้ง่ายขึ้นในกระบวนการผลิต แก้วชนิดนี้สามารถผลิตได้ในปริมาณมากๆ และมีราคาถูก ผลิตภัณฑ์ประเภทแก้วโซดาไลม์จะมีอยู่ประมาณ 90% ของผลิตภัณฑ์แก้วทั้งหมดที่พบเห็นกันในชีวิตประจำวัน ได้แก่ แก้วประเภทขวดต่างๆ ทั้งชนิดใสและมีสี แก้วน้ำ ภาชนะแก้วบันโถะอาหาร กระจุกแห่ง หลอดไฟ และอื่นๆ เนื่องจากแก้วประเภทนี้มีการขยายตัวและหดตัวเนื่องจากความร้อนมาก ภาชนะแก้วโซดาไลม์จึงไม่สามารถใช้สักของร้อนมากๆ หรือไม่สามารถใช้งานที่อุณหภูมิสูงๆ เช่นในเตาไมโครเวฟได้ ถึงแม้ว่าแก้วโซดาไลม์จะแข็งและเปราะแต่ด้วยเทคนิคการแปรรูปต่างๆ แก้วประเภทนี้ยังสามารถนำไปผลิตเป็นแก้วนิรภัย (Safety glass) ซึ่งใช้เป็นกระจกรถยนต์ แก้วกันกระสุน (Bullet proof glass) และถูกถ่ายไฟฟ้า (Glass insulator) เป็นต้น แก้วโซดาไลม์โดยทั่วไปมีส่วนประกอบที่สำคัญ คือ $15\text{Na}_2\text{O}\cdot10\text{CaO}\cdot2\text{Al}_2\text{O}_3\cdot73\text{SiO}_2$ %โดยน้ำหนัก (Harper, 2001)

2.3.2 แก้วชนิดโบโรซิลิกेट

แก้วโบโรซิลิกेट (Borosilicate glass หรือ $\text{SiO}_2\text{-}\text{B}_2\text{O}_3\text{-}\text{Na}_2\text{O}$) เป็นแก้วที่มีการใช้บอวิกออกไซด์เป็นตัวช่วยหลอม (Fluxing agent) ในส่วนประกอบของแก้ว ซึ่งมีการใช้ในยุโรปตั้งแต่ในศตวรรษที่ 18 แก้วโบโรซิลิกेटจัดเป็นแก้วในกลุ่ม Hard glass ที่มีปริมาณโบรอนออกไซด์โดยน้ำหนักมากกว่า 5% ขึ้นไปในส่วนประกอบ สารประกอบโบรอนจะทำให้เกิดการหลอมตัวที่อุณหภูมิต่ำลง จึงถือว่าเป็นตัวช่วยหลอมแทนสารประกอบอัลคาไล (B_2O_3 เป็นสารประกอบที่มีอุดหลอมเหลวต่ำที่ 455°C , (SACMI, 2002)) นอกจากนี้แก้วโบโรซิลิกेटยังเป็นแก้วที่มีลักษณะพิเศษคือ มีการขยายตัวเนื่องจากความร้อนที่ต่ำกว่าแก้วโซดาไลม์มาก สามารถการเปลี่ยนแปลงทางความร้อน (Thermal shock) ได้ดี ทนต่อการกัดกร่อนทางเคมี (Chemical corrosion) รวมทั้งยังมีสมบัติทางไฟฟ้าที่ดี ผลิตภัณฑ์แก้วประภานี้ที่รู้จักกันดีคือ แก้วไพรีกซ์ (Pyrex) ซึ่งเป็นชื่อทางการค้าของบริษัท Corning ผลิตจาก Na_2SiO_3 และ CaSiO_3 แก้วไพรีกซ์ เป็นแก้วที่ทนต่อสารเคมี จึงเป็นแก้วที่นิยมใช้งานในห้องทดลองและใช้ในทางการแพทย์ เช่น ขวดใสยาหรือสารเคมี เป็นต้น เนื่องจากคุณสมบัติที่ทนต่อการเปลี่ยนแปลงอุณหภูมิได้ดี แก้วชนิดนี้จึงสามารถนำมาใช้เป็นส่วนประกอบของเตาอบหรือเตาไมโครเวฟ และใช้เป็นภาชนะหุงต้มทำอาหารได้ โดยการใช้แก้วเป็นภาชนะหุงต้มนั้น ถึงแม้ว่าแก้วจะเป็นตัวนำความร้อนที่เมื่อตื้อก แต่ก็มีการดูดความร้อนที่ดี หม้อแก้วดูดความร้อนได้ดีกว่าหม้อโลหะจึงสามารถช่วยประหยัดพลังงานได้มาก นอกจากนี้แก้วโบโรซิลิกेटยังเป็นแก้วที่นิยมใช้ในงานทางอุตสาหกรรม เช่น พลาสติก ท่อแก้วต่างๆ ที่เป็นส่วนประกอบของเครื่องจักร หลอดไฟที่ให้แสงความเข้มสูงหรือหลอดไฟสูญญากาศ ต่างๆ แก้วชนิดนี้ยังใช้ทำเลนส์ชนิดต่างๆ ได้ดีอีกด้วย เช่น เลนส์สำหรับกล้องดูดาว เป็นต้น โดยทั่วไปแก้วโบโรซิลิกेट (Alkali borosilicate) จะมีส่วนประกอบทางเคมี ดังนี้ $81\text{SiO}_2\text{-}13\text{B}_2\text{O}_3\text{-}4\text{Na}_2\text{O}\text{-}2\text{Al}_2\text{O}_3$ % โดยน้ำหนัก ซึ่งสูตรนี้ใกล้เคียงกับผลิตภัณฑ์แก้ว Pyrex ของ Corning code 7740 (Harper, 2001)

2.4 พริต และการใช้ในเคลือบเซรามิก

ตามคำนิยาม พริต (Frit) หมายถึง วัตถุดิบที่มีลักษณะคล้ายแก้วที่แตกละลาย ถูกผลิตขึ้นมาโดยการหลอมวัตถุดิบที่ใช้ในการผลิตเคลือบเซรามิกให้ละลายเป็นน้ำแก้ว แล้วทำให้เกิดการเย็นตัวลงอย่างรวดเร็ว (Quenching) จนแตกละลายเสียไป การทำพริตมีประโยชน์และวัตถุประสงค์ดังต่อไปนี้

1. เปลี่ยนวัตถุดิบทองเคลือบที่ละลายน้ำ เช่น อัลคาไลของคาร์บอนেต ในเตรา และบอเรต ให้เป็นส่วนผสมในรูปของพริตที่ไม่ละลายน้ำ โดยสารเหล่านี้หากมีการละลายแล้ว จะไม่สามารถนำเคลือบไปใช้งานบนผิวผลิตภัณฑ์ได้ เนื่องจากขณะทำการเผาหรือพ่น เคลือบจะถูกดูดซึมเข้าสู่รูปแบบของเนื้อดินบืน ไม่ติดอยู่ที่ผิวของชิ้นงานตามต้องการ และทำให้อัตราส่วนของน้ำเคลือบที่อยู่บนผิวนี้ลดลงไปได้ อีกทั้งสารเหล่านี้อาจแห้งเป็นผลึกติดอยู่ตามริมหรือขอบของชิ้นงาน ทำให้ผลิตภัณฑ์ที่เผาแล้วเกิดตำหนิต่างๆ ซึ่งไม่เรียบและไม่สม่ำเสมอได้
2. เปลี่ยนวัตถุดิบที่เป็นพิช เช่น ตะกั่วออกไซด์ ที่ต้องการใช้เพื่อช่วยลดจุดหลอมตัวในเคลือบ ให้สามารถนำมาใช้ประโยชน์เป็นส่วนประกอบในการผลิตเคลือบเซรามิกได้ โดยอยู่ในรูปของพริตซึ่งกล้ายเป็นวัตถุดิบที่ไม่เป็นพิช หรือมีความเป็นพิชน้อยลง ทำได้โดยการหลอมรวมตัวกับซิลิกา และออกไซด์เพิ่มเติมชนิดอื่นๆ ตามคุณสมบัติของพริตที่ต้องการ เมื่อวัตถุดิบที่เหล่านี้ถูกหลอมกล้ายเป็นแก้วมาแล้วจึงไม่สามารถระหว่างหรือละลายน้ำให้เป็นอันตรายต่อผู้ที่ใช้งานวัตถุดิบเหล่านี้ อีก
3. เปลี่ยนวัตถุดิบที่มีขนาดอนุภาคหกาน หรือละเอียดมากๆ ให้อยู่ในรูปของพริต เช่น แมกนีเซียมคาร์บอนे�ต หรือ ซิงค์ออกไซด์ เพื่อป้องกันการหลอมตัวที่มากเกินไปของเคลือบดิบซึ่งจะทำให้เกิดตำหนินบนเคลือบหลังเผาได้
4. เคลือบพริตจะไม่ทำปฏิกิริยากับเนื้อดินหรือสีใต้เคลือบ ดังนั้นจึงไม่จำเป็นต้องทำการเคลือบผิวให้หนามาก ทั้งนี้เนื่องจากพริตมีส่วนผสมที่มีความเข้มข้นและมีความหนาแน่นสูงซึ่งเป็นผลมาจากการเกิดการสลายตัวของสารบางส่วนไปแล้วนั่นเอง
5. พริตช่วยป้องกันการแยกตัวของส่วนผสมในเคลือบที่มีความหนาแน่น ขนาดรูปร่าง หรือความแข็งของอนุภาคที่แตกต่างกันได้ ช่วยทำให้เกิดการกระจายของสีเคลือบที่สม่ำเสมอ ป้องกันการเกิดจุดตำหนินบนผิวเคลือบ และทำให้เคลือบมีความสวยงามเพิ่มขึ้น

เคลือบเซรามิก (Ceramic glaze) หมายถึง ส่วนผสมที่ประกอบไปด้วยสารประกอบ อะลูมินา ซิลิกา และสารประกอบที่ช่วยให้เกิดการหลอมละลายเป็นเนื้อเดียวกัน เมื่อทำการบด ผสมรวมกัน แล้วเคลือบหรือขับลงบนผิวน้ำของเนื้อดินเซรามิก ผ่านการเผาให้ความร้อนที่ อุณหภูมิสูงจนถึงจุดสุกตัว จะกลายเป็นชั้นของแก้วปิดทับอยู่ที่ผิวน้ำของผลิตภัณฑ์ โดยทำให้ผิว ของผลิตภัณฑ์มีความแข็งแกร่ง สามารถทนต่อสารเคมี กรดหรือด่างได้ รวมถึงทำให้ผลิตภัณฑ์มี ความสวยงาม สะดวกต่อการทำความสะอาด และป้องกันการขูดขีดได้

เคลือบฟริต (Frit glaze) หมายถึง สูตรเคลือบเซรามิกที่มีวัตถุดิบประเภท “ฟริต” เป็น ส่วนประกอบหลัก ร่วมกับส่วนผสมวัตถุดิบอื่นๆ ที่ใช้ในการผลิตเคลือบ การใช้ฟริตเป็น ส่วนประกอบในการผลิตเคลือบเซรามิกนั้น จะช่วยทำให้เคลือบสามารถหลอมตัวได้ง่ายขึ้น และมี จุดสุกตัวที่อุณหภูมิลดลงได้ (ปรีดา พิมพ์ขาวข้า, 2530)

หากตะกอนเคลือบฟริต (Frit glaze sludge) ที่นำมาใช้ในงานวิจัยนี้ คือ กากตะกอน เชษเคลือบเซรามิกชนิดเคลือบฟริต ซึ่งเป็นของเสียที่สะสมอยู่ภายในโรงงานผลิตกระเบื้องเซรามิก ซึ่งหากตะกอนเหล่านี้มาจากการล้างทำความสะอาดหม้อบดเคลือบในขั้นตอนการบดผสมเพื่อ เตรียมน้ำเคลือบใน Ball mill หรือจากขั้นตอนการเทราด้น้ำเคลือบลงบนผิวผลิตภัณฑ์ ซึ่งจะมีน้ำ เคลือบส่วนเกินที่ต้องปาดออกจากผิวหรือขوبของชิ้นงานเพื่อให้สวยงาม และไม่ติดกันในขณะทำ การเผา นอกจากนี้ยังได้มาจาก การทำความสะอาดสายพานลำเลียงในขั้นตอนการเคลือบชิ้นงาน อีกด้วย

2.5 ผลงานวิจัยที่เกี่ยวข้อง

เพ็ชรพร เซ瓦กิจเจริญ และคณะ (2549) ได้ทำการศึกษาผลของการนำของเสีย ประเภทเศษแก้วโซดาไลม์ มาเป็นวัตถุดิบทดแทนแร่เฟล์ดสปาร์ในการผลิตกระเบื้องเซรามิก โดย เปรียบเทียบประสิทธิภาพของเศษขวดแก้วโซดาไลม์ 3 สี ได้แก่ เศษขวดแก้วสีเขียว เศษขวดแก้วสี เขียว และเศษกระดาษที่ใช้แล้ว ทำการศึกษาโดยแบรค่าอัตราส่วนการหลอมแทนแร่เฟล์ดสปาร์ที่ใช้ ในส่วนผสมด้วยของเสียที่เป็นแก้วร้อยละ 0 และร้อยละ 100 ขึ้นรูปชิ้นงานเป็นแผ่นกระเบื้องขนาด 4×4 ตารางนิว ด้วยความดัน 100 บาร์ ณาด้วยอุณหภูมิ $1,200^{\circ}\text{C}$ ทดสอบคุณภาพของกระเบื้อง ตามมาตรฐานผลิตภัณฑ์อุตสาหกรรมกระเบื้องปูพื้น มอก. 37-2529 ผลการศึกษาที่ได้พบว่า กระเบื้องที่มีส่วนผสมของเศษแก้วสีเขียวผ่านการทดสอบและมีคุณภาพที่ดีที่สุด เมื่อเปรียบเทียบ กับเศษแก้วสีอื่นๆ และแร่เฟล์ดสปาร์ เมื่อได้ผลการทดลองดังกล่าว จึงได้ทำการศึกษาเพิ่มเติม

โดยแบ่งค่าความดันและอุณหภูมิในการเผากระเบื้องใหม่เป็น 200 บาร์ และ $1,150^{\circ}\text{C}$ เพื่อหา สภาวะที่เหมาะสมและต่อสุด ผลการทดสอบ พบว่า กระเบื้องเซรามิกที่มีส่วนผสมของเศษแก้วสี เขียวร้อยละ 100 ชิ้นรูปที่ความดัน 100 บาร์ และเผาที่อุณหภูมิ $1,150^{\circ}\text{C}$ ได้ผลการทดสอบผ่าน ตามเกณฑ์มาตรฐานอุตสาหกรรม (มอก. 37-2529) และมีคุณสมบัติต่อสุด โดยมีค่ากำลังรับแรง ตัวต่อเท่ากับ 28.86 เมกะปานาเดล ค่าการหดตัวหลังการเผา และค่าการดูดซึมน้ำเท่ากับร้อยละ 14.83 และ ร้อยละ 3.93 ตามลำดับ จากผลการวิจัยแสดงให้เห็นว่า ของเสียประเภทเศษขวดแก้วสี เขียว สามารถนำมาใช้ทดแทนแร่เฟล์ดสปาร์ได้มีประสิทธิภาพดีที่สุด เมื่อเปรียบเทียบกับเศษขวด แก้วที่เป็นสีขาว และเศษแก้วที่เป็นกระจากสีใส

Matteucci และคณะ (2002) ได้ทำการศึกษาถึงผลกระทบของการใช้แก้วประเภท โซดาไอล์มที่มีต่อกระบวนการเผา Sintering และคุณสมบัติทางเทคนิคของกระเบื้องประเภทพอร์ซเลน-สโตรนแวร์ ทำการศึกษาโดยใช้แก้วประเภทโซดาไอล์มที่เป็นกระจกแผ่น (Float glass) และแก้ว ภาชนะบรรจุภัณฑ์ต่างๆ (Container glass) แทนที่แร่เฟล์ดสปาร์ในสูตรกระเบื้องเนื้อพอร์ซเลน-สโตรนแวร์ทั่วไปในบริมาณ 5 และ 10 %โดยน้ำหนัก ทำการทดลองในระดับห้องปฏิบัติการโดย จำลองเหมือนกระบวนการผลิตจริงในอุตสาหกรรม วัดดูดบีที่ใช้สำหรับการผลิตกระเบื้องเนื้อพอร์ซเลน-สโตรนแวร์โดยทั่วไป มักได้แก่ ดินเหนียว (Ball clays) และเฟล์ดสปาร์ ทรายควอตซ์ และสารให้สี (Pigments) กระบวนการผลิตกระเบื้องชนิดนี้ในอุตสาหกรรมการผลิตจริงโดยทั่วไป เริ่มจากการ บดส่วนผสมทั้งหมดแบบเปียก (Wet grinding) จากนั้นทำการอัดแบบแห้ง (Dry pressing) อบแห้งแบบรวดเร็ว (Fast drying) และทำการเผาครั้งเดียวแบบรวดเร็ว (Fast single firing) ที่ อุณหภูมิสูงสุดประมาณ $1,190\text{-}1,230^{\circ}\text{C}$ โดยกระเบื้องประเภทนี้จะแสดงคุณสมบัติหลังเผาที่ดี เยี่ยม โดยเฉพาะค่าความแข็งแรงทางกล ค่าความต้านทานการขัดสีในระดับสูง ค่าความต้านทาน ความเย็บจัด หรือค่าความต้านทานสารเคมี สำหรับในการทดลองนี้ เริ่มจากการบดเปียก ส่วนผสมทั้งหมดด้วยหม้อบดพอร์ซเลนชนิดลูกบดอะลูมิเนียม เป็นเวลา 18 ชั่วโมง จากนั้nobnida ให้แห้งที่อุณหภูมิ $105\pm 5^{\circ}\text{C}$ บดให้เป็นผงดินด้วย Hammer Mill และปรับความชื้นผงดินให้มีค่า 5 - 6% ทำการอัดแบบแห้งที่กำลังอัด 40 MPa ให้เป็นแผ่นกระเบื้องขนาด $110 \times 55 \times 6$ มิลลิเมตร อบแห้งในเตาอบที่อุณหภูมิ $105\pm 5^{\circ}\text{C}$ ผ่านด้วยเตาไฟฟ้าแบบ Roller kiln เป็นเวลา 60 นาที ที่อุณหภูมิสูงสุดจาก $1,120$ ถึง $1,200^{\circ}\text{C}$ ทำการวัดคุณสมบัติต่างๆ ของกระเบื้องทั้งก่อนและ หลังเผา ผลที่ได้พบว่า แก้วประเภทโซดาไอล์มทั้ง 2 แบบ สามารถใช้ทดแทนฟลักซ์แบบดั้งเดิม เช่น แร่โซเดียมเฟล์ดสปาร์ ในเนื้อกระเบื้องพอร์ซเลน-สโตรนแวร์ได้ โดยไม่มีข้อเสียใดๆ ในเชิงเทคนิค กระบวนการผลิต แต่จะมีผลอยู่บ้างกับคุณสมบัติหลังเผา โดยในระหว่างการเผาแก้วโซดาไอล์มจะ

เป็นตัวเร่งกระบวนการ Densification ทำให้เกิดผลดีคือ รูป/run เปิด (Open porosity) มีค่าต่ำลง รวมกับผลในทางลบ คือ การหดตัว (Shrinkage) และค่ารูป/run เปิด (Closed porosity) มีค่ามากขึ้น ค่าความหนาแน่นทั้งก้อน (Bulk density) และคุณสมบัติทางกลของชิ้นงานมีค่าต่ำลง ซึ่งความแตกต่างของคุณสมบัติเหล่านี้เมื่อเทียบกับกระเบื้องมาตรฐาน จะเห็นเด่นชัดมากขึ้น เมื่อทำการเติมแก้วในปริมาณมากขึ้น (10%) แก้วโซดาไอล์ฟจะทำการปรับปรุงสมดุลระหว่างการอยู่ร่วมกันของ Glassy phase และ Crystalline phase นั่นคือ จะมีเฟสที่เป็นแก้ว (Vitreous phase) ในปริมาณมากกว่า และมีปริมาณของเฟส Quartz และ Mullite ในปริมาณน้อยกว่า นอกจากนี้ ของเสียประเภทแก้วยังช่วยปรับปรุงกลไกการเผา (Sintering kinetics) อย่างสังเกตเห็นได้ชัด คือ ทำให้ความหนืดของเฟสของเหลว (Liquid phase) มีค่าต่ำลง

ในท่านองเดียวกัน Luz และ Ribeiro (2007) ได้ทำการศึกษาการใช้ของเสียที่เป็นผงแก้วโซดาไอล์ฟมาเป็นวัตถุดิบผสมในการผลิตกระเบื้องเนื้อพอร์ซเลน-สโตนแวร์ มีจุดประสงค์เพื่อหาวัตถุดิบอื่นมาใช้ทดแทนวัตถุดิบที่เป็นฟลักซ์ดังเดิมโดยไม่ส่งผลกระทบต่อการเปลี่ยนแปลงกระบวนการผลิต และไม่ส่งผลกระทบต่อคุณภาพของผลิตภัณฑ์กระเบื้องเนื้อพอร์ซเลน-สโตนแวร์ ที่ได้หลังเผา กระเบื้องเนื้อพอร์ซเลน-สโตนแวร์จัดเป็นกระเบื้องที่มีคุณสมบัติที่สุด ทั้งในด้านความแข็งแรง ความทนต่อสารเคมี ความแข็งของพื้นผิว และอื่นๆ วัตถุดิบที่ใช้ในการทดลองนี้ได้แก่ ดินขาว (Kaolinitic clay) และควอตซ์ แร่โซเดียมเฟล์สปาร์ และผงแก้วบด การทดลองได้ปรับสัดส่วนวัตถุดิบต่างๆ และทดสอบแร่โซเดียมเฟล์สปาร์ด้วยผงแก้วบดทั้งหมดและบางส่วน ทำการขึ้นรูปโดยอัดอิฐชิ้นงานเป็นแผ่นกระเบื้องขนาด $114 \times 25 \times 7$ มิลลิเมตร เผาชิ้นงานทดลองในช่องอุณหภูมิตั้งแต่ $1,000 - 1,250^{\circ}\text{C}$ ทดสอบสมบัติต่างๆ ของชิ้นงานหลังเผา ได้แก่ การหดตัวเชิงเส้น (Linear shrinkage ตามมาตรฐาน ASTM C 326) การดูดซึมน้ำ (Water absorption ตามมาตรฐาน ASTM C 373) ความพรุนตัว (Total porosity ตามมาตรฐาน ASTM C 329-88) ค่าความแข็งแรง (Flexural strength แบบ Three-point bending) ค่าความต้านทานรอยขูดขีด (Abrasion resistance ตามมาตรฐาน ISO 10545-6) จากนั้นทำการเลือกชิ้นทดสอบที่ให้ผลค่าการหดตัวเชิงเส้นและค่าการดูดซึมน้ำที่ดีที่สุดมาทำการวิเคราะห์เฟสของผลิตภัณฑ์โดยเทคนิคเอกซเรย์ดิฟเพραγκίν (XRD) ผลการทดลองพบว่า ผงแก้วบดมีประสิทธิภาพในการเป็นตัวช่วยหลอม (Fluxing agent) เมื่อใช้เป็นตัวเติมในส่วนผสมของกระเบื้องเซรามิกต่างๆ โดยผงแก้วบดจะทำหน้าที่เป็นตัวเร่งกระบวนการ Densification ในระหว่างการเผาชิ้นงาน ซึ่งส่งผลดีต่อชิ้นงาน ได้แก่ ทำให้ปริมาณรูพรุนเปิด และค่าการดูดซึมน้ำของชิ้นงานลดต่ำลง แต่ก็มีผลเสียคือ ค่าการหดตัวและปริมาณรูพรุนปิดของชิ้นงานจะมีค่าสูงขึ้น ส่งผลต่อค่าความแข็งแรงของชิ้นงาน นอกจากนี้ การใช้ผงแก้วบดจะ

ทำให้ความหนืดของเฟสของเหลวในขณะหลอมตัวมีค่าต่ำลง ซึ่งค่าความหนืดของเฟสของเหลวจะลดต่ำลงตามปริมาณของผงแก้วบดที่ใช้มากขึ้น ซึ่งถือว่าเป็นผลดีต่อกระบวนการหลอมตัวของชิ้นงานเมื่อเพาให้ความร้อน เมื่อวิเคราะห์เฟสด้วยเทคนิค XRD พบเฟสมัลไลต์ (Mullite, $3\text{Al}_2\text{O}_3 \cdot 2\text{SiO}_2$) ควอร์ตซ์ (Quartz) และอะโนร์ไธต์ (Anorthite) ซึ่งเป็นเฟสที่บ่งชี้สมบัติของกระเบื้องประภากนี่ เมื่อพิจารณาสมบัติต่างๆ ที่ได้หลังเผา พบว่า กระเบื้องทุกสูตรมีค่าต่างๆ เป็นไปตามมาตรฐานสำหรับกระเบื้องเนื้อพอร์ซเลน-สโตนแวร์ ยกเว้นเมื่อพิจารณาค่าความต้านทานต่อรอยขีดข่วน พบว่าสูตรกระเบื้องที่ใช้ฟลักซ์เป็นแร่เฟลเดสปาร์ 25% ผสมกับผงแก้วบด 5% เป็นสูตรทดลองเพียงสูตรเดียวเท่านั้นที่มีค่าความต้านทานต่อรอยขีดข่วนอยู่ในเกณฑ์มาตรฐานที่จัดได้ว่าเป็นกระเบื้องเนื้อพอร์ซเลน-สโตนแวร์ ส่วนกระเบื้องสูตรอื่นๆ ที่มีปริมาณผงแก้วบดมากกว่า (10, 15 และ 20%) มีค่าความต้านทานรอยขีดไม่ผ่านตามเกณฑ์มาตรฐานเนื่องจากการเพิ่มขึ้นของปริมาณผงแก้วบด จะส่งผลต่อการเพิ่มขึ้นของความพรุนตัวของชิ้นงานซึ่งทำให้ค่าความแข็งแรงของชิ้นงานลดลงด้วย ดังนั้น จากการทดลองจึงสรุปได้ว่า สูตรกระเบื้องที่ใช้แร่เฟลเดสปาร์ 25% และผงแก้วบด 5% เป็นฟลักซ์นั้น เป็นกระเบื้องเพียงสูตรเดียวที่มีคุณสมบัติทุกอย่างเป็นไปตามเกณฑ์มาตรฐานของกระเบื้องเซรามิกเนื้อพอร์ซเลน-สโตนแวร์

Raimondo และคณะ (2007) ได้ทำการศึกษาผลของการใช้ของเสียประภากะวจากหลอดแคโทดและหน้าจอดิจิตอลคอมพิวเตอร์ (TV/PC cathodic tube and screen) ที่มีต่อคุณสมบัติทางเทคนิคและพฤติกรรมการเผาของกระเบื้องชนิดพอร์ซเลน-สโตนแวร์ วัตถุดิบต่างๆ ที่ใช้ในการทดลอง ได้แก่ แก้วที่ได้มาจากหลอดแคโทด (Cathodic tube glass) และแก้วจากหน้าจอ (Screen glass) ของ TV/PC ดินเหนียว (Ball clay) รายควอร์ตซ์ โซเดียมเฟลเดสปาร์ และโพแทสเซียมเฟลเดสปาร์ ทำการทดลองโดยแทนที่แร่โซเดียมเฟลเดสปาร์ในสูตรซึ่งต้องห้ามแก้วจากหลอดแคโทดในปริมาณ 5 และ 10 wt% แทนที่แร่โซเดียมเฟลเดสปาร์ด้วยแก้วจากหน้าจอ TV/PC ปริมาณ 5 และ 10 wt% และแทนที่แร่โซเดียมเฟลเดสปาร์ด้วยแก้วจากหลอดแคโทดผสมกับแก้วจากหน้าจอ TV/PC อย่างละ 5 wt% (เป็น 10 wt%) บดส่วนผสมด้วยวิธีบดเปียกในหม้อบดพอร์ซเลนที่ใช้ลูกบดชนิดคลุกมิ่ง (Planetary mill) เป็นเวลา 20 นาที จากนั้นอบน้ำดินให้แห้งที่อุณหภูมิ $105 \pm 5^\circ\text{C}$ บดให้เป็นผงด้วย Hammer mill และปรับความชื้นผงดินให้มีค่า 7-8% ทำการอัดชิ้นงานที่กำลังอัด 40 MPa ให้เป็นแผ่นกระเบื้องขนาด $110 \times 55 \times 6$ มิลลิเมตร อบในเตาอบไฟฟ้าที่อุณหภูมิ $105 \pm 5^\circ\text{C}$ เป็นเวลาข้ามคืน จากนั้นเผาชิ้นงานด้วยเตาไฟฟ้าแบบ Roller kiln ที่อุณหภูมิสูงสุดในช่วงจาก 1,180 ถึง $1,220^\circ\text{C}$ ที่เวลา 51 นาทีต่อนึ่งรอบการเผา ทำการวัดคุณสมบัติต่างๆ ของกระเบื้องทั้งก่อนและหลังเผา ได้แก่ ค่า้น้ำหนักต่อปริมาตร และค่าเบอร์เซนต์น้ำของน้ำดิน ค่า

การกระจายขนาดอนุภาคของผงดิน (ASTM C 958) ค่าความชื้นของผงดิน (ASTM C 324) ค่าการหดตัว (ASTM C 326) ปริมาณรูปวนเปิด ค่าความหนาแน่นทั้งก้อน (ISO 10545-3) ค่าความแข็งแรง (3-point flexural strength) (ISO 10545-4) ค่าการดูดซึมน้ำ ค่าน้ำหนักจำเพาะ ค่าความพรุนตัวโดยรวม ค่าการวัดสี (CIE-Lab colourimetry) (ISO 10545-16) นอกจากนี้ ได้วิเคราะห์เฟสด้วยเทคนิค XRPD และโครงสร้างระดับจุลภาคด้วย SEM-EDS ผลการทดลองสรุปได้ว่า แก้วหน้าจอด้วยหลอดแคนโถด TV/PC สามารถเติมลงไปในสูตรเนื้อดินกระเบื้องพอร์ซเลน-สโตนแวร์ เพื่อแทนที่ฟลักซ์ดังเดิมในบางส่วนได้ โดยไม่ส่งผลกระทบใดๆ ต่อเทคนิคกระบวนการผลิต อย่างไรก็ตามแก้วที่เป็นของเสียเหล่านี้จะส่งผลกระทบด้านองค์ประกอบ และพฤติกรรมในการเผา โดยมีคุณสมบัติทางกล และสมบัติทางเทคนิคต่างๆ คล้ายกับเนื้อดินกระเบื้องที่ใช้อ้างอิง จากการทดสอบพบโลหะอันตราย PbO ที่สูงหายไปในระหว่างการเผา 0.2-0.3 % โดยน้ำหนัก และพบปริมาณ PbO เล็กน้อยในชิ้นงานหลังจากผ่านกระบวนการเผา (< 0.7 mg./kg.) ของเสียที่เป็นแก้วชนิดหลอดแคนโถ สามารถเลื่อนอุณหภูมิของการหดตัวสูงสุดออกไปได้ที่ต่ำกว่าค่า $1,180^{\circ}\text{C}$ และดังให้เห็นจากปริมาณของเฟสที่เป็นแก้ว (Glassy phase) ของเนื้อดินที่เพิ่มขึ้น ในขณะที่ความหนืดของเฟสของเหลว (Liquid phase) มีค่าต่ำลง สูปโดยรวมได้ว่า ของเสียประเภทแก้วหั้ง 2 ชนิดนี้สามารถนำมาใช้แทนที่ฟลักซ์ในบางส่วนได้ โดยส่งผลดีต่อสมบัติทางกายภาพและทางเทคนิคของเนื้อดินกระเบื้องที่มีการเติมแก้วเหล่านี้ และส่งผลต่อการปรับปรุงพฤติกรรมการเผาของกระเบื้องให้ดีขึ้นด้วย

เข่นเดียวกับ Andreola และคณะ (2008) ที่ได้ทำการศึกษาการแทนที่แร่เฟล์ดสปาร์ในเนื้อดินกระเบื้องพอร์ซเลน-สโตนแวร์ด้วยของเสียประเภทแก้ว CRT (Panel Cathode Ray Tube) ในสูตรมาตรฐานซึ่งมีแร่โซเดียมเฟล์ดสปาร์อยู่ในปริมาณ 35 wt% ทำการเผาในช่วงอุณหภูมิที่แตกต่างกันตั้งแต่ $1,000\text{-}1,250^{\circ}\text{C}$ วัดระดับของการหดตัวโดยใช้ค่าความพรุนตัวแบบบีด และความพรุนตัวหงหง (Closed and total porosity) และประเมินอัตราการหดตัว (Sintering rate) ด้วย non-isothermal dilatometer ตรวจสอบการเปลี่ยนแปลงขององค์ประกอบทางเฟสและผลึกโดยการวิเคราะห์ XRD รวมถึงวัดสมบัติต่างๆ ทางกายภาพ และสมบัติทางกล ของชิ้นงานทดลองเบรียบเทียบกับสูตรมาตรฐาน จากผลการศึกษาโดยใช้ปริมาณของแก้ว CRT แทนที่แร่เฟล์ดสปาร์ในปริมาณที่แตกต่างกัน (2.5, 5 และ 10 wt%) พบว่า การใช้เศษแก้ว CRT ในปริมาณ 5 % โดยน้ำหนัก แทนที่ในสูตรจะช่วยปรับปรุงกระบวนการหดตัว (Densification process) ได้แก่ คุณสมบัติการหดตัวเชิงเส้น การดูดซึมน้ำ ค่าความหนาแน่นปรากฏ และสมบัติทางกล ได้แก่ ค่า Young's modulus โดยในระหว่างการเผา พบว่า แก้ว CRT ให้ผลทางด้าน

Sintering kinetic ที่ดีขึ้นในเชิงบวก ได้แก่ ค่าความพรุนตัวแบบเปิดและโดยรวม (Open and total porosity) ที่ต่ำลง และมีค่า Apparent density ที่สูงขึ้น โดยพบว่าการใช้แก้ว CRT มากขึ้นที่ 10 wt% ไม่ส่งผลต่อการเปลี่ยนแปลงเฟสของผลึกที่ปรากฏ และโครงสร้างในเนื้อชิ้นงาน แต่ในทางตรงกันข้ามการใช้ในปริมาณที่สูง 35 wt% จะให้ผลทางด้านลบ เนื่องจากแก้วจะทำปฏิกิริยาับัตตุดิบประเทอเรซเลน-สโตรนแวร์ แล้วทำให้เกิดการเปลี่ยนแปลงโครงสร้างในระดับจลภาคของเนื้อชิ้นงาน

สำหรับ Pontikes และคณะ (2007) ได้ทำการศึกษาพฤติกรรมทางความร้อนของเนื้อดินสำหรับการผลิตเซรามิกแบบดังเดิมประเทอเรซและกระเบื้องมุงหลังคา โดยมีส่วนผสมของซองเสียที่เป็นแก้วชนิดโซดาไอล์ซิลิกาอยู่ด้วย ทำการประเมินถึงผลกระทบของปริมาณแคลไซซ์ (Calcite) ที่มีอยู่ในส่วนผสมของเนื้อดิน ผลกระทบของขนาดอนุภาคของผงแก้ว และอุณหภูมิที่ใช้ในการเผาชิ้นงาน จากการศึกษาพบว่า ในกรณีที่ส่วนผสมระหว่างเนื้อดินกับแก้วมีปริมาณของแคลไซซ์โดยรวมอยู่มากกว่านั้น จะเพิ่มอัตราการขยายตัวของเนื้อดินในระหว่างการเผาที่อุณหภูมิสูงกว่า 700°C เล็กน้อย ซึ่งผลกระทบนี้จะทำให้การปลดปล่อยก๊าซ CO_2 ออกจากชิ้นงานในระหว่างกระบวนการเผาทำได้ยากขึ้น และกระบวนการหลอมตัวจะเริ่มต้นที่อุณหภูมิต่ำกว่าสำหรับตัวอย่างที่มีแก้วเป็นส่วนผสม โดยสังเกตได้ว่านៅดินมีการหดตัวในช่วงที่สอง (Second shrinkage zone) ที่อุณหภูมิเกือบ $1,000^{\circ}\text{C}$ นอกจากนี้ยังพบว่า ปริมาณของแคลไซซ์ เป็นปัจจัยหลักในการเปลี่ยนแปลงสมบัติทางแร่ของเนื้อดินหลังเผา โดยการเพิ่มขึ้นของอุณหภูมิในการเผา และการลดการกระจายขนาดอนุภาคของผงแก้ว จะส่งผลให้เนื้อดินมีการหลอมตัว (Densification) ที่มากขึ้น

จากการวิจัยที่เกี่ยวข้องดังกล่าว พบร่วมกับส่วนใหญ่มีการทำการศึกษาเฉพาะการนำเศษแก้วชนิดโซดาไอล์ซ และแก้ว CRT มาใช้เป็นตัวช่วยหลอมทดแทนวัตตุดิบฟลักซ์ดังเดิม (แร่เฟล์ดสปาร์) เท่านั้น ยังไม่มีงานวิจัยที่ได้ทดลองนำของเสียที่เป็นแก้วประเทอเรซิลิกาต์ หรือของเสียอื่นๆ ที่มีคุณสมบัติคล้ายแก้วมาศึกษา ดังนั้น ในงานวิจัยนี้ จึงได้ทำการศึกษาเพิ่มเติม โดยนำวัสดุทดแทนชนิดอื่นที่มีคุณสมบัติคล้ายกัน ได้แก่ เศษแก้วชนิดใบໂຮຈิลิกาต์ และกาตากอนเคลือบพิริ ซึ่งเป็นของเสียจากการผลิตที่มีอยู่มากในโรงงานผลิตกระเบื้องเซรามิกปัจจุบัน มาศึกษาประสิทธิภาพในการเป็นตัวช่วยหลอมทดแทนแร่โซเดียมเฟล์ดสปาร์ บริเวณเที่ยบกับประสิทธิภาพของเศษแก้วชนิดโซดาไอล์ซซึ่งมีผู้ศึกษาอยู่แล้ว นอกจากนี้ ในงานวิจัยที่ผ่านมา ส่วนมากจะเน้นไปที่การวิจัยสำหรับผลิตภัณฑ์กระเบื้องเซรามิกชนิดเนื้อพอร์ซเลน-สโตรนแวร์ ซึ่งเป็นกระเบื้องชนิดที่เผาอุณหภูมิสูง ($1,200 - 1,250^{\circ}\text{C}$) นิยมผลิตกันมากในต่างประเทศ ส่วนใน

งานวิจัยนี้ เนื่องจากได้รับความร่วมมือจากโรงงานผลิตกระเบื้องเซรามิกในทางอุตสาหกรรม จึงได้ทำการศึกษาวิจัยสำหรับกระเบื้องเซรามิกชนิดที่โรงงานทำการผลิตอยู่ ณ ปัจจุบัน ได้แก่ กระเบื้องเนื้อเอิร์ทเซิร์นแวร์ และสโตนแวร์ ซึ่งมีการเผาที่อุณหภูมิต่ำกว่ากระเบื้องเนื้อพอร์ซเลน-สโตนแวร์ ($1,000 - 1,150^{\circ}\text{C}$) แต่เป็นกระเบื้องชนิดที่นิยมผลิตกันมากในประเทศไทย

บทที่ 3

ขั้นตอนดำเนินงานวิจัย

3.1 วัสดุดิบและอุปกรณ์

3.1.1 วัสดุดิบที่ใช้ในงานวิจัย

วัสดุดิบจากธรรมชาติสำหรับการผลิตกระเบื้องเซรามิก และวัสดุเหลือทิ้งที่นำมาทดลองใช้ในงานวิจัยนี้ ได้แก่

- 1) แกร็ชเดียมเฟล์ดส์ปาร์ จากบริษัท สยามเฟล์ดส์ปาร์ จำกัด (แหล่งแร่ จ.ราชบุรี)
- 2) แปรไฟฟิลไลต์ (Pyrophyllite) จากบริษัท ภัตราเจริญไมเนอร์ จำกัด
(แหล่งแร่ จ.ปราจีนบุรี)
- 3) หินผุ (Pottery Stone) จากบริษัท เอ็ม. เอส. อินดัสเตรียล จำกัด
(แหล่งแร่ จ.กาญจนบุรี)
- 4) หินปูน (Limestone) จากบริษัท ศิลาสกาว จำกัด (แหล่งแร่ จ.ปราจีนบุรี)
- 5) ดินเหนียว (Ball Clay) จากบริษัท เอ็มอาร์ดี-ซีซี จำกัด
- 6) ทรายบด (Milled Sand) จากบริษัท อินดัสเตรียล มินเนอรัล ดิวิลคปเมนท์ จำกัด
- 7) เศษแก้วโซดาไอล์ฟ์ จากบริษัท มีศิลป์เซรามิก จำกัด (แสดงดังภาพที่ 3.1)
- 8) เศษแก้วใบโพธิลิเกต จากบริษัท AGC Techno Glass (ประเทศไทย) จำกัด
(แสดงดังภาพที่ 3.2)
- 9) ภาชนะเคลือบพิริตในโรงงานผลิตกระเบื้องเซรามิก จากห้างหุ้นส่วนจำกัด
กระเบื้องไทย (แสดงดังภาพที่ 3.3)

ภาพที่ 3.1
เศษแก้วชนิดใช้ได้เมื่อก่อนบดย่อย



ที่มา: <http://www.ski-engineering.co.th/home.php> และ
http://www.lks.ac.th/student/kroo_su/chem1/page16.html

ภาพที่ 3.2
เศษแก้วชนิดใบเรซิลิเกตก่อนบดย่อย



ที่มา: บริษัท AGC Techno Glass (ประเทศไทย) จำกัด

ภาพที่ 3.3

ภาพตัวอย่างเศษหินที่ได้จากการบดหินทรายในกระบวนการผลิตกระเบื้องเซรามิก



ที่มา: ฝ่ายผลิต ห้างหุ้นส่วนจำกัด กระเบื้องไทย

3.1.2 อุปกรณ์และเครื่องมือวิเคราะห์ที่ใช้ในงานวิจัย

- 1) เครื่องบดเศษเก้า (Edge runner mill)
- 2) ตะแกรงร่อน (Test sieves) ขนาดรูเปิด No. 70, 100 และ 200 mesh
- 3) เครื่องขั่นดิจิตอล ทศนิยม 2 ตำแหน่ง
- 4) เครื่องบดนำดินแบบ High speed mill
- 5) เครื่องบดนำดินแบบ Ball mill
- 6) เตาอบไฟฟ้า
- 7) โกรงบด (Mortar)
- 8) เครื่องอัดซีนงานแบบไฮดรอลิก
- 9) เครื่องพ่นฝอยและอบแห้งนำดิน (Spray dryer)
- 10) เตาเผาไฟฟ้า
- 11) เตาแก๊ส หรือ Hot plate สำหรับต้มซีนงาน

- 12) เวอร์เนียคลิปเปอร์
- 13) เครื่องวัดความแข็งแรงของชิ้นงานแบบ 3-point bending strength
- 14) เครื่องวัดความบิดเบี้ยวของกระเบื้อง
- 15) เครื่องวิเคราะห์องค์ประกอบทางเคมี (X-ray fluorescence)
- 16) เครื่องวิเคราะห์องค์ประกอบทางแร่ (X-ray diffraction)
- 17) เครื่องวัดค่าการขยายตัวและทดสอบทางความร้อนของวัสดุ (Dilatometer)

3.2 การบดเศษแก้วก่อนนำมาใช้งาน

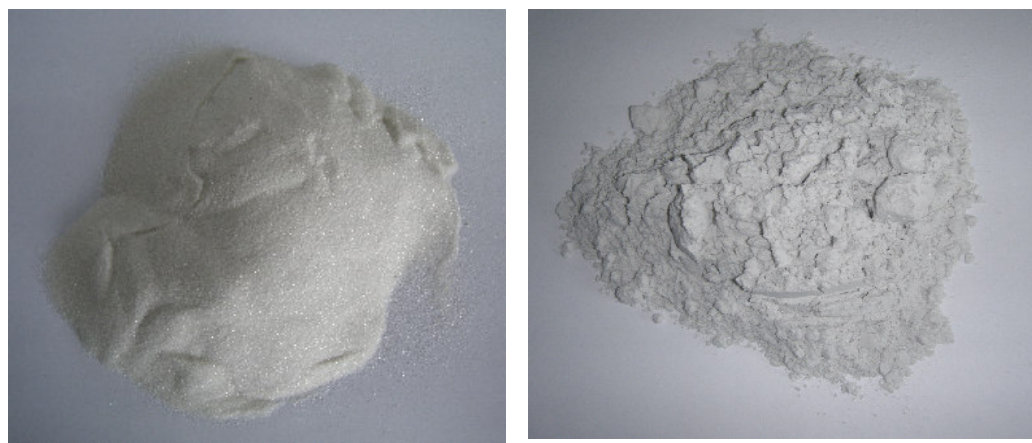
เศษแก้วโซดาไลม์ และเศษแก้วใบโพธิ์ลิเกตที่จะนำมาใช้ในงานวิจัยนั้น จะต้องนำมาบดย่อยให้ละเอียดก่อนนำมาใช้งาน โดยเศษแก้วชนิดโซดาไลม์ ซึ่งในงานวิจัยนี้ใช้เศษกระจากใส่น้ำ ได้ถูกบดให้ละเอียดมาแล้วจากบริษัทที่ซื้อมาใช้ (บริษัท มีศิลป์ เซรามิก จำกัด) แต่สำหรับเศษแก้วชนิดใบโพธิ์ลิเกต ได้มาราจากเศษแก้วที่เป็นของเสียจากการผลิตของบริษัท AGC Techno Glass (ประเทศไทย) จำกัด ซึ่งยังไม่ได้ถูกบดย่อยให้ละเอียดมาก่อน (แสดงดังภาพที่ 3.2) ดังนั้น จึงต้องนำมารบดให้ละเอียดด้วยเครื่องบดย่อยชนิด Edge runner mill (แสดงดังภาพที่ 3.4) จากนั้น นำมาร่อนผ่านตะแกรงเบอร์ 70 เมช (ขนาดรูเปิด 212 ไมครอน) เพื่อคัดแยกขนาดให้ละเอียดเพียงพอ ก่อนนำมาใช้งาน ภาพที่ 3.5 แสดงเศษแก้วทั้ง 2 ชนิดที่ถูกบดย่อยให้ละเอียดและคัดแยกขนาดแล้วพร้อมนำไปใช้งานต่อ

ภาพที่ 3.4
เครื่องบดย่อขันนิด Edge runner mill



ที่มา: http://www.pscmceramic.com/pd_ed.htm

ภาพที่ 3.5
เศษแก้วที่ถูกบดละเอียดและคัดแยกขนาดพร้อมนำไปใช้งาน
(ก) เศษแก้วชนิดโซดาไอล์ฟ (ข) เศษแก้วชนิดโนโรชิลิกเกต



(ก)

(ข)

3.3 การวิเคราะห์องค์ประกอบทางเคมีของวัตถุดิบประเภทตัวช่วยหลอม

ทำการวิเคราะห์ทางเคมีของวัตถุดิบประเภทตัวช่วยหลอม และของเสียที่นำมาใช้ในการทดลอง ได้แก่ แร่โซเดียมเฟล์สปาร์ เศษแก้วชนิดโซดาไลม์ เศษแก้วชนิดบิโบริชิลิกेट และガากตะกอนเคลือบพริต ด้วยเทคนิคเอกซ์เรย์ฟลูออเรสเซนซ์ (XRF) เพื่อเปรียบเทียบปริมาณออกไซด์ของธาตุหมู่ที่ 1 และ 2 (อลคาไล และอลคาไลน์เออริก) ที่มีอยู่ในวัตถุดิบแต่ละชนิด ซึ่งมีคุณสมบัติเป็นฟลักซ์ ทำหน้าที่เป็นตัวช่วยหลอมและช่วยลดอุณหภูมิในการเผาผลิตภัณฑ์เซรามิก โดยใช้เครื่องมือทดสอบที่ห้องปฏิบัติการเอกซ์เรย์ดิฟเฟรากซ์และเอกซ์เรย์ฟลูออเรสเซนซ์ของศูนย์เทคโนโลยีโลหะและวัสดุแห่งชาติ ยี่ห้อ Philips รุ่น PW-2404 แสดงตัวอย่างดังภาพที่ 3.6

ภาพที่ 3.6

เครื่องมือวิเคราะห์องค์ประกอบทางเคมีด้วยเทคนิค X-ray fluorescence (XRF)



ที่มา: <http://www2.ultratrace.com.au/index.php?page=x-ray-fluorescence>

3.4 การทดสอบการหลอมตัวของวัตถุดิบประเภทตัวช่วยหลอมในเบื้องต้น (Fusion Test)

ทำการศึกษาประสิทธิภาพในการหลอมตัวของวัตถุดิบประเภทตัวช่วยหลอม และของเสียที่นำมาใช้ในการทดลองในเบื้องต้น โดยวิธีการนำวัตถุดิบแต่ละชนิด ได้แก่ แร่โซเดียมเฟล์สปาร์ เศษแก้วชนิดโซดาไลม์ เศษแก้วชนิดบิโบริชิลิกेट และガากตะกอนเคลือบพริต ที่ผ่านการบดให้ละเอียด และร่อนผ่านตะแกรงเบอร์ 70 เมช (212 ไมครอน) แล้ว มาอัดลงในแม่พิมพ์

โลหะรูปโคน ขนาดเส้นผ่านศูนย์กลาง 3 เซนติเมตร สูง 4 เซนติเมตร ลักษณะแสดงดังภาพที่ 3.7 และ 3.8 จากนั้นนำชิ้นตัวอย่างที่เตรียมได้ไปเผาในเตาไฟฟ้าที่อุณหภูมิ 1,125 องศาเซลเซียส ซึ่งเป็นอุณหภูมิที่ใช้ในการเผาผลิตภัณฑ์ของห้างหุ้นส่วนจำกัด กรุงเบี้องไทย และทำการเบรี่ยบเทียนลักษณะการหลอมตัวของวัตถุดิบแต่ละประเภทหลังการเผา

ภาพที่ 3.7
แม่พิมพ์โลหะรูปโคนที่ใช้ในการเตรียมตัวอย่าง



ที่มา: ฝ่ายควบคุมคุณภาพ ห้างหุ้นส่วนจำกัด กรุงเบี้องไทย และ บริษัท คอมพาวเดอร์เคลร์ จำกัด

ภาพที่ 3.8
ตัวอย่างชิ้นงานหลังขัดก่อนนำไปเผา



3.5 การเตรียมซึ้งงานทดลอง

ทำการเตรียมซึ้งงานทดลอง ตามวิธีการดังต่อไปนี้

1. กำหนดสูตรมวลสารของกระเบื้องสำหรับใช้เป็นสูตรอ้างอิง โดยยึดตามเกณฑ์ มาตรฐานผลิตภัณฑ์อุตสาหกรรมกระเบื้องบุผนัง มอก. 613 - 2529 และ มอก. 614 - 2529 สูตร กระเบื้องสำหรับอ้างอิงดังกล่าว ประกอบไปด้วย แร่โซเดียมเฟล์ดสปาร์บดลํะเอียดขนาด 150 เมช 40% แร่ไฟฟิลลิต 10% หินผุ (Pottery stone) 20% ดินเหนียว (Ball clay) 20% และทราย บดลํะเอียด 10%
2. กำหนดสูตรทดลอง โดยแทนที่แร่โซเดียมเฟล์ดสปาร์ในสูตรกระเบื้องที่ใช้อ้างอิง ด้วยรังสิตเหลือทิ้งทั้ง 3 ประเภท ได้แก่ เศษแก้วชนิดโซดาไลม์ เศษแก้วชนิดโพโรซิลิกेट และガาก ตะกอนเคลือบพริต ในปริมาณ 50 และ 100 %โดยน้ำหนัก แสดงสูตรทดลอง และสูตรมวลสารที่ใช้อ้างอิงทั้งหมดจำนวน 7 สูตร ได้ดังตารางที่ 3.1 ดังนี้

ตารางที่ 3.1

สูตรกระเบื้องมาตรฐานที่ใช้อ้างอิง และสูตรกระเบื้องทดลองซึ่งใช้ของเลี้ยงประเภทต่างๆ
แทนที่แร่โซเดียมเฟล์ดสปาร์ในปริมาณ 50 และ 100% โดยน้ำหนัก

วัตถุดิบ	ชื่อสูตร / ส่วนประกอบ (%) โดยน้ำหนัก)						
	100F (สูตร อ้างอิง)	50F 50SLG	100SLG	50F 50BSG	100BSG	50F 50FGS	100FGS
แร่โซเดียมเฟล์ดสปาร์	40	20	-	20	-	20	-
เศษแก้วโซดาไลม์	-	20	40	-	-	-	-
เศษแก้วโพโรซิลิกेट	-	-	-	20	40	-	-
กากตะกอน เคลือบพริต	-	-	-	-	-	20	40
แร่ไฟฟิลลิต (Pyrophyllite)	10	10	10	10	10	10	10

วัตถุดิบ	ชีวสูตร / ส่วนประกอบ (%) โดยน้ำหนัก)						
	100F (สูตร อ้างอิง)	50F 50SLG	100SLG	50F 50BSG	100BSG	50F 50FGS	100FGS
หินผุ (Pottery stone)	20	20	20	20	20	20	20
ดินเหนียว (Ball clay)	20	20	20	20	20	20	20
ทรายปด (Milled sand)	10	10	10	10	10	10	10
รวม	100	100	100	100	100	100	100

หมายเหตุ: F = แอลูมิเนียมเฟล์ฟลาร์

SLG = เศษแก้วโซดาไลม์

BSG = เศษแก้วใบโพธิ์

FGS = กากตะกอนเคลือบฟิล์ม

3. การเตรียมชิ้นงานทดสอบ เริ่มด้วยทำการบดวัตถุดิบทุกตัวให้ละลายด้วยน้ำ ร่อนผ่านตะกรงเบอร์ 70 เมช (ขนาดรูเปิด 212 ไมครอน) และนำวัตถุดิบที่ผ่านตะกรงไปอบให้แห้งก่อนนำมาใช้

4. ชั้นน้ำหนักวัตถุดิบต่างๆ ตามส่วนผสมในแต่ละสูตร ดังแสดงในตารางที่ 3.1 เติมน้ำในปริมาณ 33-35% ($34\pm1\%$) ของน้ำหนักวัตถุดิบแห้งที่ใช้ ทำการบดผสมส่วนประกอบทั้งหมดเข้าด้วยกัน โดยใช้มีกอบชนิด Ball mill ชีงบุผนัง (Lining) ด้วยพอร์ซเลน และใช้ลูกบดชนิดอะลูมิเนียม (แสดงดังภาพที่ 3.9) บดผสมวัตถุดิบจนกระแทกได้ค่าความละเอียดที่ประมาณกากค้างตะกรงเบอร์ 200 เมช (75 ไมครอน) เท่ากับ 1.7-3.3% ($2.5\pm0.8\%$)

ภาพที่ 3.9
หม้อบด Ball mill ที่ใช้ในการทดลอง



ที่มา: ฝ่ายควบคุมคุณภาพ ห้างหุ้นส่วนจำกัด กระเบื้องไทย

5. ถ่ายรูปน้ำดินที่บดผสมเสร็จแล้วออกจากหม้อบด กรองน้ำดินที่ได้ผ่านตะกรงเบอร์ 100 เมช (150 ไมครอน) จากนั้นป้อนน้ำดินเข้าสู่เครื่องพ่นฟอยและอบแห้ง (Spray dryer) เพื่อผลิตเป็นเม็ดผงดิน แสดงดังภาพที่ 3.10 และ 3.11

ภาพที่ 3.10

เครื่องพ่นฝอยและอบแห้ง (Spray dryer) เพื่อผลิตเม็ดผงดินที่ใช้ในการทดลอง



ที่มา: ฝ่ายผลิตผงดิน ห้างหุ้นส่วนจำกัด กระเบื้องไทย

ภาพที่ 3.11

เม็ดผงดินที่ได้จากเครื่อง Spray dryer พร้อมนำไปอัดขึ้นรูป



ที่มา: ฝ่ายผลิตผงดิน ห้างหุ้นส่วนจำกัด กระเบื้องไทย

6. ปรับความชื้นของผงดินให้มีค่าความชื้นประมาณ 6-7% เพื่อให้สามารถขัดขี้นรูปชิ้นงานได้ทั้งไวอย่างน้อย 24 ชั่วโมง เพื่อให้ความชื้นของผงดินมีความสม่ำเสมอทั่วถึงกัน

7. นำผงดินที่ได้มาอัดให้เป็นแผ่นกระเบื้องขนาด $106 \times 106 \times 10.5$ มิลลิเมตร ด้วยเครื่องอัดไฮดรอลิกที่ค่ากำลังอัด 350 กิโลกรัมต่อตารางเซนติเมตร จากนั้นทำการวัดขนาดทั้งสี่ด้านของชิ้นงานที่ได้หลังการขันรูปในหน่วยมิลลิเมตร ภาพที่ 3.12 แสดงเครื่องอัดไฮดรอลิกสำหรับใช้ในการขันรูปแผ่นกระเบื้องเซรามิก

ภาพที่ 3.12

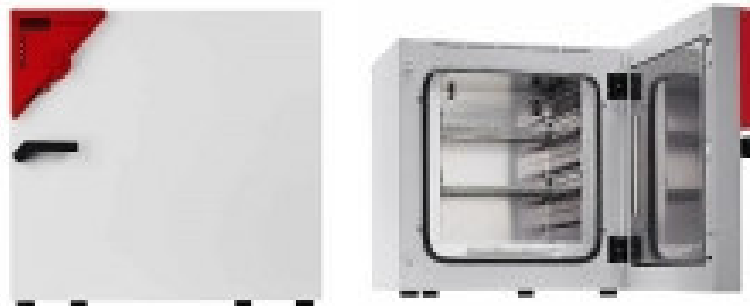
เครื่องอัดไฮดรอลิกสำหรับใช้ในการขันรูปแผ่นกระเบื้อง



ที่มา: ฝ่ายผลิต (อัดขี้นรูป) ห้างหุ้นส่วนจำกัด กระเบื้องไทย

8. อบชิ้นงานให้แห้งในเตาอบไฟฟ้าที่อุณหภูมิ 100°C เป็นเวลาอย่างน้อย 10 ชั่วโมง ก่อนนำไปเผาด้วยเตาไฟฟ้าที่อุณหภูมิ $1000, 1050, 1100$ และ 1125°C โดยใช้อัตราการให้ความร้อนที่ $3^{\circ}\text{C}/\text{นาที}$ และเผาแข็งไฟที่อุณหภูมิสูงสุด (Soaking time) เป็นเวลา 90 นาที ภาพที่ 3.13 และ 3.14 แสดงเตาอบ และเตาเผาไฟฟ้าที่ใช้ในการทดลอง

ภาพที่ 3.13
เตาอบไฟฟ้าที่ใช้ในการทดลอง



ที่มา: <http://www.ponpe.com/home/ตู้อบความร้อน.html>

ภาพที่ 3.14
เตาเผาไฟฟ้าที่ใช้ในการทดลอง



ที่มา: http://www.nabertherm.com/produkte/details/en/artscrafts_kammeroefen

9. เมื่อขึ้นงานออกจากเตาเผา ปล่อยให้เย็นตัวลง จากนั้นทำการตรวจสอบลักษณะทั่วไปของชิ้นงานที่ได้หลังเผา และทำการทดสอบสมบัติทางกายภาพต่างๆ ได้แก่ ค่าการหดตัวเชิงเส้น (Linear firing shrinkage) ตามวิธีการหดทดสอบในมาตรฐาน ASTM C 326-03 ค่าการดูดซึมน้ำ (Water absorption) ค่าความหนาแน่นทั้งก้อน (Bulk density) ตามวิธีการทดสอบใน มาตรฐาน ASTM C 373-88 (ASTM Standards, 2005) และค่าความบิดเบี้ยวของชิ้นงานหลังเผา (Warpage) ตามวิธีการทดสอบในมาตรฐานผลิตภัณฑ์อุตสาหกรรมกระเบื้องดินเผาเคลือบบุผนัง ภายใน มอก. 613-2529 (สำนักงานมาตรฐานผลิตภัณฑ์อุตสาหกรรม, 2543) และ มาตรฐาน ผลิตภัณฑ์อุตสาหกรรมกระเบื้องดินเผาบุผนังภายนอก มอก. 614-2529 (สำนักงานมาตรฐานผลิตภัณฑ์อุตสาหกรรม, 2529)

10. ทำการทดสอบสมบัติทางกลของชิ้นงานหลังเผา ได้แก่ ค่าความต้านทานแรงดัดแบบ Three-point bending strength ตามมาตรฐานผลิตภัณฑ์อุตสาหกรรมกระเบื้องดินเผาบุผนังภายนอก มอก. 614-2529 (สำนักงานมาตรฐานผลิตภัณฑ์อุตสาหกรรม, 2529)

11. เปรียบเทียบสมบัติทางกายภาพต่างๆ และสมบัติทางกลของชิ้นงานที่ได้หลังเผาระหว่างชิ้นงานสูตรมาตรฐานที่ใช้ร้องอิง และชิ้นงานที่ใช้วัสดุเหลือทิ้งทั้ง 3 ประเภทแทนที่แร่โซเดียมเฟล์ดสปาร์ เพื่อดูประสิทธิภาพในการเป็นตัวช่วยหลอมของวัสดุเหลือทิ้งแต่ละประเภท

12. ทำการทดลองของข้า โดยปรับเปลี่ยนปริมาณของการแทนที่แร่โซเดียมเฟล์ดสปาร์ ด้วยวัสดุเหลือทิ้งประเภทต่างๆ ในปริมาณที่จะเอียดมากขึ้น ได้แก่ การแทนที่ในปริมาณ 50, 60, 70 และ 80 % โดยน้ำหนัก เพื่อหาผลการทดลองที่ดีที่สุดต่อไป แสดงสูตรในการทดลองข้างต้นตารางที่ 3.2

ตรางที่ 3.2

สูตรกระเบื้องมาตรฐานที่ใช้อ้างอิง และสูตรกระเบื้องทดลองซึ่งใช้อ้างเสียประเภทต่างๆ

แทนที่แร่โซเดียมเฟล์ดสปาร์ในปริมาณ 50, 60, 70 และ 80 % โดยน้ำหนัก

13. คัดเลือกชิ้นงานสูตรที่ใช้รัศดุเหลือทึ้งแต่ละประเภทตัดแทนแร่โซเดียม เฟล์สปาร์ที่มีสมบัติทางกายภาพต่างๆ และสมบัติทางกลที่ดีที่สุด และผ่านตามเกณฑ์มาตรฐาน ผลิตภัณฑ์อุตสาหกรรม มอก. 613-2529 และ มอก. 614-2529 มาทำการวิเคราะห์สมบัติทาง ความร้อน วิเคราะห์องค์ประกอบทางเคมี และวิเคราะห์องค์ประกอบทางแร่ โดยทำการวัด เปรียบเทียบกันระหว่างสูตรกระเบื้องมาตรฐานที่ใช้อ้างอิงและสูตรกระเบื้องทดลองต่างๆ ที่ให้ผล หลังเผาที่ดี เพื่อเป็นประโยชน์ในการนำไปใช้งานจริงในอุตสาหกรรมการผลิตต่อไป

3.6 การวิเคราะห์ทดสอบสมบัติต่างๆ ของชิ้นงาน

3.6.1 การทดสอบสมบัติทางกายภาพของชิ้นงานหลังเผา

3.6.1.1 ค่าการหดตัวเชิงเส้น (Linear firing shrinkage)

ทำการทดสอบหาค่าการหดตัวเชิงเส้นของชิ้นงานหลังเผา ตามวิธีการทดสอบใน มาตรฐาน ASTM C 326-03 (ASTM Standards, 2005) ซึ่งทำได้โดยวัดขนาดของชิ้นงาน กระเบื้องก่อนและหลังการเผาทั้ง 4 ด้าน และหาค่าเฉลี่ย จากนั้นนำมาคำนวณเป็นค่าเปอร์เซ็นต์ การหดตัวเชิงเส้น ดังสมการที่ 3.1

$$S_f = \frac{L_d - L_f}{L_d} \times 100 \quad(3.1)$$

เมื่อ S_f คือ เปอร์เซ็นต์การหดตัวเชิงเส้นของชิ้นงานหลังการเผา (%)

L_d คือ ความยาวเฉลี่ยของชิ้นงานก่อนการเผา (มิลลิเมตร)

L_f คือ ความยาวเฉลี่ยของชิ้นงานหลังการเผา (มิลลิเมตร)

3.6.1.2 ค่าความหนาแน่นทั้งก้อน (Bulk density)

หากค่าความหนาแน่นแบบ Bulk density ของชิ้นงานหลังการเผา ตามวิธีการทดสอบ ในมาตรฐาน ASTM C 373-88 (ASTM Standards, 2005) ซึ่งทำได้โดยการขันน้ำหนัก และวัด ขนาดของชิ้นงานหลังการเผา ทั้ง 4 ด้านความกว้าง ยาว และสูง เพื่อนำมาคำนวณของชิ้นงาน จากนั้นนำมาคำนวณหาค่าความหนาแน่นของชิ้นงานหลังเผา ดังสมการที่ 3.2

$$D = \frac{M}{V} \quad \dots\dots(3.2)$$

- เมื่อ D คือ ค่าความหนาแน่นของชิ้นงานหลังเผา (กรัมต่อลูกบาศก์เซนติเมตร)
 M คือ น้ำหนักของชิ้นงานหลังเผา (กรัม)
 V คือ ปริมาตรของชิ้นงานหลังเผา (ลูกบาศก์เซนติเมตร)

3.6.1.3 ค่าการดูดซึมน้ำ (Water absorption)

หากค่าการดูดซึมน้ำของชิ้นงานจะระเบื้องหลังเผา ตามวิธีการทดสอบในมาตรฐาน ASTM C 373-88 (ASTM Standards, 2005) ซึ่งทำได้โดยชั่งน้ำหนักของชิ้นงานที่เย็นตัวแล้วหลังออกจากเตาเผา จากนั้นนำชิ้นงานไปตั้มในน้ำกลันให้เดือดเป็นเวลา 5 ชั่วโมง และแข็งชิ้นงานเหล่านั้นให้เย็นตัวในน้ำต่อไปอีก 24 ชั่วโมง ใช้ผ้าหมวดฯ ชับน้ำบริเวณผิวชิ้นงานออก ทำการชั่งน้ำหนักชิ้นงานเหล่านั้นอีกครั้งในทันที แล้วนำค่าที่ได้มาคำนวนหาค่าเปอร์เซ็นต์การดูดซึมน้ำของชิ้นงาน ดังสมการที่ 3.3

$$A = \frac{M - D}{D} \times 100 \quad \dots\dots(3.3)$$

- เมื่อ A คือ เปอร์เซ็นต์การดูดซึมน้ำของชิ้นงานหลังเผา (%)
 M คือ น้ำหนักของชิ้นงานหลังอุ่นตัวไปด้วยน้ำ (กรัม)
 D คือ น้ำหนักของชิ้นงานแห้ง (กรัม)

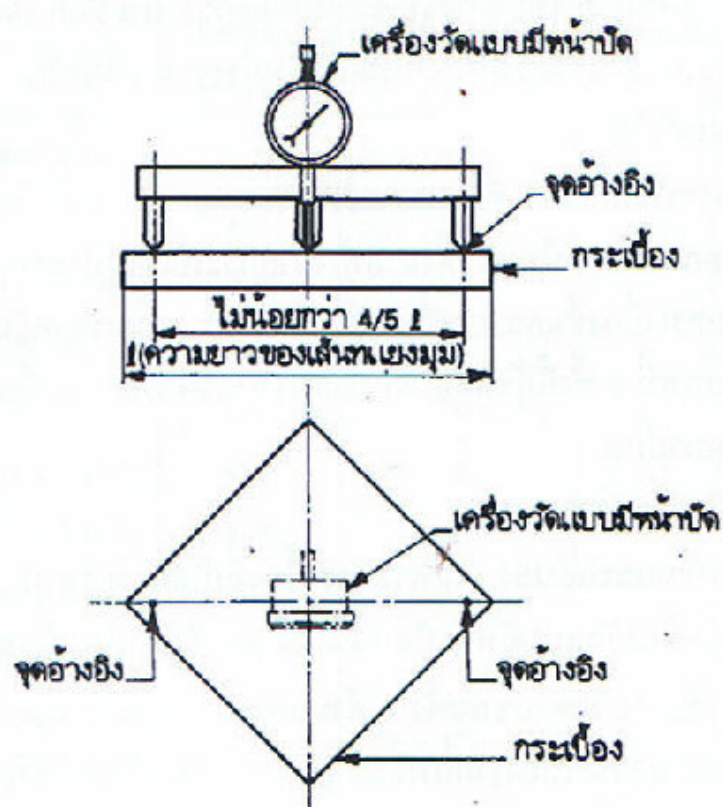
3.6.1.4 ค่าความบิดเบี้ยวของชิ้นงานหลังเผา (Warpage)

ทำการทดสอบค่าความบิดเบี้ยวตามแนวขอก และตามแนวเส้นทแยงมุมของชิ้นงานจะระเบื้องหลังผ่านการเผา ตามวิธีการทดสอบในมาตรฐานผลิตภัณฑ์อุตสาหกรรมจะระเบื้องดินเผาเคลือบบุผนังภายใน มอก. 613-2529 (สำนักงานมาตรฐานผลิตภัณฑ์อุตสาหกรรม, 2543) และ มาตรฐานผลิตภัณฑ์อุตสาหกรรมจะระเบื้องดินเผาบุผนังภายในนอก มอก. 614-2529 (สำนักงานมาตรฐานผลิตภัณฑ์อุตสาหกรรม, 2529) ซึ่งแบ่งออกเป็น 2 ประเภท และมีวิธีการทดสอบ ดังนี้

- การวัดความบิดเบี้ยวในลักษณะนูนขึ้นและแคนลง

ใช้เครื่องวัดแบบมีหน้าปัด (Dial gauge) ที่วัดได้ละเอียดถึง 0.05 มิลลิเมตร วัดตามขอบทั้ง 4 ด้าน และตามแนวเส้นที่แยงมุมทั้ง 2 เส้นของกระเบื้องรูปสี่เหลี่ยมมุมฉาก โดยจะยับระหว่างขาทั้งสองของเครื่องวัดต้องห่างกันไม่น้อยกว่า 4 ใน 5 ของความยาวจริงของเส้นที่วัด (แสดงดังภาพที่ 3.15) อ่านค่าที่จุดกึ่งกลางของเส้นตามแนวขอบและแนวเส้นที่แยงมุม แล้วรายงานความบิดเบี้ยวโดยใช้ค่าสูงสุด สำหรับกระเบื้องรูปอื่นๆ ให้วัดตามแนวแกนหลัก 2 แกน โดยใช้วิธีวัดเช่นเดียวกับกระเบื้องรูปสี่เหลี่ยมมุมฉาก และรายงานความบิดเบี้ยวโดยใช้ค่าสูงสุด

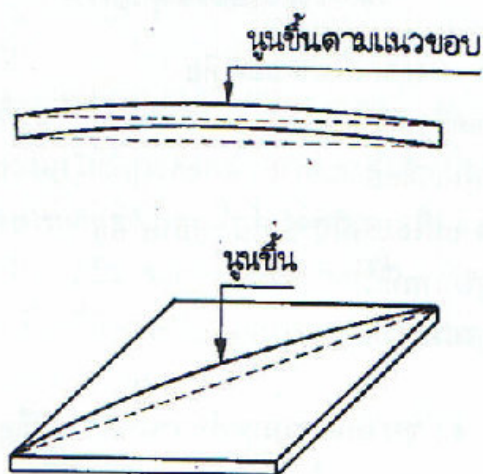
ภาพที่ 3.15
การวัดความบิดเบี้ยวในลักษณะนูนขึ้นและแคนลง



ที่มา: มาตรฐานผลิตภัณฑ์อุตสาหกรรม มอก. 613 และ 614-2529

ภาพที่ 3.16

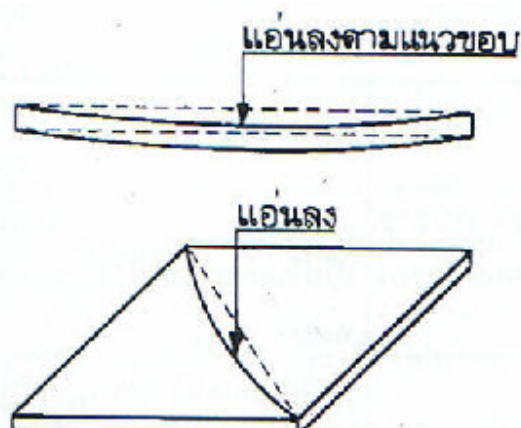
ภาพจำลองกระเบื้องในลักษณะนูนขึ้นตามแนวขอบและแนวเส้นทแยงมุม



ที่มา: มาตรฐานผลิตภัณฑ์อุตสาหกรรม มอก. 613 และ 614-2529

ภาพที่ 3.17

ภาพจำลองกระเบื้องในลักษณะเอนลงตามแนวขอบและแนวเส้นทแยงมุม

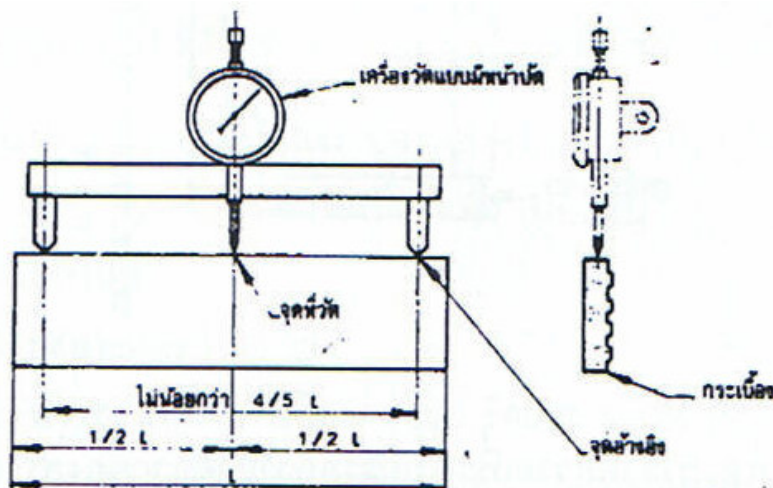


ที่มา: มาตรฐานผลิตภัณฑ์อุตสาหกรรม มอก. 613 และ 614-2529

- การวัดความบิดเบี้ยวในลักษณะโค้งออกและเว้าเข้า

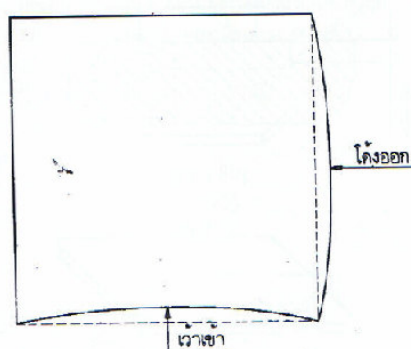
ใช้เครื่องวัดชนิดเดียวกับข้างต้น วัดตามแนวแนวนอนของกระเบื้องทางด้านยาวทั้งสองด้านไม่น้อยกว่า 4 ใน 5 ของความยาวจริงของขอบที่วัด (ดังภาพที่ 3.18) ข่านค่าที่จุดกึ่งกลางของขอบ และรายงานความบิดเบี้ยวโดยใช้ค่าที่สูงสุด

ภาพที่ 3.18
การวัดความบิดเบี้ยวในลักษณะโค้งออกและเว้าเข้า



ที่มา: มาตรฐานผลิตภัณฑ์อุตสาหกรรม มอก. 613 และ 614-2529

ภาพที่ 3.19
ภาพจำลองกระเบื้องในลักษณะโค้งออกและเว้าเข้าตามแนวขอบ



ที่มา: มาตรฐานผลิตภัณฑ์อุตสาหกรรม มอก. 613 และ 614-2529

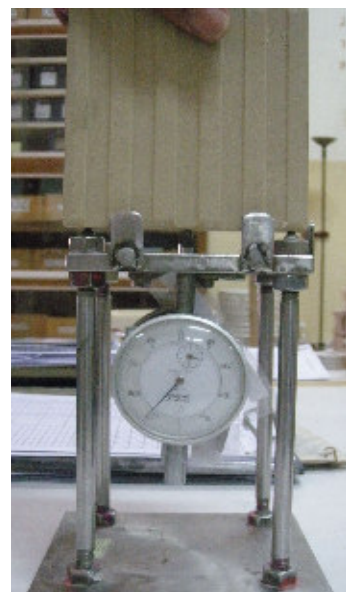
ภาพที่ 3.20

เครื่องวัดความบิดเบี้ยวของกระเบื้องที่ใช้ในการทดสอบ

(ก) การวัดในลักษณะนูนขึ้นและแยกลง (ข) การวัดในลักษณะโค้งออกและเว้าเข้า



(ก)



(ข)

ที่มา: ฝ่ายควบคุมคุณภาพ ห้างหุ้นส่วนจำกัด กระเบื้องไทย

3.6.2 การทดสอบสมบัติทางกลของชิ้นงานหลังเผา

ทำการทดสอบสมบัติทางกลของชิ้นงานหลังเผา ได้แก่ ค่าความต้านทานแรงดึงแบบ Three-point bending strength ตามมาตรฐานผลิตภัณฑ์อุตสาหกรรมกระเบื้องดินเผาบุญจง ภายนอก มอก. 614-2529 (สำนักงานมาตรฐานผลิตภัณฑ์อุตสาหกรรม, 2529) มีวิธีการทดสอบดังต่อไปนี้

- 1) ยึดที่ร่องรับชิ้นเป็นแท่งเหล็กขนาดเส้นผ่านศูนย์กลางไม่น้อยกว่า 9 มิลลิเมตร 2 แท่ง ให้มั่นคงอยู่ในแนวอนและนานกัน โดยให้แนวแกนของแท่งเหล็กหักงองห่างกันไม่น้อยกว่า 90 มิลลิเมตร

2) วัสดุระเบื้องบนที่รองรับให้ด้านยาวตั้งฉากกับแนวแกนของที่รองรับ และจัดวางเท่งเหล็กขนาดเดียวกันกับข้อ 1) ซึ่งใช้เป็นที่ให้แรงกด ให้อยู่กึ่งกลางระหว่างที่รองรับ ดังแสดงในภาพที่ 3.21

3) ที่จุดรองรับ และที่จุดรับแรงกดของกระเบื้อง ให้รองด้วยแผ่นยางที่มีค่าความแข็ง 60 ถึง 70 IRHD หนาประมาณ 3 มิลลิเมตร ยางติดต่อแน่นกระเบื้องเพื่อให้เกิดการกระจายแรงอย่างสม่ำเสมอ

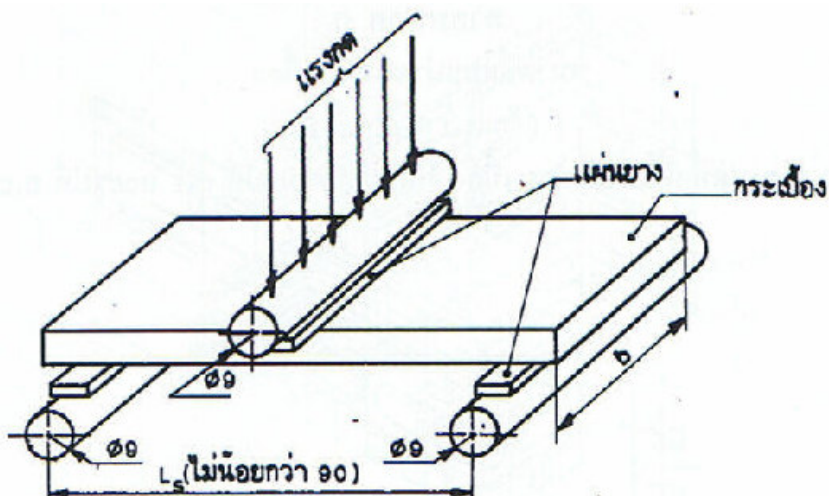
หมายเหตุ: IRHD หรือ International Rubber Hardness Degrees เป็นหน่วยที่ใช้บ่งบอกค่าระดับความแข็งของวัสดุยางหรือวัสดุที่ยืดหยุ่นได้ ค่าความแข็งนี้จะสัมพันธ์กับค่าแรงกด และความลึกของรอยกดที่ปรากฏบนวัสดุทดสอบ โดยหัวกดที่ใช้มีรูปร่างทรงกลม ค่า IRHD ที่เท่ากับ 0 จะเป็นตัวแทนของวัสดุที่มีค่า Young's Modulus เป็นศูนย์ และค่า IRHD เท่ากับ 100 หมายถึงวัสดุที่มีค่า Young's Modulus เป็นอนันต์

(http://www.ides.com/property_descriptions/ASTMD1415.asp, สืบค้น 16 พ.ค. 53)

4) ในกรณีที่เป็นกระเบื้องรูปสี่เหลี่ยมจตุรัส ถ้าทราบแกนที่เป็นจุดอ่อน ให้ใช้แกนนั้นเป็นแกนทดสอบ

ภาพที่ 3.21

การทดสอบความต้านทานแรงดัดแบบ Three-point bending strength



ที่มา: มาตรฐานผลิตภัณฑ์อุตสาหกรรม มอก. 614-2529

- 5) เพิ่มแรงลงบนที่กดให้แรงกระจาดอย่างสม่ำเสมอตลอดแกนของที่กดนั้น โดยควบคุมอัตราการเพิ่มแรงให้ได้ประมาณ 60 นิวตันต่อตารางเซนติเมตร ภายในเวลา 30 วินาที
- 6) วัดแรงกดสูงสุด ก่อนกระเบื้องที่ทดสอบแตก
- 7) หากค่าความหนาเฉลี่ยของกระเบื้องตรงรอยแตก ทำการวัดต้องกระทำไม่น้อยกว่า 2 จุด
- 8) คำนวณหาค่าความต้านทานแรงดัด จากสมการ

$$B = \frac{3P_{\max} L_s}{2a^2 b} \quad \dots\dots(3.4)$$

เมื่อ	B	คือ ความต้านทานแรงดัด (เมกะปаскаล)
	P_{\max}	คือ แรงกดสูงสุด (นิวตัน)
	L_s	คือ ระยะห่างของแนวแกนที่รองรับ (มิลลิเมตร)
	a	ค่าความหนาเฉลี่ยตรงรอยแตกของกระเบื้อง (มิลลิเมตร)
	b	ค่าความกว้างหรือความยาวของกระเบื้อง (มิลลิเมตร)

ภาพที่ 3.22
เครื่องวัดความต้านทานแรงดัดที่ใช้ในการทดสอบ



ที่มา: ฝ่ายควบคุมคุณภาพ ห้างหุ้นส่วนจำกัด กระเบื้องไทย

3.6.3 การทดสอบสมบัติทางความร้อน

ทำการทดสอบหาค่าการขยายตัวและหดตัวของชิ้นงานในระหว่างกระบวนการให้ความร้อนแก่ชิ้นงานไปเรื่อยๆ ซึ่งในการทดสอบนี้ใช้อุณหภูมิห้องไปจนถึง $1,100^{\circ}\text{C}$ เพื่อปั่งบวกถึงประสิทธิภาพในการลดลงตัวขณะทำการเผาของเนื้อดินกระเบื้องทดลองแต่ละสูตรเปรียบเทียบกับกระเบื้องสูตรมาตรฐาน รวมถึงหาค่าสัมประสิทธิ์การขยายตัวทางความร้อนเชิงเส้น (Coefficient of linear thermal expansion, CTE) ของชิ้นงานในระหว่างการเผาจากอุณหภูมิ $30 - 600^{\circ}\text{C}$ เพื่อให้ทราบค่าการขยายตัวของเนื้อดินกระเบื้องระหว่างทำการเผาที่อุณหภูมนี้ ซึ่งจะเป็นประโยชน์สำหรับการนำเนื้อดินเหล่านี้ไปประยุกต์ใช้กับสูตรเคลือบเซรามิกต่างๆ ต่อไป โดยสูตรเคลือบกับสูตรเนื้อดินเซรามิกจะต้องมีค่าการขยายตัวที่สัมพันธ์กันในระหว่างการเผา หากมีความแตกต่างมากจะเป็นสาเหตุทำให้เกิดตำหนิต่างๆ บนผลิตภัณฑ์หลังเผาได้ เช่น ตำหนิเคลือบรวม หรือเคลือบร่อง เป็นต้น

การวัดค่าสัมประสิทธิ์การขยายตัวทางความร้อนเชิงเส้นนี้ เป็นการวัดค่าความยาวของชิ้นงานที่เปลี่ยนแปลงไปเทียบกับค่าความยาวเริ่มต้น ในระหว่างการให้ความร้อนแก่ชิ้นงานจากอุณหภูมิหนึ่งไปยังอีกอุณหภูมิหนึ่ง ดังแสดงในสมการที่ 3.5

$$\alpha(T_2, T_1) = \frac{\left[\frac{dL}{L_0} \right]_{T_2} - \left[\frac{dL}{L_0} \right]_{T_1}}{T_2 - T_1} \quad \dots\dots(3.5)$$

เมื่อ	α	ค่าสัมประสิทธิ์การขยายตัวทางความร้อนเชิงเส้นจากช่วง
		อุณหภูมิ T_1 ถึง T_2 ($^{\circ}\text{C}$)
L_0		คือ ความยาวเริ่มต้นของชิ้นงานที่อุณหภูมิห้อง (มิลลิเมตร)
dL/L_0		คือ ความยาวของชิ้นงานที่เปลี่ยนแปลงไปเทียบกับค่าความยาวเริ่มต้น (ไม่มีหน่วย)
T_1		คือ อุณหภูมิเริ่มต้นที่ต้องการวัด ($^{\circ}\text{C}$)
T_2		คือ อุณหภูมิสุดท้ายที่ต้องการวัด ($^{\circ}\text{C}$)

การทดสอบดังกล่าวปฏิบัติตามวิธีการในมาตรฐาน ASTM C 372 – 94 (ASTM Standards, 2005) ซึ่งเตรียมชิ้นทดสอบเป็นแท่งกลมหรือแท่งเหลี่ยม ขนาดเส้นผ่านศูนย์กลาง หรือความหนาประมาณ 5 มิลลิเมตร ยาวประมาณ 25-28 มิลลิเมตร ทำการทดสอบในสภาวะการเผาแบบใช้อากาศปกติ (Static air) อัตราการให้ความร้อน (Heating rate) และอัตราการเย็นตัว (Cooling rate) เท่ากับ $3^{\circ}\text{C}/\text{นาที}$ เครื่องมือที่ใช้ในการทดสอบเรียกว่า Dilatometer และแสดงดังภาพที่ 3.23 ซึ่งในงานวิจัยนี้ใช้เครื่องมือของห้องปฏิบัติการวิเคราะห์ทดสอบผลิตภัณฑ์กระเบื้องเซรามิก ศูนย์เทคโนโลยีโลหะและวัสดุแห่งชาติ ยี่ห้อ Netzsch รุ่น DIL 402 PC

ภาพที่ 3.23

เครื่องวัดค่าการขยายตัวและทดสอบความร้อน (Dilatometer)



ที่มา: <http://www.netzschi-thermal-analysis.com/en/products/detail/pid,15.html>

3.6.4 การวิเคราะห์องค์ประกอบทางเคมี (Chemical Composition Analysis)

ทำการวิเคราะห์ทางองค์ประกอบทางเคมีของสูตรเนื้อดินกรະเบื้องที่เตรียมจากการทดลองแร่โซเดียมเพล็สปาร์ด้วยวัสดุเหลือทิ้งประเภทต่างๆ และเนื้อดินกรະเบื้องสูตรมาตราฐานโดยใช้เทคนิค X-ray fluorescence (XRF) เพื่อศึกษาทางองค์ประกอบออกไซด์ของธาตุต่างๆ ที่มีอยู่ในสูตรเนื้อดินเหล่านั้น ประยุบเทียบกันระหว่างสูตรทดลอง และสูตรมาตรฐานที่ใช้ข้างต้น โดยทำการทดสอบที่ห้องปฏิบัติการเอ็กซ์เรย์ดิฟแฟรากชันและเอ็กซ์เรย์ฟลูออเรสเซนซ์ของศูนย์เทคโนโลยีโลหะและวัสดุแห่งชาติ เครื่องมือที่ใช้วิเคราะห์เป็นยี่ห้อ Philips รุ่น PW-2404 (แสดงดังภาพที่ 3.6 ในข้างต้น) และสำหรับการทดสอบสูตรเนื้อดินกรະเบื้องที่มีเศษแก้วใบไวนิลเกตเป็นส่วนผสม ใช้การวิเคราะห์ที่ห้องปฏิบัติการของกรมวิทยาศาสตร์บริการ เครื่องมือที่ใช้เป็นยี่ห้อ Bruker รุ่น S8 Tiger แสดงดังภาพที่ 3.24 ทั้งนี้เนื่องจากเครื่องวิเคราะห์ X-ray fluorescence ของศูนย์เทคโนโลยีโลหะและวัสดุแห่งชาติ มีข้อจำกัดที่ไม่สามารถวิเคราะห์ออกไซด์ของธาตุเบรอน (B_2O_3) ที่มีอยู่ในเศษแก้วใบไวนิลเกตได้

ภาพที่ 3.24

เครื่องวิเคราะห์องค์ประกอบทางเคมี X-ray fluorescence spectrometer (XRF)



ที่มา: <http://www.mining-technology.com/contractors/analysis/bruker-axs2/bruker-axs2.html>

3.6.5 การวิเคราะห์องค์ประกอบทางแร่ (Mineralogical Composition Analysis)

ทำการศึกษาวิเคราะห์องค์ประกอบทางแร่ ของชิ้นงานกระเบื้องหลังเพาแต่ละสูตร เปรียบเทียบกันระหว่างสูตรที่ใช้วัสดุเหลือทิ้งประเภทต่างๆ ทดสอบแร่โดยเดียมเฟล์ด์สปาร์ และสูตรกระเบื้องมาตรฐานที่ใช้อ้างอิง ด้วยเทคนิค X-ray diffraction (XRD) เพื่อศึกษาถึงเฟสที่เกิดขึ้นหลังกระบวนการเผาของชิ้นงานกระเบื้องในแต่ละสูตร โดยทำการทดสอบที่ห้องปฏิบัติการเอ็กซ์เรย์ดิฟแทรกชันและเอ็กซ์เรย์ฟลูออเรสเซนส์ ของศูนย์เทคโนโลยีโลหะและวัสดุแห่งชาติ เครื่องที่ใช้เป็นยี่ห้อ JEOL รุ่น JDX-3530 และวิเคราะห์ผลโดยใช้โปรแกรม MDI Jade 6.5 แสดงดังภาพที่ 3.25 การเตรียมตัวอย่างทำโดยตัดชิ้นงานกระเบื้องหลังเพาเป็นชิ้นสี่เหลี่ยมเล็กๆ ขนาด 1.5×1.5 เซนติเมตร และทำการทดสอบในช่วงมุม 2θ ตั้งแต่ 10° ถึง 70° โดยใช้ Step angle เท่ากับ 0.04° , Count time เท่ากับ 1.00 วินาที, Tube voltage เท่ากับ 30 kV และ Tube current เท่ากับ 40 mA

ภาพที่ 3.25

เครื่องวิเคราะห์องค์ประกอบทางแร่ X-ray diffraction (XRD)



ที่มา: http://www.pwri.go.jp/team/tishitsu/apparatus_e.htm

บทที่ 4

ผลของการวิจัยและอภิปรายผล

4.1 ผลการทดสอบการหลอมตัวของวัตถุดิบประเภทตัวช่วยหลอมในเบื้องต้น (Fusion Test)

การทดสอบการหลอมตัวของวัตถุดิบประเภทตัวช่วยหลอมที่นำมาใช้ในการทดลองในเบื้องต้น ทำได้โดยการอัดผงวัตถุดิบต่างๆ เป็นรูปโคน แล้วนำเข้าเผาที่อุณหภูมิเดียวกัน ซึ่งในการทดลองนี้ใช้อุณหภูมิ $1,125^{\circ}\text{C}$ ซึ่งเป็นอุณหภูมิที่ทำการเผาผลิตภัณฑ์จริงของห้างหุ้นส่วนจำกัดกระเบื้องไทย ดังได้กล่าวมาแล้วในบทที่ 3

การทำการทดสอบดังกล่าว ทำเพื่อเป็นการประเมินในเบื้องต้นว่าวัตถุดิบที่นำมาใช้ในแต่ละประเภท ซึ่งรวมถึงวัสดุเหลือทิ้งที่ทดลองนำมาใช้เป็นตัวช่วยหลอม วัตถุดิบชนิดใดจะมีประสิทธิภาพในการหลอมตัวที่อุณหภูมิเดียวกันได้ดีกว่ากัน โดยดูจากลักษณะของชิ้นทดสอบรูปโคนที่หลอมสั้นลงมา หรือแผ่กว้างออก แสดงลักษณะของชิ้นทดสอบหลังเผา และผลการทดสอบได้ดังตารางที่ 4.1

ตารางที่ 4.1

ผลการทดสอบการหลอมตัวของวัตถุดิบประเภทตัวช่วยหลอมในเบื้องต้น
ที่อุณหภูมิเผา $1,125^{\circ}\text{C}$

ชื่อวัตถุดิบ	ลักษณะการหลอมตัวหลังเผา	
เศษแก้วโซดาไอล์ฟ		

ชื่อวัตถุดิบ	ลักษณะการหลอมตัวหลังเผา
ากตะกอนเคลือบฟริต	
เศษแก้วใบโพธิ์ซิลิกेट	
แร่โซเดียมเพล็ทสปาร์	

จากการทดสอบ Fusion Test เพื่อเปรียบเทียบดูประสิทธิภาพในการหลอมตัวของวัตถุดิบแต่ละประเภทที่นำมาใช้เป็นตัวช่วยหลอมในงานวิจัยนี้ พบว่า วัตถุดิบประเภทวัสดุเหลือทิ้งทั้ง 3 ตัว มีประสิทธิภาพในการหลอมตัวที่อุณหภูมิเผา $1,125^{\circ}\text{C}$ ได้ดีกว่าแร่โซเดียมเพล็ทสปาร์ ซึ่งเป็นวัตถุดิบจากธรรมชาติที่โรงงานใช้เป็นตัวช่วยหลอมในกระบวนการผลิตกระเบื้องจวีง โดยสามารถเรียงลำดับการหลอมตัวของวัตถุดิบต่างๆ จากหลอมตัวมากไปน้อยได้ดังนี้ เศษแก้วโซดาไลม์ > ากตะกอนเคลือบฟริต > เศษแก้วใบโพธิ์ซิลิกेट > แร่โซเดียมเพล็ทสปาร์ โดยจากภาพพบว่า เศษแก้วใบโพธิ์ซิลิกेट และากตะกอนเคลือบฟริต มีความสามารถในการหลอมตัวได้ใกล้เคียงกัน

4.2 ผลการวิเคราะห์องค์ประกอบทางเคมีของวัตถุดิบประเภทตัวช่วยหลอม

การวิเคราะห์ทางเคมีของวัตถุดิบประเภทตัวช่วยหลอมต่างๆ ที่นำมาใช้ในงานวิจัยด้วยเทคนิคเอกซ์เรย์ฟลูออเรสเซนส์ (XRF) นั้น ทำเพื่อเป็นการเบรียบเทียบและตรวจสอบว่าวัตถุดิบต่างๆ ที่นำมาใช้มีองค์ประกอบออกไซด์ของธาตุหมู่ 1 และหมู่ 2 รวมถึงสารประกอบ B_2O_3 และ PbO ซึ่งมีคุณสมบัติเป็นตัวช่วยหลอม (Fluxing agent) ในกระบวนการเผาผลิตภัณฑ์เซรามิกอยู่หรือไม่ และมีปริมาณมากน้อยเพียงใด ตามที่ได้กล่าวมาแล้วในบทที่ 2 โดยผลการวิเคราะห์ที่ได้แสดงดังตารางที่ 4.2

ตารางที่ 4.2

ผลการวิเคราะห์องค์ประกอบทางเคมีของวัตถุดิบประเภทตัวช่วยหลอมต่างๆ
ด้วยเทคนิคเอกซ์เรย์ฟลูออเรสเซนส์ (XRF)

องค์ประกอบ ออกไซด์ของธาตุ	วัตถุดิบ / องค์ประกอบทางเคมี (%) โดยน้ำหนัก			
	เศษแก้ว โซดาไลม์	เศษแก้ว ใบไตริลิกेट	กากตะกอน เคลือบพริต	แร่โซเดียม เฟล์ดสปาร์
SiO_2	70.84	78.40	51.84	61.69
Al_2O_3	1.12	2.13	10.00	18.95
B_2O_3	N/A	14.36	N/A	N/A
Na_2O	13.40	4.88	4.57	7.10
K_2O	0.23	0.08	3.28	1.08
MgO	4.16	N/A	0.40	3.45
CaO	8.89	N/A	8.80	4.91
SrO	N/A	N/A	0.01	0.06
BaO	0.19	N/A	1.26	N/A
PbO	N/A	N/A	5.27	N/A
TiO_2	0.20	N/A	0.20	0.69
Fe_2O_3	0.48	0.04	0.64	0.89
ZrO_2	0.02	N/A	9.14	0.07

องค์ประกอบ ออกไซด์ของธาตุ	วัตถุดิบ / องค์ประกอบทางเคมี (%) โดยน้ำหนัก			
	เซซแแก้ว โซดาไลม์	เซซแแก้ว ไบโรชิลิกेट	กากตะกอน เคลือบพริต	แร่โซเดียม เฟล์ดสปาร์
Cr_2O_3	0.02	N/A	0.32	N/A
ZnO	N/A	N/A	3.29	N/A
P_2O_5	N/A	N/A	0.13	0.43
Co_3O_4	N/A	N/A	0.28	N/A
MnO	N/A	N/A	0.16	N/A
อื่นๆ	0.45	0.11	0.20	N/A
ปริมาณฟลักซ์จาก ออกไซด์ของธาตุ หมู่ 1 และ 2	26.87	4.96	18.32	16.60
ปริมาณฟลักซ์จาก B_2O_3	-	14.36	-	-
ปริมาณฟลักซ์จาก PbO	-	-	5.27	-
ปริมาณฟลักซ์รวม	26.87	19.32	23.59	16.60

หมายเหตุ: N/A หมายถึง ไม่มีออกไซด์ของธาตุเหล่านี้เป็นองค์ประกอบอยู่เลย หรือมีใน

ปริมาณน้อยมากซึ่งเครื่องไม่สามารถตรวจจับได้

จากการวิเคราะห์องค์ประกอบทางเคมีของวัตถุดิบต่างๆ ในตารางข้างต้น พบร่วมกันว่า เกร็ซเดียมเฟล์ดสปาร์ และวัสดุเหลือทิ้งทุกประเภทมีสารประกอบออกไซด์ของธาตุหมู่ 1 และหมู่ 2 (อัลคาไล และอัลคาไลน์เออร์) ประกอบอยู่ด้วยทั้งสิ้น ได้แก่ Na_2O , K_2O , MgO , CaO , SrO และ BaO ในปริมาณมากน้อยแตกต่างกันไป สำหรับสารประกอบไบโรนออกไซด์ (B_2O_3) ซึ่งมีอยู่เฉพาะในเซซแแก้วไบโรชิลิกेट และสารประกอบออกไซด์ของตะกั่ว (PbO) ที่มีอยู่ในกากตะกอนเคลือบพริตนั้น ถึงแม้จะไม่ใช่สารประกอบออกไซด์ของธาตุหมู่ 1 และหมู่ 2 แต่ก็ถือได้ว่าเป็นตัวช่วยหลอมในทางเชร์วามิกด้วยเช่นเดียวกัน ทั้งนี้เนื่องจากสารประกอบทั้งสองมีจุดหลอมเหลวของตัวเองที่ต่ำมาก โดย B_2O_3 มีจุดหลอมเหลวที่ 455°C และ PbO มีจุดหลอมเหลวที่ 500°C จึงใช้เป็นตัวช่วยหลอมในทางเชร์วามิกได้ นอกจากนี้จากสารประกอบจำพวกอัลคาไล และอัลคาไลน์เออร์ (SACMI, 2002)

จากผลการวิเคราะห์พบว่า เมื่อคิดปริมาณฟลักซ์โดยรวมของวัตถุดิบแต่ละประเภทแล้ว เศษแก้วโซดาไอล์มีปริมาณฟลักซ์โดยรวมอยู่มากที่สุด คิดเป็นปริมาณ 26.87% รองลงมาได้แก่ กากตะกอนเคลือบพริต ที่มีอยู่ในปริมาณ 23.59% ลำดับต่อมาคือ เศษแก้วใบโซลิเกต ซึ่งมีอยู่ในปริมาณ 19.32% และแล้วโซเดียมเฟล์สปาร์มีปริมาณฟลักซ์โดยรวมอยู่ในตัวน้อยที่สุดเท่ากับ 16.60% ดังนั้นจึงเรียงลำดับปริมาณฟลักซ์โดยรวมที่มีอยู่ในวัตถุดิบแต่ละประเภทที่นำมาใช้เป็นตัวช่วยหลอมในงานวิจัยนี้ ตามลำดับจากมากไปหาน้อยได้ดังนี้ เศษแก้วโซดาไอล์ม > กากตะกอนเคลือบพริต > เศษแก้วใบโซลิเกต > แวร์โซเดียมเฟล์สปาร์ ซึ่งพบว่า ผลที่ได้มีความสอดคล้องกับผลการทดลองหลอมวัตถุดิบแต่ละประเภทในรูปโคน เพื่อคุณภาพการหลอมตัวในเบื้องต้น (Fusion Test) ตามที่ได้กล่าวมาแล้วในหัวข้อที่ 4.1

จากผลการทดสอบพบว่า กากตะกอนเคลือบพริตมีองค์ประกอบออกไซด์ของตะกั่ว (PbO) อยู่ในปริมาณที่ค่อนข้างมาก (5.27%) จึงให้คุณสมบัติเป็นตัวช่วยหลอมที่ดี ซึ่งโดยปกติแล้ว ตะกั่วถือได้วาเป็นตัวช่วยหลอมที่มีประสิทธิภาพมากในการใช้งานทางเซรามิก เนื่องจากมีจุดหลอมเหลวที่ต่ำ แต่ไม่นิยมใช้เนื่องจากมีความเป็นอันตรายแก่ผู้ปฏิบัติงาน และผู้บริโภคสำหรับผลิตภัณฑ์ประเภทเครื่องใช้บนโต๊ะอาหาร แต่สำหรับโรงงานผลิตกระเบื้องเซรามิกนั้น มักนิยมใช้เพื่อช่วยลดอุณหภูมิในการเผาเคลือบ และยังสามารถเพิ่มความแควร์ไว้ให้กับเคลือบเซรามิกได้ด้วย โดยจะใช้ในรูปของพริตตะกั่ว ซึ่งเป็นวัตถุดิบที่ผ่านการหลอมให้เป็นเกล็กมาแล้ว โดยตะกั่จะถูกหลอมรวมตัวกับโซลิเกต และออกไซด์ตัวอื่นๆ ทำให้มีสามารถระเหยหรือละลายน้ำได้อีก จึงไม่เป็นอันตรายแก่ผู้ปฏิบัติงานในขณะทำการบดผสมรวมกับวัตถุดิบตัวอื่นๆ ดังที่ได้เคยอธิบายวัตถุประสงค์และข้อดีของการทำพริตมาแล้วในบทที่ 2

4.3 ผลการทดสอบสมบัติทางกายภาพของชิ้นงานหลังเผา

การทดสอบสมบัติทางกายภาพของชิ้นงานหลังเผา สามารถใช้เป็นตัวบ่งชี้ถึงประสิทธิภาพในการหลอมตัวของวัตถุดิบต่างๆ ที่นำมาใช้เป็นส่วนประกอบของผลิตภัณฑ์ และเป็นการบ่งบอกถึงคุณภาพของผลิตภัณฑ์หลังการเผาได้อีกด้วย ซึ่งโดยทั่วไปสมบัติทางกายภาพของผลิตภัณฑ์หลังการเผา ต้องควบคุมให้อยู่ในเกณฑ์ที่ยอมรับได้ตามมาตรฐานสากล เช่น สำหรับประเทศไทยต้องผ่านตามเกณฑ์มาตรฐานผลิตภัณฑ์อุตสาหกรรม (มอก.) หรือสำหรับผลิตภัณฑ์ที่ส่งออกไปยังต่างประเทศจะต้องผ่านตามเกณฑ์มาตรฐานของกลุ่มประเทศนั้น เช่น มาตรฐาน ISO หรือ EN เป็นต้น สำหรับในงานวิจัยนี้ จะยึดตามเกณฑ์

มาตรฐานผลิตภัณฑ์อุตสาหกรรมกระเบื้องบุผนังภายในและภายนอกอาคาร (มอก. 613-2529 และ มอก. 614-2529) โดยการทดสอบสมบัติทางกายภาพของผลิตภัณฑ์กระเบื้องที่ต้องควบคุมให้ผ่านตามเกณฑ์มาตรฐานนั้น ได้แก่ ค่าการดูดซึมน้ำ และค่าความบิดเบี้ยวของชิ้นงานหลังการเผา สำหรับค่าการทดสอบตัวเชิงเส้น และค่าความหนาแน่นของชิ้นงาน ถึงแม้เป็นคุณสมบัติที่ไม่มีข้อกำหนดตามเกณฑ์มาตรฐานที่ต้องทดสอบ แต่نيยมกระทำเพื่อนำผลวิเคราะห์ที่ได้มาเป็นข้อมูลประกอบ และพิจารณาว่ามีกันกับสมบัติทางกายภาพอื่นๆ เพื่อให้ได้ผลการทดสอบที่ถูกต้องและน่าเชื่อถือมากยิ่งขึ้น

ในงานวิจัยนี้ได้ทำการทดลองเป็นจำนวน 2 ครั้ง ตามที่ได้กล่าวมาแล้วในขั้นตอนดำเนินงานวิจัยในบทที่ 3 กล่าวคือ ครั้งที่ 1 ทำการทดสอบโดยแทนที่แร่โซเดียมเฟล์สปาร์ในสูตรกระเบื้องมาตรฐานด้วยวัสดุเหลือทิ้งประเภทต่างๆ ในปริมาณ 50 และ 100% โดยน้ำหนัก และจากผลในครั้งที่ 1 ได้ทำการทดลองซ้ำเป็นครั้งที่ 2 เพื่อศึกษาผลในระดับที่ละเอียดมากขึ้น โดยทำการแทนที่แร่โซเดียมเฟล์สปาร์ในสูตรกระเบื้องมาตรฐานด้วยวัสดุเหลือทิ้งประเภทต่างๆ ในปริมาณ 50 60 70 และ 80% โดยน้ำหนัก ทั้งนี้เนื่องจากผลการทดลองในครั้งที่ 1 พบว่า กระเบื้องที่ใช้วัสดุเหลือทิ้งทั้ง 3 ประเภททดสอบแร่โซเดียมเฟล์สปาร์ในปริมาณ 100% โดยน้ำหนักนั้น มีผลการทดสอบค่าความบิดเบี้ยวของชิ้นงานหลังเผา ไม่ผ่านตามเกณฑ์มาตรฐานผลิตภัณฑ์อุตสาหกรรม มอก. 613-2529 และ มอก. 614-2529 ดังนั้น จึงได้ทำการทดลองซ้ำโดยปรับเปลี่ยนปริมาณการแทนที่แร่โซเดียมเฟล์สปาร์ด้วยวัสดุเหลือทิ้งประเภทต่างๆ ในปริมาณที่ลดลง ตั้งแต่ 50 – 80% โดยน้ำหนัก ตั้งที่ได้กล่าวมาแล้ว ผลการวิเคราะห์ทดสอบสมบัติทางกายภาพต่างๆ ทั้งหมดแสดงดังต่อไปนี้

4.3.1 ผลการทดสอบการทดสอบตัวเชิงเส้น

การทดสอบตัวของชิ้นงานหลังผ่านกระบวนการเผาบ่อบอกถึงความทนไฟ และความสูงตัวของเนื้อดินที่ใช้ (ไฟจิตรา อิงค์ริวัณ์, 2541) ซึ่งสามารถป้องกันประสีฟิกภาพในการหลอมตัวของวัตถุดิบประเภทตัวช่วยหลอมที่นำมาใช้ในส่วนผสมได้ด้วย สำหรับชิ้นงานหลังเผาที่มีเปอร์เซ็นต์การทดสอบตัวเชิงเส้นที่มากกว่า แสดงว่ามีการหลอมตัวที่มากกว่าด้วย ผลการทดสอบการทดสอบตัวเชิงเส้นหลังเผาของชิ้นงานทดลองสูตรต่างๆ เทียบกับชิ้นงานสูตรมาตรฐานที่ใช้อ้างอิงในการทดลองครั้งที่ 1 แสดงดังตารางที่ 4.3 และแสดงเป็นกราฟในภาพที่ 4.1 ส่วนผลจากการทดสอบในครั้งที่ 2 แสดงดังตารางที่ 4.4 และกราฟในภาพที่ 4.2

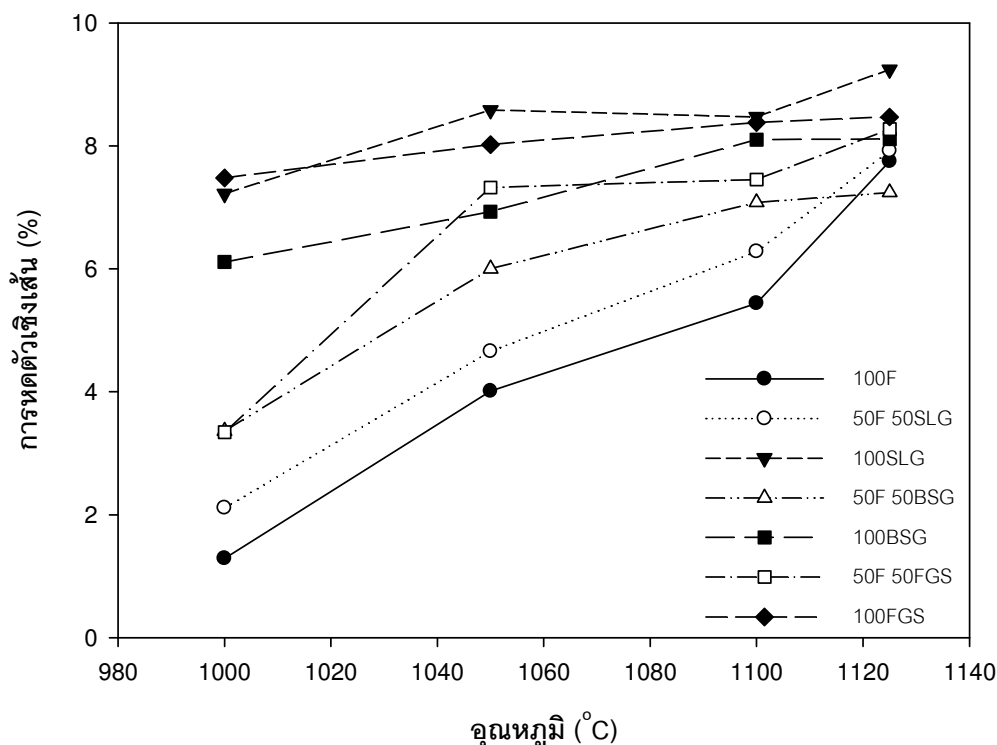
ตารางที่ 4.3

ผลการทดสอบการหดตัวเชิงเส้นของชิ้นงานหลังเผาที่อุณหภูมิต่างๆ ในการทดลองครั้งที่ 1

อุณหภูมิเผา (°C)	ชีวสูตร / ค่าการหดตัวเชิงเส้น (%)						
	100F (Ref.)	50F 50SLG	100SLG	50F 50BSG	100BSG	50F 50FGS	100FGS
1000	1.29	2.11	7.22	3.36	6.11	3.34	7.48
1050	4.01	4.66	8.58	6.00	6.93	7.32	8.02
1100	5.44	6.28	8.47	7.08	8.10	7.45	8.38
1125	7.75	7.92	9.24	7.24	8.11	8.27	8.47

ภาพที่ 4.1

กราฟแสดงความสัมพันธ์ระหว่างค่าการหดตัวเชิงเส้น และอุณหภูมิในการเผาชิ้นงาน
ในการทดลองครั้งที่ 1



ตารางที่ 4.4

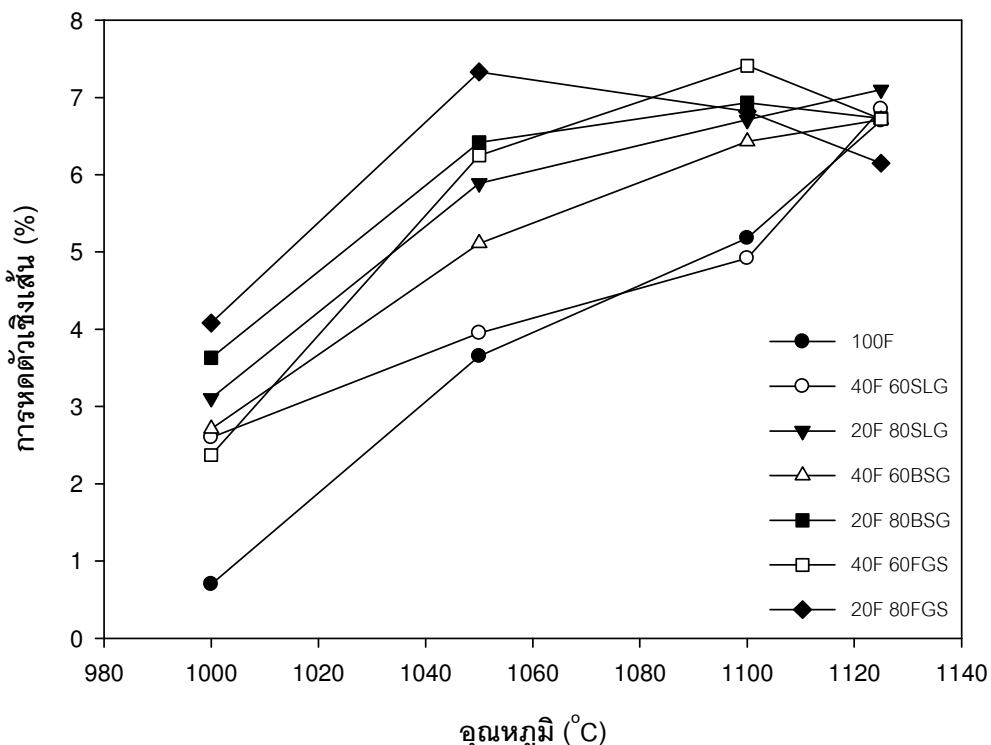
ผลการทดสอบการหดตัวเชิงเส้นของชิ้นงานหลังเผาที่อุณหภูมิต่างๆ ในการทดลองครั้งที่ 2

อุณหภูมิเผา (°C)	ชีวสูตร / ค่าการหดตัวเชิงเส้น (%)								
	100F (Ref.)	50F 50SLG	40F 60SLG	30F 70SLG	20F 80SLG	50F 50BSG	40F 60BSG	30F 70BSG	20F 80BSG
1000	0.70±0.06	2.10±0.08	2.60±0.09	3.10±0.25	3.11±0.08	2.20±0.16	2.71±0.12	3.64±0.32	3.63±0.12
1050	3.65±0.18	3.40±0.14	3.95±0.11	5.32±0.13	5.89±0.08	4.84±0.27	5.11±0.05	5.67±0.17	6.42±0.06
1100	5.18±0.01	4.70±0.14	4.92±0.19	6.42±0.31	6.71±0.31	6.66±0.31	6.43±0.33	6.80±0.40	6.93±0.27
1125	6.70±0.28	6.37±0.17	6.85±0.10	7.07±0.61	7.10±0.48	6.51±0.57	6.71±0.28	6.27±0.79	6.73±0.64

ตารางที่ 4.4 (ต่อ)

อุณหภูมิเผา (°C)	ชีวสูตร / ค่าการหดตัวเชิงเส้น (%)			
	50F 50FGS	40F 60FGS	30F 70FGS	20F 80FGS
1000	2.43±0.16	2.37±0.07	3.40±0.17	4.08±0.05
1050	6.58±0.33	6.25±0.06	8.00±0.24	7.33±0.17
1100	7.97±0.63	7.41±0.64	7.91±0.43	6.82±0.67
1125	6.68±0.54	6.72±0.85	6.41±0.72	6.15±0.49

ภาพที่ 4.2
กราฟแสดงความสัมพันธ์ระหว่างค่าการหดตัวเชิงเส้น และอุณหภูมิในการเผาชิ้นงาน
ในการทดลองครั้งที่ 2



จากการทดลองทั้ง 2 ครั้งข้างต้น พบว่า ค่าการหดตัวเชิงเส้นของชิ้นงานหลังเผาส่วนใหญ่มีค่าสอดคล้องกัน และเป็นไปตามทฤษฎี กล่าวคือ เมื่ออุณหภูมิที่ทำการเผาชิ้นงานเพิ่มขึ้น จะทำให้ค่าการหดตัวเชิงเส้นของชิ้นงานมีค่าที่เพิ่มขึ้นเรื่อยๆ ซึ่งบ่งบอกถึงการหดломตัวของชิ้นงานที่มากขึ้นด้วย แต่สำหรับการใช้กากตะกอนเคลือบพริตเป็นตัวช่วยหดломแทนแร่โซเดียมเฟล์ดสปาร์ ในการทดลองครั้งที่ 2 นั้น พบว่า มีข้อนาสังเกตคือ ค่าการหดตัวเชิงเส้นหลังเผาที่อุณหภูมิสูงขึ้น (ตั้งแต่ 1,100 และ 1,125 $^{\circ}\text{C}$) กลับมีค่าการหดตัวที่ลดลง และจะพบค่าการหดตัวที่ลดลงมากกว่าสำหรับสูตรที่มีการใช้กากตะกอนเคลือบพริตในปริมาณที่มากกว่าด้วย โดยการใช้เศษแก้วใบโพธิ์ลิกเกตเป็นตัวช่วยหดломก็ให้ผลเช่นเดียวกันกับกากตะกอนเคลือบพริต แต่ผลที่ปรากฏยังไม่ชัดเจนเท่ากับการใช้กากตะกอนเคลือบพริต อาจเป็นไปได้ว่า การใช้กากตะกอนเคลือบพริตในปริมาณที่มากเกิน และทำการเผาที่อุณหภูมิสูงๆ จะทำให้ชิ้นงานที่เคยหดตัวแล้ว

กลับมีการขยายตัวเพิ่มขึ้นเล็กน้อยอีกรังเมื่ออุณหภูมิเพิ่มขึ้น ซึ่งอาจต้องใช้การพิจารณาร่วมกับผลการทดสอบสมบัติทางกายภาพอื่นๆ ร่วมด้วย จึงจะสามารถสรุปได้ชัดเจนมากกว่านี้

ดังนั้น จากผลการทดสอบโดยส่วนใหญ่ทั้ง 2 ครั้ง สามารถสรุปได้ว่า การใช้วัสดุเหลือทั้งทั้ง 3 ประเภททดสอบแล้วจะเดียมเพลต์สปาร์วินบริมาณต่างๆ นั้น ให้ผลค่าการหดตัวเชิงเส้นหลังจากที่มากกว่าการใช้แอลูมิเนียมเพลต์สปาร์เป็นตัวช่วยหลอมแต่เพียงอย่างเดียว สำหรับการเผาที่อุณหภูมิต่ำ ($1,000$ และ $1,050^{\circ}\text{C}$) ซึ่งหมายถึงมีประสิทธิภาพในการเป็นตัวช่วยหลอมที่ดีกว่าด้วย โดยเมื่อพิจารณาโดยรวมแล้ว พบว่า ภาคตะกอนเคลือบพริตมีประสิทธิภาพในการเป็นตัวช่วยหลอมที่ดีกว่าเศษแก้วไซดาไลม์ และเศษแก้วใบไชลิกเกต แต่ทั้งนี้ ผลการทดสอบค่าการหดตัวเชิงเส้นที่ได้ยังไม่ชัดเจนมากนัก จึงต้องพิจารณาร่วมกับผลการทดสอบอื่นๆ ร่วมด้วย ดังจะได้กล่าวต่อไป

4.3.2 ผลการทดสอบความหนาแน่นของชิ้นงาน

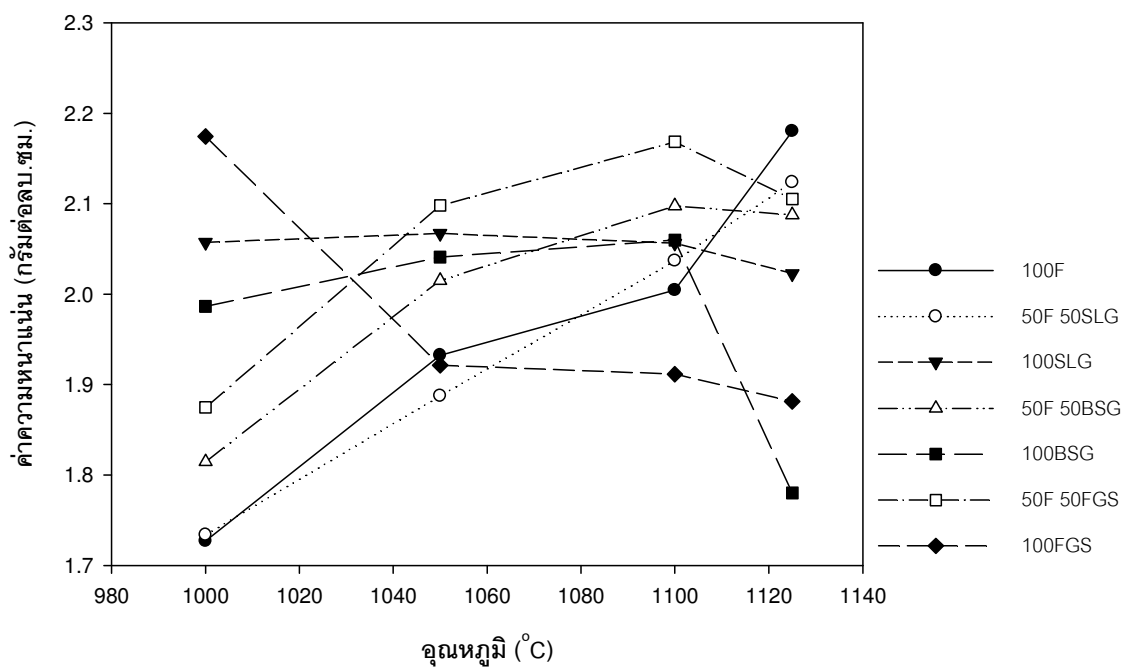
ค่าความหนาแน่นของชิ้นงาน คือ ค่าสัดส่วนระหว่างน้ำหนักต่อปริมาตรของชิ้นงานนั้นๆ โดยในการทดสอบนี้ เป็นการหาค่าความหนาแน่นแบบ Bulk density ซึ่งเป็นการคิดปริมาตรของชิ้นงานทั้งก้อน โดยรวมถูกพูนทั้งแบบเบิดและปิดที่มีอยู่เข้าไปด้วย การหาค่าความหนาแน่นของชิ้นงานหลังผ่านกระบวนการเผา สามารถใช้บ่งบอกการหลอมตัวของชิ้นงานได้ โดยชิ้นงานที่หลอมตัวมากกว่า จะมีค่าความหนาแน่นที่มากกว่าด้วย เนื่องจากขนาดหรือปริมาตรของชิ้นงานที่ลดลง ซึ่งเชื่อมโยงกับค่าการหดตัวเชิงเส้นของชิ้นงานดังที่ได้กล่าวมาแล้วในข้างต้นด้วย ดังนั้น เราจึงสามารถใช้ค่าความหนาแน่นของชิ้นงานหลังเผาบ่งบอกถึงประสิทธิภาพในการเป็นตัวช่วยหลอมของวัตถุดิบที่นำมาใช้ได้อีกทางหนึ่ง

ผลการทดสอบค่าความหนาแน่นของชิ้นงานจะเป็นสูตรทดลอง และสูตรรวมตัวฐานหลังผ่านกระบวนการเผาที่อุณหภูมิต่างๆ ในการทดลองทั้ง 2 ครั้ง แสดงดังตารางที่ $4.5 - 4.6$ และแสดงเป็นกราฟในภาพที่ $4.3 - 4.4$ ตามลำดับ

ตารางที่ 4.5
ผลการทดสอบความหนาแน่นของชิ้นงานหลังเผาที่อุณหภูมิต่างๆ ในการทดลองครั้งที่ 1

อุณหภูมิเผา (°C)	ชื่อสูตร / ค่าความหนาแน่นของชิ้นงาน (กรัมต่อลบ.ซม.)						
	100F (Ref.)	50F 50SLG	100SLG	50F 50BSG	100BSG	50F 50FGS	100FGS
1000	1.727	1.734	2.057	1.815	1.986	1.875	2.174
1050	1.932	1.888	2.067	2.015	2.041	2.098	1.921
1100	2.004	2.037	2.056	2.098	2.060	2.168	1.912
1125	2.180	2.124	2.023	2.088	1.780	2.105	1.881

ภาพที่ 4.3
กราฟแสดงความสัมพันธ์ระหว่างค่าความหนาแน่น และอุณหภูมิในการเผาชิ้นงาน
ในการทดลองครั้งที่ 1



ตารางที่ 4.6

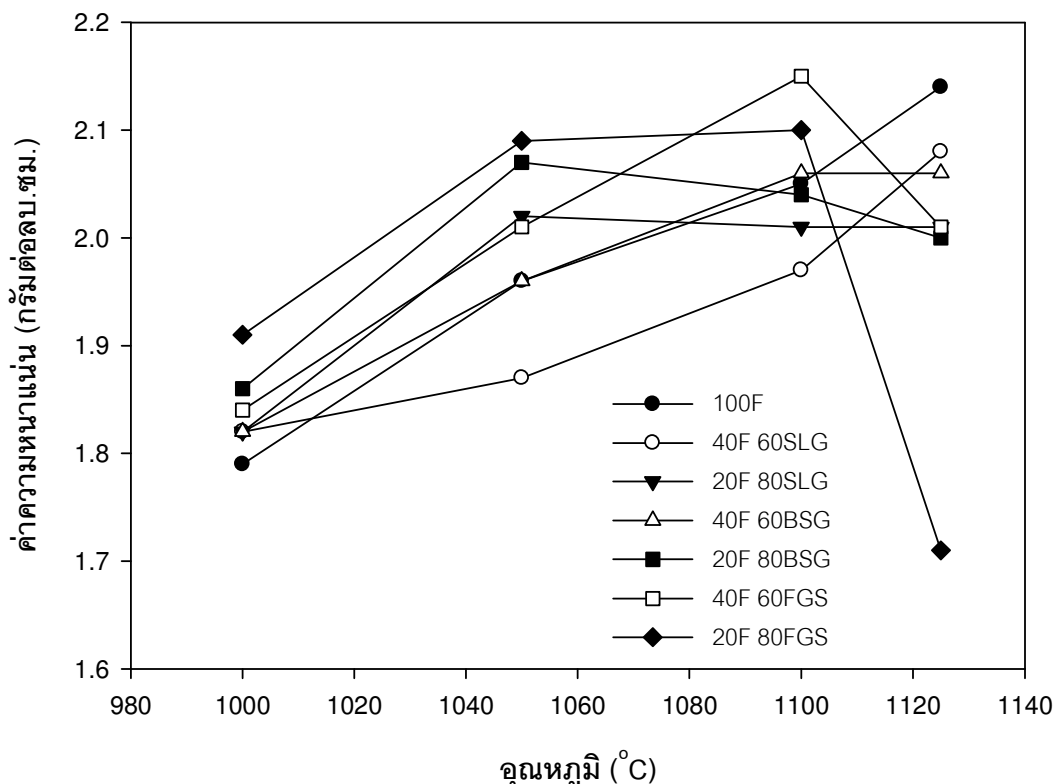
ผลการทดสอบความหนาแน่นของชิ้นงานหลังเผาที่อุณหภูมิต่างๆ ในการทดลองครั้งที่ 2

อุณหภูมิเผา (°C)	ชื่อสูตร / ค่าความหนาแน่น (กรัมต่อลบ.ซม.)								
	100F (Ref.)	50F 50SLG	40F 60SLG	30F 70SLG	20F 80SLG	50F 50BSG	40F 60BSG	30F 70BSG	20F 80BSG
1000	1.79±0.02	1.80±0.02	1.82±0.01	1.87±0.01	1.82±0.00	1.81±0.02	1.82±0.02	1.87±0.02	1.86±0.01
1050	1.96±0.02	1.87±0.01	1.87±0.04	2.01±0.04	2.02±0.03	1.94±0.03	1.96±0.01	1.96±0.02	2.07±0.05
1100	2.05±0.00	1.93±0.01	1.97±0.05	2.09±0.03	2.01±0.05	2.00±0.08	2.06±0.01	2.05±0.01	2.04±0.03
1125	2.14±0.03	2.05±0.04	2.08±0.01	2.10±0.05	2.01±0.06	2.08±0.01	2.06±0.01	2.01±0.02	2.00±0.02

ตารางที่ 4.6 (ต่อ)

อุณหภูมิเผา (°C)	ชื่อสูตร / ค่าความหนาแน่น (กรัมต่อลบ.ซม.)			
	50F 50FGS	40F 60FGS	30F 70FGS	20F 80FGS
1000	1.86±0.03	1.84±0.02	1.87±0.02	1.91±0.03
1050	2.05±0.03	2.01±0.00	2.07±0.01	2.09±0.07
1100	2.18±0.01	2.15±0.01	2.13±0.02	2.10±0.04
1125	2.00±0.10	2.01±0.08	1.91±0.07	1.71±0.07

ภาพที่ 4.4
กราฟแสดงความสัมพันธ์ระหว่างค่าความหนาแน่น และอุณหภูมิในการเผาข้าวงาน
ในการทดลองครั้งที่ 2



จากการทดลองทั้ง 2 ครั้ง พบว่า ผลที่ได้สอดคล้องกับค่าการลดตัวเชิงเส้นตามที่ได้กล่าวมาแล้ว กล่าวคือ ค่าความหนาแน่นของข้าวงานหลังเผาโดยส่วนใหญ่มีค่าเพิ่มขึ้น เมื่อทำการเผาข้าวงานที่อุณหภูมิสูงขึ้น ซึ่งหมายถึงข้าวงานมีการหลอมตัวที่มากขึ้นด้วยน้ำ份 และการใช้ Wassel เหลือทิ้งทั้ง 3 ประเภทเป็นตัวช่วยหลอมทัดแทนแร่โซเดียมเฟล์ดสปาร์กัน จะให้ประสิทธิภาพในการหลอมตัวที่ดีกว่าการใช้แร่โซเดียมเฟล์ดสปาร์กเป็นตัวช่วยหลอมแต่เพียงอย่างเดียว แต่จะได้ผลตั้งกล่าว เนพาะการเผาที่อุณหภูมิต่ำเท่านั้น ($1,000 - 1,100^{\circ}\text{C}$) สำหรับการเผาที่อุณหภูมิสูงเกิน $1,100^{\circ}\text{C}$ ขึ้นไป กลับพบว่า ข้าวงานมีประสิทธิภาพในการหลอมตัวที่ลดลง สงสัยได้จากผลค่าความหนาแน่นที่ลดลง และจะมีผลอย่างมากกับข้าวงานที่ใช้วัสดุเหลือทิ้งทั้ง 3 ประเภทเป็นตัวช่วยหลอม โดยยิ่งใช้วัสดุเหลือทิ้งทั้ง 3 ประเภทในปริมาณที่มากขึ้น ยิ่งส่งผลให้ประสิทธิภาพการหลอมตัวลดลงมากขึ้นด้วย แต่สำหรับการใช้แร่โซเดียมเฟล์ดสปาร์กเป็นตัวช่วยหลอมเพียงอย่างเดียวไม่

พนกการเปลี่ยนแปลงดังกล่าว นั่นคือ การลดอุณหภูมิขึ้นเรื่อยๆ เมื่ออุณหภูมิสูงขึ้น สังเกตได้จากค่าความหนาแน่นที่เพิ่มขึ้นเรื่อยๆ ในกราฟจากการทดลองทั้ง 2 ครั้ง

ดังนั้น เมื่อพิจารณาผลการทดลอง ทั้งจากค่าการหดตัวเชิงเส้น และค่าความหนาแน่นของชิ้นงานหลังเผา จึงสรุปโดยรวมได้ว่า การใช้สุดเหลือทั้ง 3 ประเภทเป็นตัวช่วยลดอุณหภูมิในช่วงแรกของการเผา แต่จะต้องควบคุมปริมาณการใช้ไม่ให้มากจนเกินไป นั่นคือ ไม่ควรแทนที่แร่เซรามิกเดิมเพลด์สปาร์ในปริมาณต่างๆ นั้น ให้ผลที่ดีกว่าการใช้แร่เซรามิกเดิมเพลด์สปาร์ เป็นตัวช่วยลดอุณหภูมิอย่างเดียว แต่จะต้องควบคุมปริมาณการใช้ไม่ให้มากจนเกินไป นั่นคือ ไม่ควรแทนที่แร่เซรามิกเดิมเพลด์สปาร์เกิน 70% (28% ในสูตรเรื่องดิน) และควรทำการเผาชิ้นงานเฉพาะที่อุณหภูมิต่างๆ เท่านั้น (ไม่เกิน $1,100^{\circ}\text{C}$) โดยพบว่า การตะกอนเคลือบพริตมีประสิทธิภาพในการเป็นตัวช่วยลดอุณหภูมิมากกว่าเศษแก้วโบโรซิลิกेट และเศษแก้วโซดาไลม์ ซึ่งให้ผลที่แตกต่างกันไม่ชัดเจนนัก

พบว่า ผลที่ได้จากการทดลองดังกล่าว มีความสอดคล้องกับผลงานวิจัยของ Matteucci และคณะ (2002) รวมถึง Luz และ Ribeiro (2007) ที่ได้ทำการทดลองโดยแทนที่แร่เซรามิกเดิมเพลด์สปาร์ในสูตรกระเบื้องเซรามิกชนิดพอร์ซเลน-สโตนแวร์ ด้วยเศษแก้วโซดาไลม์ในปริมาณแตกต่างกัน โดย Matteucci และคณะ พบว่า การใช้แก้วโซดาไลม์ในปริมาณ 10% และเศษแก้วในปริมาณทดสอบที่อุณหภูมิสูง $1,120\text{-}1,200^{\circ}\text{C}$ จะส่งผลกระทบต่อชิ้นงานหลังเผาในด้านลบ ได้แก่ ค่าความหนาแน่นทั้งก้อน (Bulk density) และค่าความแข็งแรงของชิ้นงานมีค่าลดต่ำลง ในขณะที่ค่าการหดตัว (Shrinkage) และค่าอุ่นหูนปิด (Closed porosity) มีค่าที่เพิ่มขึ้น ซึ่ง Luz และ Ribeiro ที่ได้ผลการทดลองในทำนองเดียวกันนี้ โดยพบเพิ่มเติมว่า การเพิ่มขึ้นของปริมาณผงแก้วบด จะส่งผลต่อการเพิ่มขึ้นของความพรุนตัวในเนื้อชิ้นงาน ทำให้ค่าความแข็งแรงของชิ้นงานลดลง ตัวอย่างและสำหรับกระเบื้องเนื้อพอร์ซเลน-สโตนแวร์นั้น ไม่สามารถใช้ผงแก้วบดเป็นฟลักซ์ร่วมกับแร่เซรามิกเดิมเพลด์สปาร์ได้ในปริมาณที่มากเกิน 5% เนื่องจากส่งผลต่อค่าความต้านทานรอยขีดข่วน (Abrasion resistance) ที่ไม่ผ่านตามเกณฑ์มาตรฐาน ISO 10545-6 ของกระเบื้องชนิดนี้อีกด้วย

แต่สำหรับงานวิจัยของ Andreola และคณะ (2008) พบว่าให้ผลที่ไม่ค่อยเหมือนกัน เท่าใดนัก กล่าวคือ Andreola ทำการทดลองแล้วพบว่า การแทนที่แร่เซรามิกเดิมเพลด์สปาร์ในสูตรกระเบื้องพอร์ซเลน-สโตนแวร์ด้วยของเสียประเภทแก้ว CRT ในปริมาณ 5% โดยน้ำหนัก เพาชิ้นงานทดลองในช่วงอุณหภูมิ $1,000\text{-}1,250^{\circ}\text{C}$ จะส่งผลต่อกระบวนการหดตัวที่ดีขึ้นของเนื้อชิ้นงาน ได้แก่ ค่าการหดตัวเชิงเส้น ค่าความหนาแน่นที่ปรากฏ (Apparent density) และค่าความแข็งแรงของชิ้นงานมีค่าสูงขึ้น ส่วนค่าการดูดซึมน้ำ และความพรุนตัวโดยรวมมีค่าต่ำลง โดย

ขึ้นงานจะเริ่มหลอมตัวหลังจากอุณหภูมิເພົ່າ $1,100^{\circ}\text{C}$ ເປັນຕົ້ນໄປ ແຕ່ສໍາຫວັບກາງໃໝ່ໃນປະໂມານທີ່ສູງ 35% ໂດຍນໍາຫັກໃນສູຕຽນເນື້ອດິນນິນ ຈະໃຫ້ຜລໃນດ້ານລົບແຫນ

4.3.3 ຜລກາຮາທດສອບກາຮຸດຊື່ມໍ້າ

ຄ່າກາຮຸດຊື່ມໍ້າ (Water absorption) ເປັນກາຮາສັດສົນຂອງປະໂມາດຈຸ່າພຽນເປີດ (Open pore volume) ທີ່ມີຢູ່ໃນເນື້ອຂຶ້ນງານເຖິງກັບຄ່ານໍາຫັກຂອງຂຶ້ນງານ (Ryan and Radford, 1997) ດັ່ງນັ້ນ ກາຮາທດສອບຫາຄ່າກາຮຸດຊື່ມໍ້າຂອງຂຶ້ນງານທັງຳພ່ານກະບວນກາຮາເພົ່າ ຈຶ່ງເປັນກາປ່າງ ນອກລຶ່ງປະໂມານຈຸ່າພຽນເປີດທີ່ມີຢູ່ໃນເນື້ອຂຶ້ນງານທັງຳພ່ານກະບວນກາຮາເພົ່າ ທີ່ໃນກະບວນກາຮາທາກເນື້ອດິນມີກາຮາຫຼຸມຕັກທີ່ຕີ ຈະທຳໃຫ້ປະໂມານຈຸ່າພຽນທີ່ທັງເລື່ອຍ່າງຍິນເນື້ອຂຶ້ນງານທັງຈຸ່າພຽນໜີດເປີດແລະປີດມີປະໂມານນ້ອຍລົງຕາມໄປດ້ວຍ ເຮົາຈຶ່ງສາມາດໃຫ້ຄ່າກາຮຸດຊື່ມໍ້າຂອງຂຶ້ນງານທັງຳພ່ານກະບວນກາຮາເພົ່າ ກາຮາຫຼຸມຕັກຂອງເນື້ອດິນໄດ້ ທີ່ຈຶ່ງເຫັນໂຍ່ງໄປດິຈິກາກປ່າງບ່ອກປະສິທິກາພໃນກາຮາເປັນຕົວຫຼຸມຂອງວັສດຸເລື້ອທີ່ປະເກທດຕ່າງໆ ທີ່ນຳມາໃຫ້ໃນກາຮາທດລອງຕ້ວຍ

ສໍາຫວັບພິລິຕົວກັນທີກະບົວເບື້ອງເຊາມີກັນນີ້ ມີກາຮົດແປ່ງປະເກທແລະຄວບຄຸມຮະດັບຄຸນກາພຂອງພິລິຕົວກັນທີໂດຍໃຫ້ຄ່າກາຮຸດຊື່ມໍ້າເປັນຕົວທີ່ປ່າງໜີ້ດ້ວຍ ໂດຍສໍາຫວັບມາດຈຸ່ານພິລິຕົວກັນທີ່ອຸດສາທາກວຽນຂອງປະເທດໄທ (ມອກ.) ໄດ້ມີກາຮົດແປ່ງປະເກທຂອງກະບົວເບື້ອງຕາມຄ່າກາຮຸດຊື່ມໍ້າ ດັ່ງນີ້

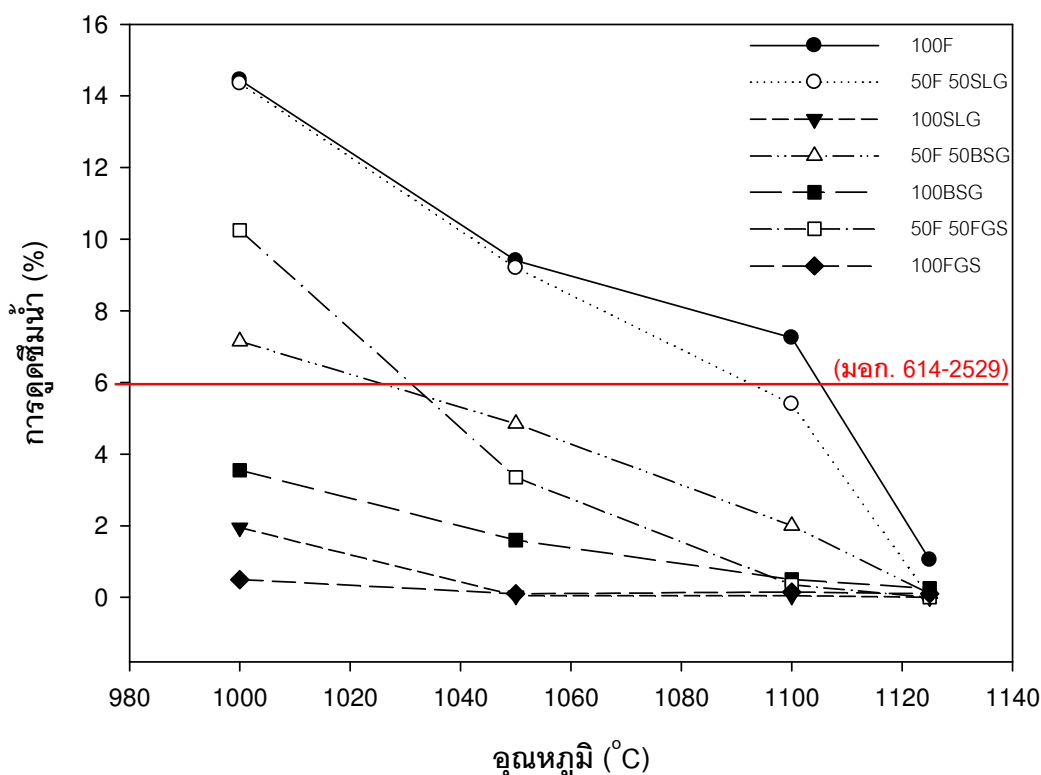
- ກະບົວເບື້ອງປູ້ພື້ນປະເກທດຸດຊື່ມໍ້າຕໍ່າ ຄ່າກາຮຸດຊື່ມໍ້າຕໍ່ອົງໄໝເກີນ 3% (ມອກ. 37-2529)
- ກະບົວເບື້ອງປູ້ພື້ນປະເກທດຸດຊື່ມໍ້າປານກລາງຄ່ອນຂໍາງຕໍ່າ (ມອກ. 37-2529) ແລະ ກະບົວເບື້ອງປະເກທບຸພັນໜັງກາຍນອກອາຄາຣ (ມອກ. 614-2529) ຄ່າກາຮຸດຊື່ມໍ້າຕໍ່ອົງໄໝເກີນ 6%
- ກະບົວເບື້ອງປະເກທບຸພັນໜັງກາຍໃນອາຄາຣ ຄ່າກາຮຸດຊື່ມໍ້າຕໍ່ອົງໄໝເກີນ 18% (ມອກ. 613-2529)

ໃນການວິຈີຍນີ້ ໄດ້ທຳກາຮາທດລອງໂດຍອ້າງອີງມາດຈຸ່ານຂອງກະບົວເບື້ອງປະເກທບຸພັນໜັງ ທັງກາຍໃນແລະກາຍນອກອາຄາຣ ທີ່ຈຶ່ງເປັນປະໂມານຂອງພິລິຕົວກັນທີ່ທ້າງໜຸ້ນສ່ວນຈຳກັດ ກະບົວເບື້ອງໄທ ພິລິຕອຍ່ານ ປັຈຈຸບັນ ລົກກາຮາທດສອບຄ່າກາຮຸດຊື່ມໍ້າຂອງຂຶ້ນງານທັງຳພ່ານກະບວນກາຮາເພົ່າ ໃນກາຮາທດລອງທັງສອງຄວັງແສດງດັ່ງຕາງໆທີ່ 4.7 – 4.8 ແລະ ແສດງເປັນກາພທີ່ 4.5 – 4.6 ຕາມລຳດັບ

ตารางที่ 4.7
ผลการทดสอบการดูดซึมน้ำของชิ้นงานหลังเผาที่อุณหภูมิต่างๆ ในการทดลองครั้งที่ 1

อุณหภูมิเผา (°C)	ชื่อสูตร / ค่าการดูดซึมน้ำ (%)						
	100F (Ref.)	50F 50SLG	100SLG	50F 50BSG	100BSG	50F 50FGS	100FGS
1000	14.45	14.35	1.95	7.15	3.55	10.25	0.50
1050	9.40	9.20	0.05	4.85	1.60	3.35	0.10
1100	7.25	5.40	0.05	2.00	0.50	0.35	0.15
1125	1.05	0.00	0.00	0.10	0.25	0.00	0.10

ภาพที่ 4.5
กราฟแสดงความสัมพันธ์ระหว่างค่าการดูดซึมน้ำ และอุณหภูมิในการเผาชิ้นงาน
ในการทดลองครั้งที่ 1



ตารางที่ 4.8

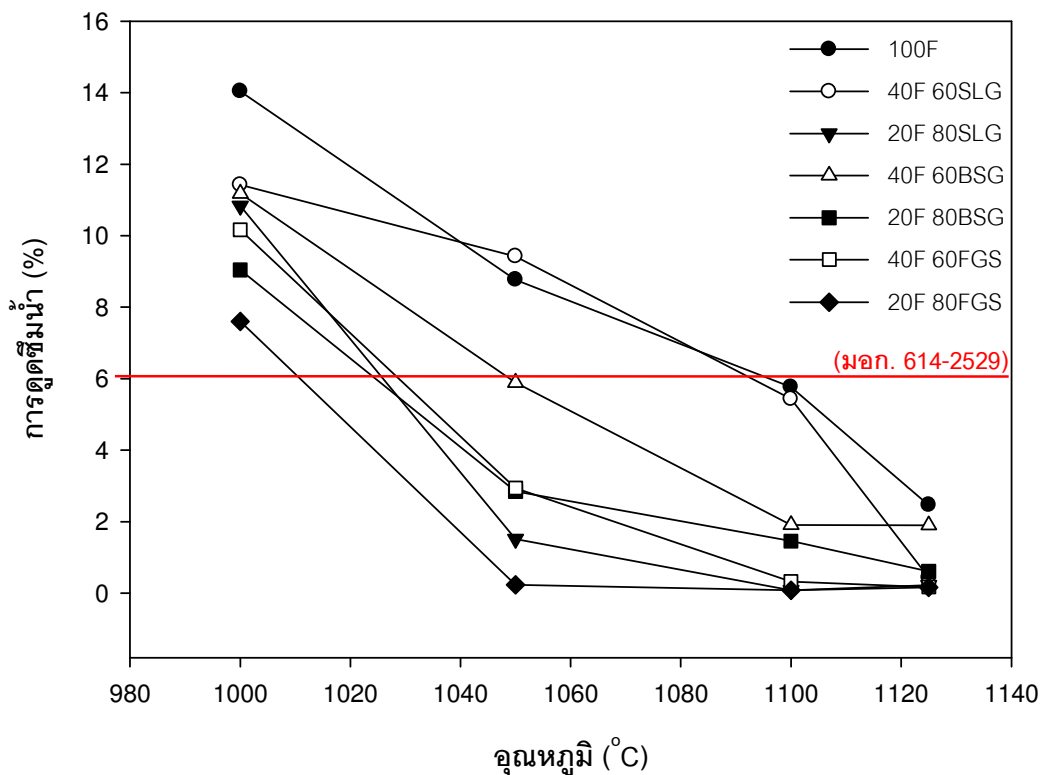
ผลการทดสอบการดูดซึมน้ำของขั้นงานหลังเผาที่อุณหภูมิต่างๆ ในกราฟดลองครั้งที่ 2

อุณหภูมิเผา (°C)	ชีวสูตร / ค่าการดูดซึมน้ำ (%)								
	100F (Ref.)	50F 50SLG	40F 60SLG	30F 70SLG	20F 80SLG	50F 50BSG	40F 60BSG	30F 70BSG	20F 80BSG
1000	14.04±0.76	12.98±0.60	11.42±0.40	9.68±0.86	10.83±0.05	11.31±0.98	11.18±0.35	8.41±0.27	9.04±0.45
1050	8.77±0.25	10.27±0.50	9.42±0.65	4.21±0.64	1.52±0.43	6.50±0.85	5.89±0.36	3.75±0.71	2.85±0.25
1100	5.77±0.54	7.72±0.93	5.43±0.30	0.61±0.44	0.08±0.07	2.50±0.93	1.91±0.78	0.62±0.30	1.46±0.99
1125	2.47±0.77	1.68±0.50	0.44±0.41	0.02±0.03	0.22±0.06	0.74±0.19	1.90±0.51	0.14±0.05	0.61±0.27

ตารางที่ 4.8 (ต่อ)

อุณหภูมิเผา (°C)	ชีวสูตร / ค่าการดูดซึมน้ำ (%)			
	50F 50FGS	40F 60FGS	30F 70FGS	20F 80FGS
1000	10.56±0.53	10.16±0.35	9.37±0.41	7.60±0.72
1050	2.89±0.27	2.94±0.72	0.64±0.09	0.23±0.11
1100	0.19±0.04	0.33±0.06	0.17±0.12	0.08±0.03
1125	0.12±0.03	0.17±0.05	0.09±0.10	0.16±0.20

ภาพที่ 4.6
กราฟแสดงความสัมพันธ์ระหว่างค่าการดูดซึมน้ำ และอุณหภูมิในการเผาขึ้นงาน
ในการทดลองครั้งที่ 2



จากการทดลองทั้งสองครั้ง พบร่วมค่าการดูดซึมน้ำของชิ้นงานหลังเผาที่ได้เป็นไปตามทฤษฎี และสอดคล้องกับผลงานวิจัยต่างๆ ที่ผ่านมาของ Matteucci และคณะ (2002) Luz และ Ribeiro (2007) Raimondo และคณะ (2007) และ Andreola และคณะ (2008) ดังได้กล่าวมาแล้วในบทที่ 2 กล่าวคือ ค่าการดูดซึมน้ำของชิ้นงานหลังเผาจะมีค่าลดลงตามอุณหภูมิในการเผาที่เพิ่มขึ้น ซึ่งหมายถึง ความสามารถในการหลอมตัวของเนื้อดินที่เพิ่มขึ้นตามอุณหภูมิที่ใช้ในการเผาขึ้นงานด้วย โดยสังเกตได้ว่า ชิ้นงานที่ใช้วัสดุเหลือทิ้งทั้ง 3 ประเภทเป็นตัวช่วยหลอมทัดแทนแร่โซเดียมเพล็อกปาร์โนบิริมาณต่างๆ นั้น โดยส่วนใหญ่มีค่าการดูดซึมน้ำที่น้อยกว่าชิ้นงานสูตรมาตรฐานอ้างอิง ซึ่งค่าการดูดซึมน้ำจะลดลงตามบิริมาณการใช้วัสดุเหลือทิ้งแต่ละประเภทในสูตรที่เพิ่มขึ้น ในช่วงการเผาที่อุณหภูมิตั้งแต่ $1,100^{\circ}\text{C}$ ลงไป ($1,000, 1,050$ และ $1,100^{\circ}\text{C}$) แต่สำหรับการเผาที่อุณหภูมิสูง $1,125^{\circ}\text{C}$ กลับพบว่า ค่าการดูดซึมน้ำของการใช้เศษแก้ว

โซดาไลม์ และกากตะกอนเคลือบพริตเป็นตัวช่วยหลอมที่ปริมาณ 80% นั้นมีค่าที่เพิ่มขึ้นอีกรัง ซึ่งหมายถึง ประสิทธิภาพในการหลอมตัวของวัสดุเหลือทิ้ง 2 ประเภทดังกล่าว อาจลดลงที่การเผาอุณหภูมิสูงขึ้น ดังนั้น จึงสรุปได้ว่า การใช้วัสดุเหลือทิ้งทั้ง 2 ประเภทเป็นตัวช่วยหลอมทัดแทนแร่โซเดียมเฟล์สปาร์นั้น จะมีประสิทธิภาพสูงสุด ณ การเผาที่อุณหภูมิต่ำๆ ไม่เกิน $1,100^{\circ}\text{C}$ และพบว่า กากตะกอนเคลือบพริต มีประสิทธิภาพในการเป็นตัวช่วยหลอมได้มากกว่าเศษแก้วโซดาไลม์ และเศษแก้วใบไบริลเลต โดยเศษแก้วทั้ง 2 ประเภทให้ผลการทดลองที่ใกล้เคียงกัน ไม่สามารถสรุปได้อย่างชัดเจน ซึ่งผลการทดสอบค่าการดูดซึมน้ำมีความสอดคล้องกับผลการทดสอบค่าการหลอมตัวเชิงเส้น และค่าความหนาแน่นของชิ้นงานหลังเผาที่ผ่านมาด้วย

จากผลการทดสอบทั้งหมด พบร่วมกับชิ้นงานทุกสูตรมีค่าการดูดซึมน้ำผ่านตามเกณฑ์มาตรฐานผลิตภัณฑ์อุตสาหกรรมกระเบื้องประเภทบุพนังภายใน (มอก. 613- 2529) ซึ่งระบุไว้ว่าจะต้องมีค่าการดูดซึมน้ำไม่เกิน 18% ถึงแม่จะเผาที่อุณหภูมิต่ำสุดก็ตาม ($1,000^{\circ}\text{C}$) แต่ถ้าอ้างอิงตามมาตรฐานผลิตภัณฑ์อุตสาหกรรมกระเบื้องประเภทบุพนังภายนอก (มอก. 614- 2529) ซึ่งจะต้องมีค่าการดูดซึมน้ำไม่เกิน 6% นั้น พบร่วมกับชิ้นงานสูตรมาตรฐานที่ใช้อ้างอิง (ใช้แร่โซเดียมเฟล์สปาร์เป็นตัวช่วยหลอมแต่เพียงอย่างเดียว) จะผ่านตามเกณฑ์มาตรฐานนี้ เนื่องจากการเผาที่อุณหภูมิสูง $1,125^{\circ}\text{C}$ เท่านั้น แต่สำหรับชิ้นงานสูตรที่ใช้วัสดุเหลือทิ้งทั้ง 3 ประเภททัดแทนแร่โซเดียมเฟล์สปาร์ในปริมาณต่างๆ นั้น สามารถมีค่าการดูดซึมน้ำผ่านตามเกณฑ์มาตรฐานนี้ได้แต่การเผาที่อุณหภูมิต่ำสุด $1,000^{\circ}\text{C}$ สำหรับการใช้ในปริมาณ 100% ของการแทนที่ แต่สำหรับการใช้ในปริมาณ 80% ของการแทนที่นั้น พบร่วมกับค่าการดูดซึมน้ำจะผ่านตามเกณฑ์มาตรฐานนี้ที่อุณหภูมิแตกต่างแต่ $1,050^{\circ}\text{C}$ ขึ้นไป โดยปริมาณการใช้วัสดุเหลือทิ้งที่เพิ่มขึ้น จะมีผลทำให้ค่าการดูดซึมน้ำลดลงไปด้วย ดังนั้น จึงสามารถสรุปได้ว่า วัสดุเหลือทิ้งทั้ง 3 ประเภทสามารถช่วยลดอุณหภูมิในการเผาผลิตภัณฑ์กระเบื้องเซรามิกประเภทบุพนังทั้งภายในและภายนอกอาคารลงได้

4.3.4 ผลการทดสอบความบิดเบี้ยวของชิ้นงาน

การทดสอบความบิดเบี้ยวของชิ้นงานกระเบื้องหลังเผา เป็นคุณสมบัติที่โรงงานผลิตกระเบื้องเซรามิกจำเป็นต้องทดสอบให้ผ่านตามเกณฑ์มาตรฐานผลิตภัณฑ์อุตสาหกรรมไทย (มอก.) ซึ่งในงานวิจัยนี้ อ้างอิงตามเกณฑ์มาตรฐานสำหรับการผลิตกระเบื้องเซรามิกประเภทบุพนังทั้งภายในและภายนอกอาคาร มอก. 613-2529 และ มอก. 614-2529 ตามลำดับ โดยการวัดค่าความบิดเบี้ยวของชิ้นงานตามเกณฑ์มาตรฐานของ มอก. นั้น ได้แบ่งออกเป็นค่าความบิดเบี้ยว

ในลักษณะนี้และแยกออกตามแนวขอบและตามแนวเส้นที่แยกมุมของกระเบื้อง และค่าความบิดเบี้ยวในลักษณะโครงสร้างและเว้าเข้าตามแนวขอบของกระเบื้อง ตั้งจะได้กล่าวถึงผลการทดสอบต่อไป

ค่าความบิดเบี้ยวของชิ้นงานหลังเผา จะมีความสัมพันธ์กับการหลอมตัวของเนื้อดินในขณะทำการเผาชิ้นงานกระเบื้อง โดยเนื้อดินที่มีการหลอมตัวขณะเผามากจะมีโอกาสเกิดความบิดเบี้ยวหลังจากการเผาได้ง่ายกว่าด้วย เนื่องจากการเปลี่ยนแปลงสถานะและโครงสร้างของเนื้อดินในขณะหลอมตัวจากการเผา โดยในขณะเผาเนื้อดินจะหลอมตัวเข้าหากันทำให้อุปทานะเพลสของเหลวมากกว่าของแข็ง จึงเกิดการเสียญูปไปได้ง่าย

4.3.4.1 ผลการทดสอบความบิดเบี้ยวของชิ้นงานในลักษณะนี้และแยก

การทดสอบความบิดเบี้ยวของชิ้นงานหลังเผาในลักษณะนี้และแยก จะทดสอบบริเวณแนวขอบทั้งสี่ด้าน และแนวเส้นที่แยกมุมทั้งสองเส้นของชิ้นงานกระเบื้อง และวิเคราะห์ผลค่าสูงสุดที่วัดได้ โดยคิดเป็นเปอร์เซ็นต์เทียบกับความยาวของจุดอ้างอิง 2 จุดของเส้นที่วัดตามขอบและตามแนวเส้นที่แยกมุมของกระเบื้อง ตามมาตรฐานผลิตภัณฑ์คุณภาพรวม มอก. 613 และ 614-2529 ดังที่ได้กล่าวมาแล้วในบทที่ 3 โดยข้อกำหนดตามมาตรฐานระบุไว้ว่า สำหรับกระเบื้องที่มีขนาดไม่เกิน 200 มิลลิเมตร ซึ่งเป็นขนาดที่ใช้ในงานวิจัยนี้ จะต้องมีค่าความบิดเบี้ยวหลังเผา ผ่านตามเกณฑ์มาตรฐาน ดังนี้

- ความบิดเบี้ยวในลักษณะนี้และแยก ตามแนวขอบและค่าของค่ามาตรฐานการผลิตกระเบื้องบุผนังภายในอาคาร มอก. 613-2529 ต้องมีค่าฐานนี้ไม่เกินร้อยละ 0.4 และค่าแยก ไม่เกินร้อยละ 0.3 และสำหรับมาตรฐานการผลิตกระเบื้องบุผนังภายในอาคาร มอก. 614-2529 จะต้องมีค่าฐานนี้และแยก ไม่เกินร้อยละ 1.5
- ความบิดเบี้ยวในลักษณะนี้และแยก ตามแนวเส้นที่แยกมุม สำหรับ มาตรฐานการผลิตกระเบื้องบุผนังภายในอาคาร มอก. 613-2529 ต้องมีค่าฐานนี้ไม่เกินร้อยละ 0.3 และค่าแยก ไม่เกินร้อยละ 0.2 และสำหรับ มาตรฐานการผลิตกระเบื้องบุผนังภายในอาคาร มอก. 614-2529 จะต้องมีค่าฐานนี้และแยก ไม่เกินร้อยละ 0.75

ผลการทดสอบค่าความบิดเบี้ยวในลักษณะนูนขึ้นและเอนลง ทั้งตามแนวขอบและตามแนวเส้นที่แยกมุกของชิ้นงานหลังจากทดสอบครั้งที่ 2 ครั้ง แสดงตั้งตารางที่ 4.9 – 4.12 และแสดงเป็นกราฟในภาพที่ 4.7 – 4.10 ตามลำดับ

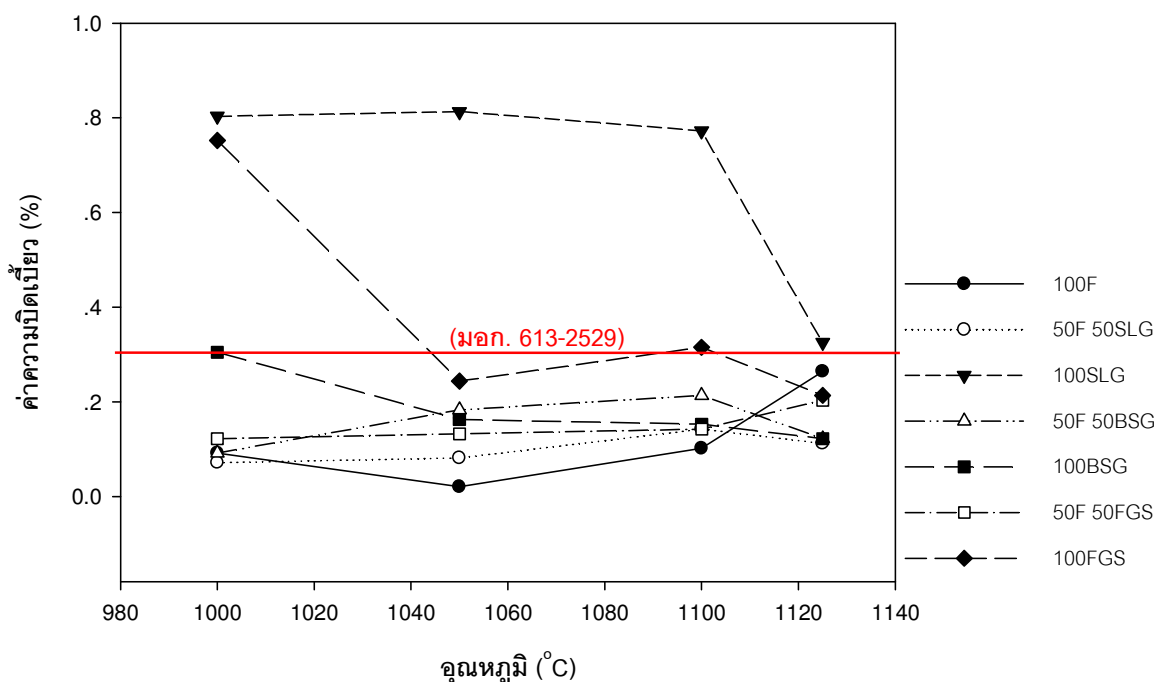
ตารางที่ 4.9

ผลการทดสอบความบิดเบี้ยวในลักษณะนูนขึ้นและเอนลงตามแนวขอบ
ของชิ้นงานหลังเผาที่อุณหภูมิต่างๆ ในการทดลองครั้งที่ 1

อุณหภูมิเผา (°C)	ชื่อสูตร / ค่าความบิดเบี้ยวบนขึ้น-เอนลงตามแนวขอบ (%)						
	100F (Ref.)	50F 50SLG	100SLG	50F 50BSG	100BSG	50F 50FGS	100FGS
1000	0.09	0.07	0.80	0.09	0.30	0.12	0.75
1050	0.02	0.08	0.81	0.18	0.16	0.13	0.24
1100	0.10	0.14	0.77	0.21	0.15	0.14	0.32
1125	0.26	0.11	0.33	0.12	0.12	0.20	0.21

ภาพที่ 4.7

กราฟแสดงความสัมพันธ์ระหว่างค่าความบิดเบี้ยวบนขึ้น - เอนลงตามแนวขอบ
และอุณหภูมิในการเผาชิ้นงาน ในการทดลองครั้งที่ 1



ตารางที่ 4.10

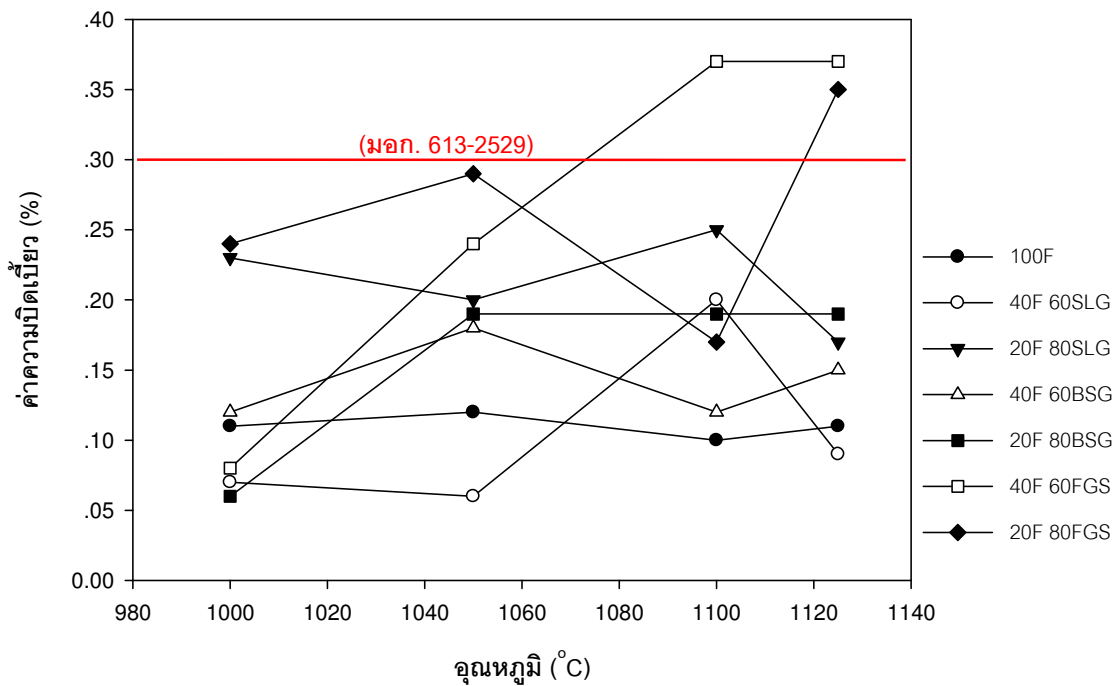
ผลการทดสอบความบิดเบี้ยวในลักษณะนูนขึ้นและ凹ลงตามแนวโน้มของชิ้นงานหลังเผาที่อุณหภูมิต่างๆ ในการทดลองครั้งที่ 2

อุณหภูมิเผา (°C)	ชีวสูตร / ค่าความบิดเบี้ยวบนขึ้น-แฉ้นลงตามแนวโน้ม (%)								
	100F (Ref.)	50F 50SLG	40F 60SLG	30F 70SLG	20F 80SLG	50F 50BSG	40F 60BSG	30F 70BSG	20F 80BSG
1000	0.11±0.03	0.08±0.03	0.07±0.01	0.13±0.04	0.23±0.01	0.06±0.03	0.12±0.01	0.16±0.01	0.06±0.00
1050	0.12±0.09	0.08±0.02	0.06±0.03	0.20±0.05	0.20±0.07	0.11±0.04	0.18±0.09	0.16±0.07	0.19±0.09
1100	0.10±0.03	0.07±0.05	0.20±0.08	0.25±0.02	0.25±0.09	0.26±0.05	0.12±0.08	0.14±0.05	0.19±0.05
1125	0.11±0.03	0.13±0.05	0.09±0.05	0.10±0.03	0.17±0.03	0.21±0.07	0.15±0.07	0.20±0.08	0.19±0.09

ตารางที่ 4.10 (ต่อ)

อุณหภูมิเผา (°C)	ชีวสูตร / ค่าความบิดเบี้ยวบนขึ้น-แฉ้นลงตามแนวโน้ม (%)			
	50F 50FGS	40F 60FGS	30F 70FGS	20F 80FGS
1000	0.12±0.04	0.08±0.03	0.10±0.02	0.24±0.03
1050	0.26±0.05	0.24±0.07	0.27±0.07	0.29±0.09
1100	0.45±0.08	0.37±0.06	0.26±0.09	0.17±0.02
1125	0.20±0.04	0.37±0.05	0.33±0.05	0.35±0.05

ภาพที่ 4.8
 กราฟแสดงความสัมพันธ์ระหว่างค่าความบิดเบี้ยวนูนขึ้น - แอลกอล์ตามแนวขอบ
 และอุณหภูมิในการเพาช์งาน ในการทดสอบครั้งที่ 2



จากผลการทดสอบทั้ง 2 ครั้ง พบร่วมกับพิจารณาตามเกณฑ์มาตรฐานการผลิตกระเบื้องบุผงภายนอกอาคาร มอก. 614-2529 ซึ่งต้องมีค่าความบิดเบี้ยวนูนขึ้นในลักษณะนูนขึ้นและแอลกอล์ไม่เกินร้อยละ 1.5 นั้น ชิ้นงานทุกสูตรมีค่าผ่านตามเกณฑ์มาตรฐานทั้งหมด แต่หากพิจารณาตามเกณฑ์มาตรฐานของการผลิตกระเบื้องบุผงภายนอกอาคาร มอก. 613-2529 ซึ่งต้องมีค่าความบิดเบี้ยวนูนขึ้นในลักษณะนูนขึ้นไม่เกินร้อยละ 0.4 และแอลกอล์ไม่เกินร้อยละ 0.3 พบร่วมกับผลจากการทดสอบในครั้งที่ 1 ชิ้นงานที่ใช้เศษแก้วโซดาไลม์และการตะกอนเคลือบพร็อตแทนที่แร่โซเดียมเฟล์ดสปาร์ในปริมาณ 100% โดยน้ำหนักนั้น มีค่าความบิดเบี้ยวนูนขึ้นไม่ผ่านตามเกณฑ์มาตรฐาน (มีค่าเกินร้อยละ 0.3) จึงทำการทดสอบซ้ำในครั้งที่ 2 โดยลดปริมาณการใช้วัสดุเหลือทิ้งทั้ง 3 ประเภทลง เป็นการแทนที่ในปริมาณ 50 60 70 และสูงสุดที่ 80% โดยน้ำหนัก ผลที่ได้พบว่า เฉพาะชิ้นงานที่ใช้การตะกอนเคลือบพร็อตเป็นตัวช่วยลดออมเท่านั้น ที่มีค่าความบิดเบี้ยวนูนขึ้นในลักษณะนูนขึ้นและแอลกอล์ไม่ผ่านตามเกณฑ์มาตรฐาน และจะ

ไม่ผ่านเฉพาะการเผาที่อุณหภูมิสูง 1,100 และ 1,125°C เท่านั้น ดังนั้นจึงสามารถสรุปได้ว่า หากตะกอนเคลือบพริตมีผลต่อการบิดเบี้ยวในลักษณะนูนขึ้นและแยกลงตามแนวขอบของชิ้นงานหลังเผามากที่สุด และจะมีผลมากขึ้นกับการเผาที่อุณหภูมิสูงตั้งแต่ 1,100°C ขึ้นไป แต่สามารถใช้ได้กับการเผาที่อุณหภูมิต่ำๆ ซึ่งถือเป็นผลดีเนื่องจากในงานวิจัยนี้มีวัตถุประสงค์ที่ต้องการลดอุณหภูมิในการเผาชิ้นงานให้ต่ำลงอยู่แล้วนั่นเอง

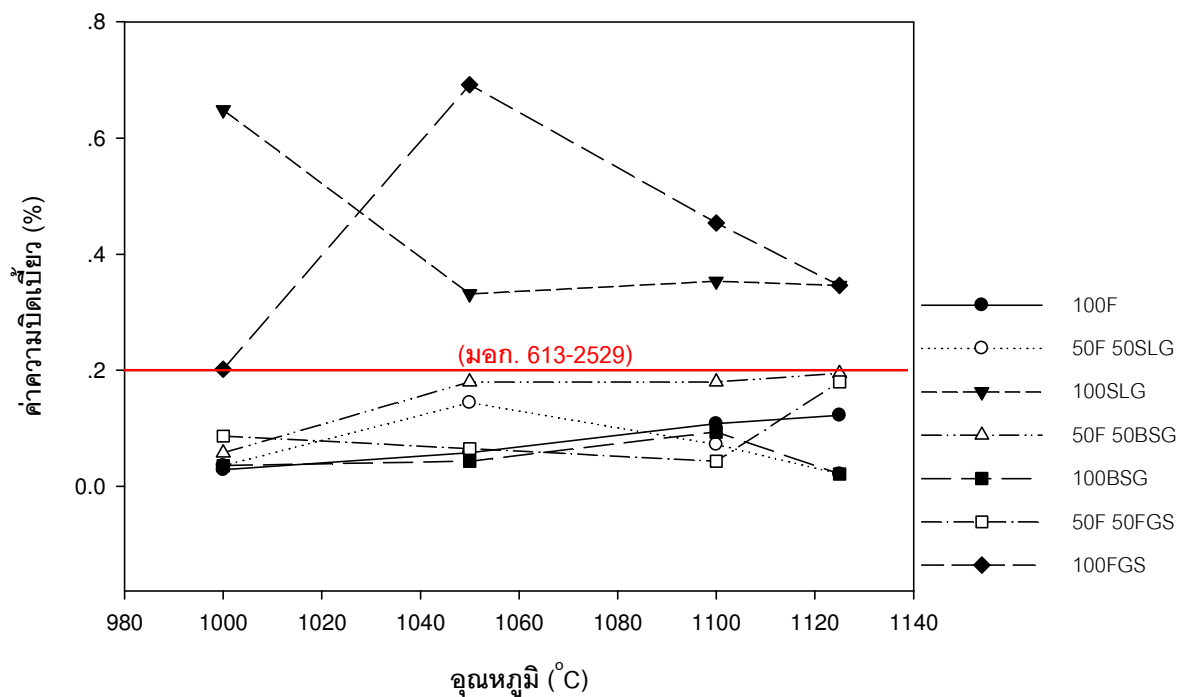
ตารางที่ 4.11

ผลการทดสอบความบิดเบี้ยวในลักษณะนูนขึ้นและแยกลงตามแนวเส้นทแยงมุม

ของชิ้นงานหลังเผาที่อุณหภูมิต่างๆ ในการทดลองครั้งที่ 1

อุณหภูมิเผา (°C)	ชื่อสูตร / ค่าความบิดเบี้ยวบนนูนขึ้น-แยกลงตามแนวเส้นทแยงมุม (%)						
	100F (Ref.)	50F 50SLG	100SLG	50F 50BSG	100BSG	50F 50FGS	100FGS
1000	0.03	0.04	0.65	0.06	0.04	0.09	0.20
1050	0.06	0.14	0.33	0.18	0.04	0.06	0.69
1100	0.11	0.07	0.35	0.18	0.09	0.04	0.45
1125	0.12	0.02	0.35	0.19	0.02	0.18	0.35

ภาพที่ 4.9
 กราฟแสดงความสัมพันธ์ระหว่างค่าความปิดเบี้ยวนูนขึ้น - แขนงตามแนวเส้นทแยงมุม^{*}
 และอุณหภูมิในการเพาช์งาน ในการทดสอบครั้งที่ 1



ตารางที่ 4.12

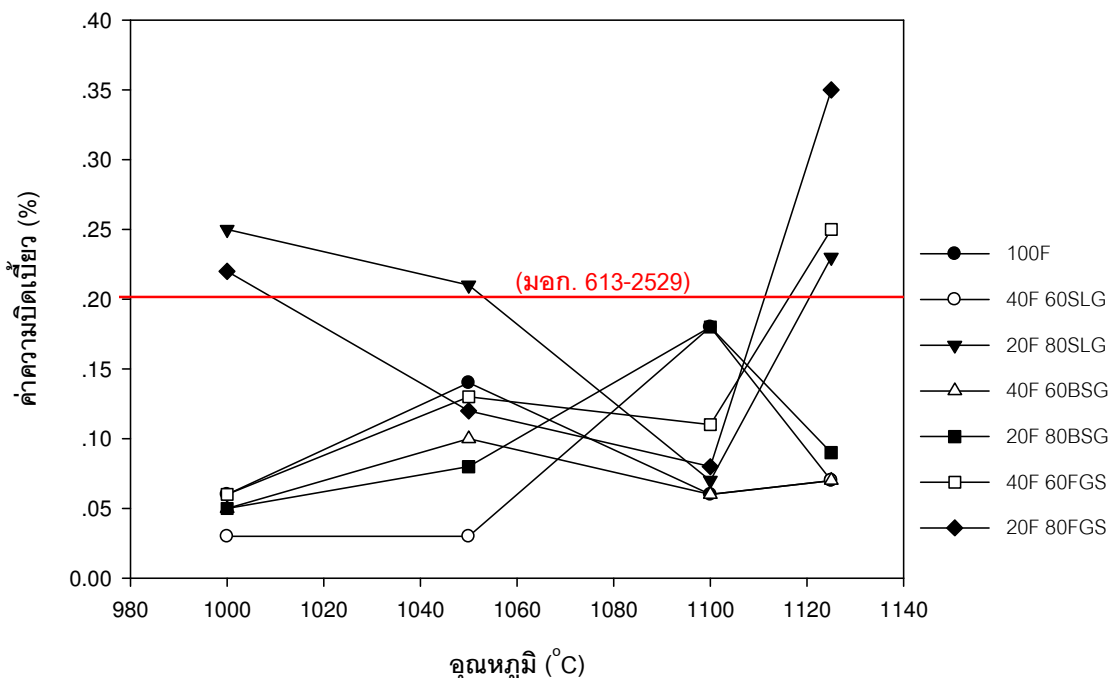
ผลการทดสอบความบิดเบี้ยวในลักษณะนูนขึ้นและเอ่นลงตามแนวเส้นทแยงมุมของชิ้นงานหลังเผาที่อุณหภูมิต่างๆ ในการทดลองครั้งที่ 2

อุณหภูมิเผา (°C)	ชื่อสูตร / ค่าความบิดเบี้ยวบนขึ้น-เอ่นลงตามแนวเส้นทแยงมุม (%)								
	100F (Ref.)	50F 50SLG	40F 60SLG	30F 70SLG	20F 80SLG	50F 50BSG	40F 60BSG	30F 70BSG	20F 80BSG
1000	0.06±0.04	0.03±0.02	0.03±0.01	0.15±0.04	0.25±0.07	0.06±0.02	0.05±0.01	0.19±0.08	0.05±0.00
1050	0.14±0.06	0.04±0.04	0.03±0.02	0.20±0.01	0.21±0.09	0.07±0.02	0.10±0.04	0.10±0.02	0.08±0.06
1100	0.06±0.03	0.08±0.02	0.18±0.07	0.19±0.06	0.07±0.02	0.10±0.04	0.06±0.01	0.11±0.04	0.18±0.08
1125	0.07±0.02	0.16±0.03	0.07±0.04	0.09±0.04	0.23±0.02	0.08±0.06	0.07±0.04	0.08±0.07	0.09±0.06

ตารางที่ 4.12 (ต่อ)

อุณหภูมิเผา (°C)	ชื่อสูตร / ค่าความบิดเบี้ยวบนขึ้น-เอ่นลงตามแนวเส้นทแยงมุม (%)			
	50F 50FGS	40F 60FGS	30F 70FGS	20F 80FGS
1000	0.05±0.02	0.06±0.02	0.04±0.01	0.22±0.08
1050	0.05±0.01	0.13±0.07	0.15±0.09	0.12±0.03
1100	0.18±0.06	0.11±0.03	0.10±0.08	0.08±0.07
1125	0.18±0.07	0.25±0.07	0.27±0.09	0.35±0.06

ภาพที่ 4.10
 กราฟแสดงความสัมพันธ์ระหว่างค่าความบิดเบี้ยวนูนขึ้น - แขนงตามแนวเส้นทแยงมุม
 และอุณหภูมิในการเผาขึ้นงาน ในการทดสอบครั้งที่ 2



จากผลการทดลองทั้ง 2 ครั้ง พบร่วมกันว่า ค่าความบิดเบี้ยวนูนขึ้นและแขนงตามแนวเส้นทแยงมุมของชิ้นงานหลังเผาทุกสูตร มีค่าผ่านตามเกณฑ์มาตรฐานผลิตภัณฑ์กระเบื้องบุผนังภายนอกอาคาร มอก. 614-2529 ซึ่งค่าความบิดเบี้ยวนูนขึ้นและแขนงตามแนวเส้นทแยงมุมของชิ้นงานที่ใช้เศษแก้วชนิดโซเดียม แต่ต้องไม่เกินร้อยละ 0.75 และสำหรับมาตรฐานการผลิตกระเบื้องบุผนังภายนอกอาคาร มอก. 613-2529 ซึ่งต้องมีค่าความบิดเบี้ยวนูนตามแนวเส้นทแยงมุมในลักษณะนูนขึ้นไม่เกินร้อยละ 0.3 และแขนงไม่เกินร้อยละ 0.2 นั้น ชิ้นงานที่ใช้เศษแก้วชนิดโซเดียม และการตากอนเคลือบพร็อตเป็นตัวช่วยหลอมแทนที่แร่โซเดียมเฟล์ดสปาร์ มีค่าความบิดเบี้ยวนูนขึ้นไม่ผ่านตามเกณฑ์มาตรฐาน โดยสำหรับเศษแก้วโซเดียม พบร่วมกันว่า การใช้แทนที่ในปริมาณตั้งแต่ 70% ขึ้นไป จะทำให้ค่าความบิดเบี้ยวนูนขึ้นไม่ผ่านตามเกณฑ์มาตรฐาน โดยเฉพาะการเผาที่อุณหภูมิสูง 1,125°C ดังนั้น จึงสรุปได้ว่า การใช้เศษแก้วชนิดโซเดียม และการตากอน

เคลือบพริตเป็นตัวช่วยหลอมท่อแทนแร่โซเดียมเฟล์ดสปาร์นั้น มีผลต่อความบิดเบี้ยวในลักษณะนุ่มนิ่นและแอนลงของชิ้นงานหลังเผา ทั้งตามแนวขอบและตามแนวเส้นท่อแยกของชิ้นงาน โดยจะมีผลมากขึ้นกับการใช้ในปริมาณที่สูงขึ้น และทำการเผาชิ้นงานที่อุณหภูมิสูง แต่สำหรับเศษเก้าอี้นิดใบโซเดียมตันนี้ ไม่มีผลต่อค่าความบิดเบี้ยวในลักษณะนุ่มนิ่นและแอนลงของชิ้นงานหลังเผา ดังนั้น จึงถือได้ว่าเป็นวัสดุเหลือทิ้งประเภทเดียวกับที่สามารถนำมาใช้เป็นตัวช่วยหลอมได้ โดยไม่ส่งผลกระทบใดๆ ต่อความบิดเบี้ยวของชิ้นงานหลังเผาในลักษณะนุ่มนิ่นและแอนลง

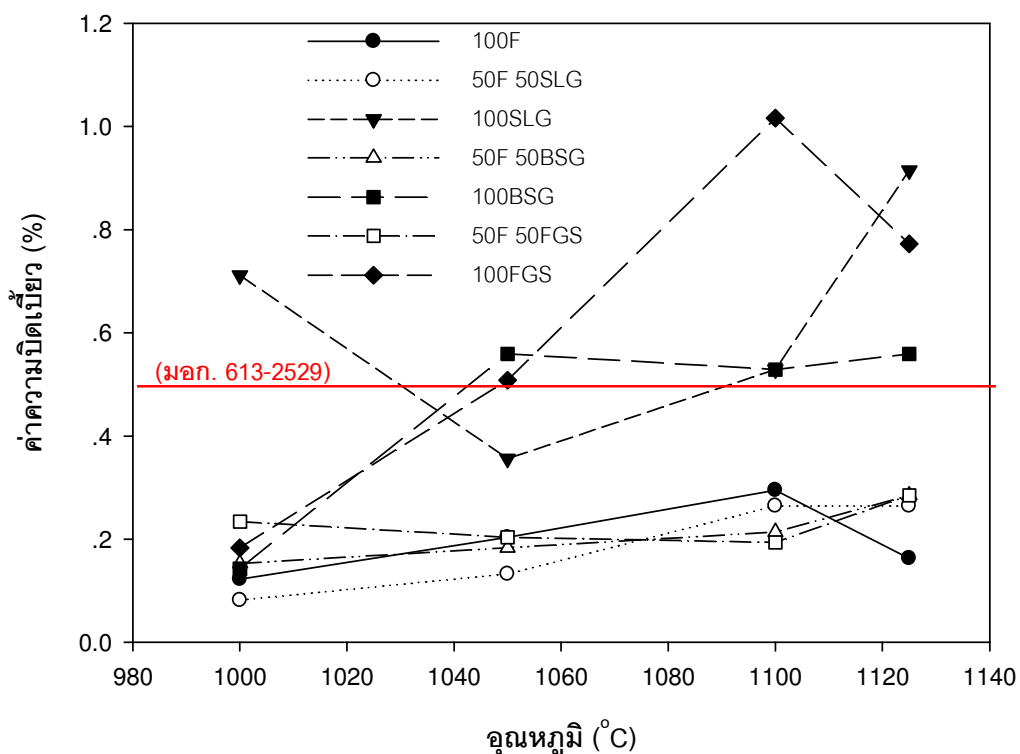
4.3.4.2 ผลการทดสอบความบิดเบี้ยวของชิ้นงานในลักษณะโครงออกและเว้าเข้า

นอกจากการทดสอบความบิดเบี้ยวของชิ้นงานหลังเผาในลักษณะนุ่มนิ่นและแอนลงแล้ว ตามมาตรฐานการผลิตกระเบื้องบุผนังเซรามิกทั้งประเภทภายในและภายนอกอาคาร ยังต้องทดสอบความบิดเบี้ยวในลักษณะโครงออกและเว้าเข้าตามแนวขอบของกระเบื้องอีกด้วย โดยตามเกณฑ์มาตรฐานผลิตภัณฑ์อุตสาหกรรมกระเบื้องเซรามิกบุผนังภายใน มอก. 613-2529 จะต้องมีค่าความบิดเบี้ยวในลักษณะโครงออกและเว้าเข้าตามแนวขอบของกระเบื้อง ไม่เกินร้อยละ 0.5 และสำหรับมาตรฐานผลิตภัณฑ์อุตสาหกรรมกระเบื้องเซรามิกบุผนังภายนอก มอก. 614-2529 จะต้องมีค่าความบิดเบี้ยวในลักษณะโครงออกและเว้าเข้าตามแนวขอบของกระเบื้อง ไม่เกินร้อยละ 0.75 ผลการทดสอบความบิดเบี้ยวในลักษณะโครงออกและเว้าเข้าตามแนวขอบของชิ้นงานหลังผ่านการเผาที่อุณหภูมิต่างๆ ในการทดลองครั้งที่ 1 และครั้งที่ 2 แสดงดังตารางที่ 4.13 - 4.14 และแสดงเป็นกราฟในภาพที่ 4.11 – 4.12 ตามลำดับ

ตารางที่ 4.13
ผลการทดสอบความบิดเบี้ยวในลักษณะโค้งออกและเว้าเข้าตามแนวขอบ
ของชิ้นงานหลังเผาที่อุณหภูมิต่างๆ ในการทดลองครั้งที่ 1

อุณหภูมิเผา (°C)	ชื่อสูตร / ค่าความบิดเบี้ยวโค้งออก-เว้าเข้าตามแนวขอบ (%)						
	100F (Ref.)	50F 50SLG	100SLG	50F 50BSG	100BSG	50F 50FGS	100FGS
1000	0.12	0.08	0.71	0.15	0.14	0.23	0.18
1050	0.20	0.13	0.36	0.18	0.56	0.20	0.51
1100	0.29	0.26	0.53	0.21	0.53	0.19	1.02
1125	0.16	0.26	0.91	0.28	0.56	0.28	0.77

ภาพที่ 4.11
กราฟแสดงความสัมพันธ์ระหว่างค่าความบิดเบี้ยวโค้งออก - เว้าเข้าตามแนวขอบ
และอุณหภูมิในการเผาชิ้นงาน ในการทดลองครั้งที่ 1



ตารางที่ 4.14

ผลการทดสอบความบิดเบี้ยวในลักษณะโค้งออกและเว้าเข้าตามแนวของขั้นงานหลังเผาที่อุณหภูมิต่างๆ ในการทดลองครั้งที่ 2

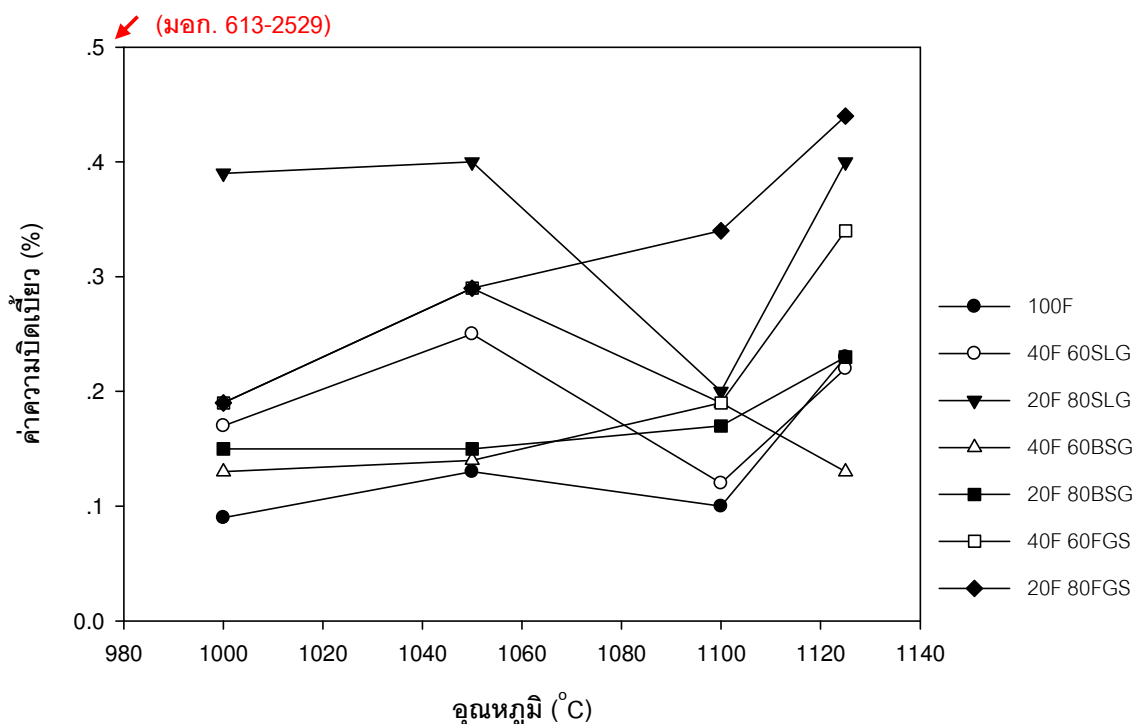
อุณหภูมิเผา (°C)	ชื่อสูตร / ค่าความบิดเบี้ยวโค้งออก-เว้าเข้าตามแนวของ (%)								
	100F (Ref.)	50F 50SLG	40F 60SLG	30F 70SLG	20F 80SLG	50F 50BSG	40F 60BSG	30F 70BSG	20F 80BSG
1000	0.09±0.03	0.12±0.07	0.17±0.04	0.27±0.01	0.39±0.05	0.06±0.02	0.13±0.05	0.13±0.00	0.15±0.04
1050	0.13±0.05	0.18±0.04	0.25±0.07	0.21±0.04	0.40±0.09	0.18±0.03	0.14±0.04	0.17±0.05	0.15±0.04
1100	0.10±0.03	0.07±0.02	0.12±0.04	0.19±0.06	0.20±0.08	0.09±0.06	0.19±0.05	0.18±0.05	0.17±0.06
1125	0.23±0.03	0.29±0.04	0.22±0.06	0.32±0.08	0.40±0.05	0.20±0.07	0.13±0.08	0.33±0.09	0.23±0.01

ตารางที่ 4.14 (ต่อ)

อุณหภูมิเผา (°C)	ชื่อสูตร / ค่าความบิดเบี้ยวโค้งออก-เว้าเข้าตามแนวของ (%)			
	50F 50FGS	40F 60FGS	30F 70FGS	20F 80FGS
1000	0.12±0.01	0.19±0.04	0.18±0.06	0.19±0.09
1050	0.25±0.08	0.29±0.03	0.19±0.05	0.29±0.05
1100	0.19±0.06	0.19±0.00	0.33±0.04	0.34±0.06
1125	0.35±0.01	0.34±0.02	0.35±0.08	0.44±0.09

ภาพที่ 4.12

กราฟแสดงความสัมพันธ์ระหว่างค่าความบิดเบี้ยงต้องออก - เว้าเข้าตามแนวขอบ
และอุณหภูมิในการเพาช์งาน ในการทดลองครั้งที่ 2



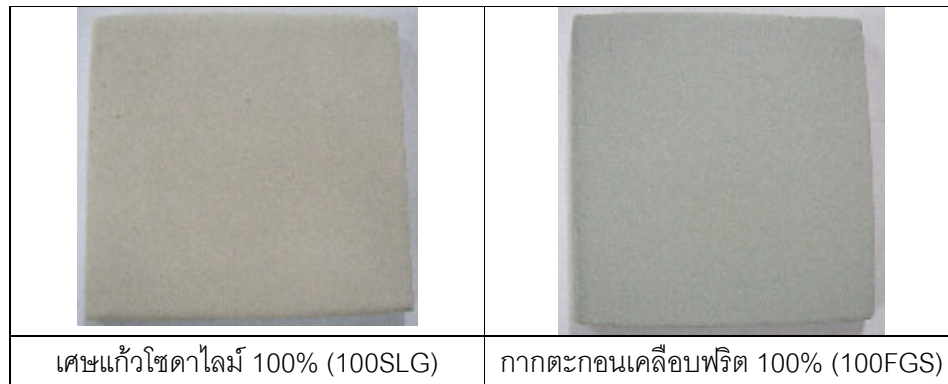
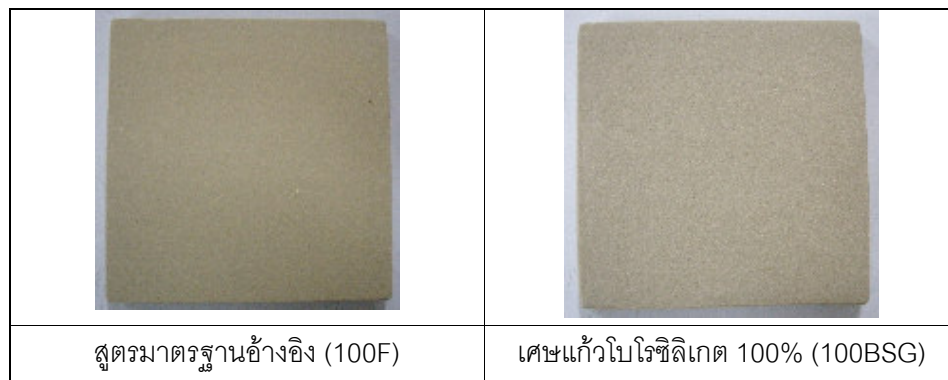
จากผลการทดลองในครั้งที่ 1 พบร่วมกับการใช้วัสดุเหลือทิ้งทั้ง 3 ประเภทเป็นตัวช่วยลดคอมแพคแทนแร่โซเดียมเพล็ทสปาร์รีนสูตรกระเบี้องในปริมาณ 100% นั้น ให้ผลค่าความบิดเบี้ยงในลักษณะโค้งออกและเว้าเข้าตามแนวขอบของชิ้นงานหลังเผา ส่วนใหญ่ไม่ผ่านตามเกณฑ์มาตรฐานผลิตภัณฑ์อุตสาหกรรมกระเบื้องเซรามิกทั้งประเภทบุพังภัยในและภายนอกอาคาร (模樣 613-2529 และ 模樣 614-2529 ตามลำดับ) มีเพียงเฉพาะการใช้เศษแก้วใบไวซิลิเกตเท่านั้น ที่มีค่าความบิดเบี้ยวยังคงดีกว่าตามเกณฑ์มาตรฐานกระเบื้องบุพังภัยนอก ซึ่งมีค่าไม่เกินร้อยละ 0.75 แต่สำหรับมาตรฐานกระเบื้องบุพังภัยใน ซึ่งต้องมีค่าไม่เกินร้อยละ 0.5 นั้น พบร่วมกับการทดลองส่วนใหญ่ยังมีค่าไม่ผ่านตามเกณฑ์มาตรฐาน ยกเว้นการเผาที่อุณหภูมิต่ำสุด 1,000°C เท่านั้น ที่ผลการทดสอบมีค่าผ่านตามเกณฑ์มาตรฐาน ดังนั้น ในการทดลองครั้งที่ 2 จึงได้ทำการลดปริมาณการใช้วัสดุเหลือทิ้งประเภทต่างๆ ลง ผลที่ได้พบว่า ชิ้นงานทุกสูตรมีค่าความบิดเบี้ยงในลักษณะโค้งออกและเว้าเข้าตามแนวขอบผ่านตามเกณฑ์มาตรฐานทั้งหมด ทั้งประเภทกระเบื้อง

บุผนังภายในและภายนอกอาคาร โดยจากการ์ฟในภาพที่ 4.12 พบว่า เศษแก้วโซดาไอล์ฟ และกากระดับเคลือบพริต จะมีผลทำให้เกิดความบิดเบี้ยวของชิ้นงานหลังเผาในลักษณะนี้ได้มากที่สุด โดยค่าความบิดเบี้ยวจะมากขึ้นตามปริมาณการใช้ในสูตร และอุณหภูมิในการเผาที่สูงขึ้นด้วย

ดังนั้น จากผลการทดลองเกี่ยวกับค่าความบิดเบี้ยวของชิ้นงานหลังเผาทั้งหมด ทั้ง การทดสอบในลักษณะนูนขึ้น-แย่นลง และการทดสอบในลักษณะโค้งออก-เว้าเข้า สามารถสรุปได้ว่า เศษแก้วใบโพธิ์ลิกเกต เป็นวัสดุเหลือทิ้งที่สามารถใช้เป็นตัวช่วยหลอมทดแทนแร่โซเดียม เฟล์ดสปาร์ในสูตรgraveเบื้องบุผนังได้ดีที่สุด เนื่องจากส่งผลต่อค่าความบิดเบี้ยวของชิ้นงานหลังเผา ที่น้อยที่สุด เมื่อเปรียบเทียบกับเศษแก้วโซดาไอล์ฟ และกากระดับเคลือบพริต ตามผลการทดลองดังที่ได้กล่าวมาแล้ว และแสดงชิ้นงานให้เห็นดังภาพที่ 4.13

ภาพที่ 4.13

ชิ้นงานgraveเบื้องที่ใช้วัสดุเหลือทิ้งทั้ง 3 ประเภททดแทนแร่โซเดียมเฟล์ดสปาร์ในปริมาณ 100% และชิ้นงานสูตรมาตรฐานอ้างอิง เพื่อเปรียบเทียบความบิดเบี้ยวของชิ้นงานหลังผ่านการเผา
ที่อุณหภูมิ $1,125^{\circ}\text{C}$



4.4 ผลการทดสอบสมบัติทางกลของชิ้นงานหลังเผา

การทดสอบสมบัติทางกลของชิ้นงานหลังเผาในงานวิจัยนี้ ใช้การทดสอบความแข็งแรงของชิ้นงานโดยหาค่าความต้านทานแรงดึงแบบ 3-point bending strength ข้าง Kong ตามมาตรฐานผลิตภัณฑ์อุตสาหกรรมกระเบื้องบุพนังป้ายนอกอาคาร มอก. 614-2529 ซึ่งกำหนดไว้ว่า กระเบื้องประทეบทุกแผ่นป้ายนอกจะต้องมีค่าความต้านทานแรงดึงไม่น้อยกว่า 20 เมกะปาสคัล โดยสำหรับกระเบื้องบุพนังป้ายใน ตามมาตรฐานผลิตภัณฑ์อุตสาหกรรม มอก. 613-2529 ไม่จำเป็นต้องทดสอบค่าความต้านทานแรงดึง

โดยปกติค่าความแข็งแรงของชิ้นงานหลังเผา จะมีความสัมพันธ์กับปริมาณรูพูนุที่มีอยู่ภายในเนื้อชิ้นงาน หากชิ้นงานมีปริมาณรูพูนุที่มากกว่า ย่อมส่งผลต่อค่าความแข็งแรงที่น้อยกว่าตามไปด้วย ชิ้นงานโดยส่วนใหญ่เมื่อทำการเผาที่อุณหภูมิสูงขึ้น ย่อมมีการหลอมตัวได้ดีกว่า จึงมีปริมาณรูพูนุหลงเหลืออยู่ภายในเนื้อชิ้นงานน้อย และส่งผลให้ค่าความแข็งแรงของชิ้นงานเพิ่มขึ้นตามไปด้วย ซึ่งจากการทดลองงานวิจัยที่ผ่านมาของหลาย ๆ ท่าน ได้แก่ Matteucci และคณะ (2002), Luz และ Ribeiro (2007) และ Andreola และคณะ (2008) ที่ให้ผลการทดสอบเป็นไปในทำนองดังกล่าว

ผลการทดสอบค่าความต้านทานแรงดึงของชิ้นงานหลังเผาที่อุณหภูมิต่างๆ ในกราฟทดลองทั้งสองครั้ง แสดงดังตารางที่ 4.15 – 4.16 และแสดงเป็นกราฟในภาพที่ 4.14 และ 4.15 ตามลำดับ

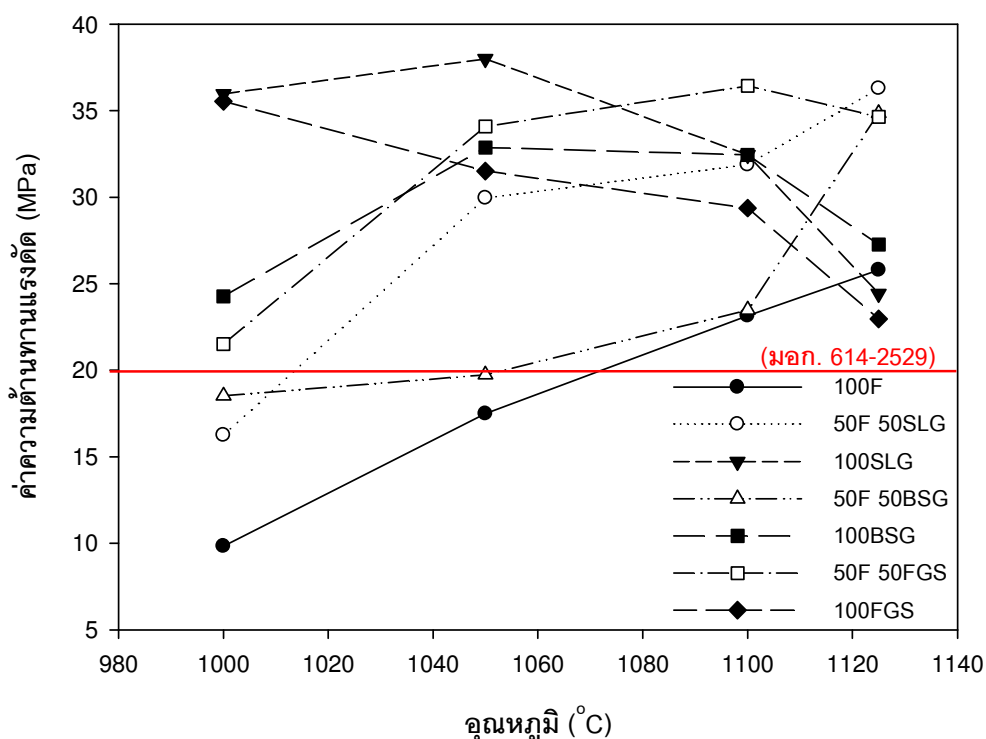
ตารางที่ 4.15

ผลการทดสอบความต้านทานแรงดึงดูดของชิ้นงานหลังเผาที่อุณหภูมิต่างๆ ในการทดลองครั้งที่ 1

อุณหภูมิเผา (°C)	สีอสูตร / ค่าความต้านทานแรงดึงดูด (เมกะปานาสกาล)						
	100F (Ref.)	50F 50SLG	100SLG	50F 50BSG	100BSG	50F 50FGS	100FGS
1000	9.82	16.24	35.97	18.52	24.27	21.51	35.53
1050	17.49	29.95	37.99	19.74	32.86	34.07	31.51
1100	23.14	31.87	32.45	23.47	32.44	36.43	29.37
1125	25.79	36.28	24.43	34.84	27.26	34.63	22.96

ภาพที่ 4.14

กราฟแสดงความสัมพันธ์ระหว่างค่าความต้านทานแรงดึงดูด และอุณหภูมิในการเผาชิ้นงาน
ในการทดลองครั้งที่ 1



ตารางที่ 4.16

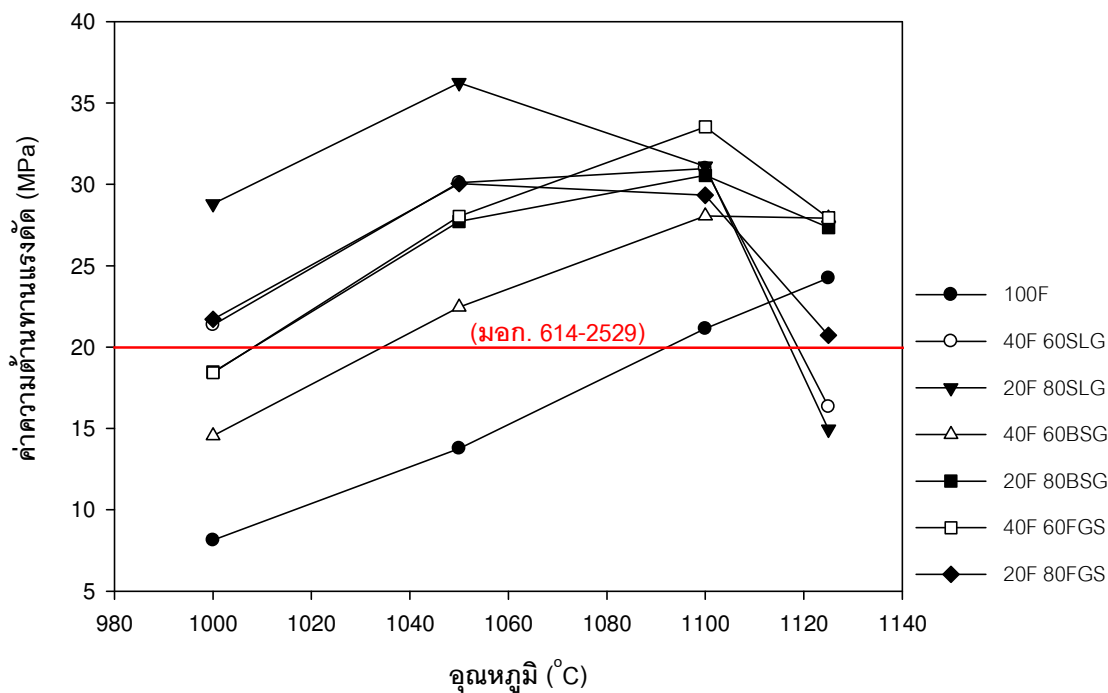
ผลการทดสอบความต้านทานแรงดัดของชิ้นงานหลังเผาที่อุณหภูมิต่างๆ ในการทดลองครั้งที่ 2

อุณหภูมิเผา (°C)	ชื่อสูตร / ค่าความต้านทานแรงดัด (เมกะปานาล)								
	100F (Ref.)	50F 50SLG	40F 60SLG	30F 70SLG	20F 80SLG	50F 50BSG	40F 60BSG	30F 70BSG	20F 80BSG
1000	8.14±0.64	15.64±0.34	21.35±0.31	26.33±2.20	28.80±0.64	15.49±1.48	14.55±0.43	17.66±1.86	18.47±1.15
1050	13.77±0.96	25.78±2.61	30.10±1.95	26.85±3.63	36.24±1.03	21.06±1.88	22.46±2.56	25.01±1.89	27.72±2.93
1100	21.13±1.66	30.54±1.03	30.98±2.00	30.49±2.43	31.11±2.23	28.76±1.54	28.05±0.74	30.41±1.12	30.55±1.56
1125	24.24±1.81	31.42±0.61	16.34±0.72	31.28±1.35	14.94±1.45	29.43±0.28	27.91±1.55	30.50±1.15	27.35±0.83

ตารางที่ 4.16 (ต่อ)

อุณหภูมิเผา (°C)	ชื่อสูตร / ค่าความต้านทานแรงดัด (เมกะปานาล)			
	50F 50FGS	40F 60FGS	30F 70FGS	20F 80FGS
1000	17.66±1.04	18.42±0.51	22.60±0.85	21.71±0.21
1050	27.76±0.70	28.03±0.83	31.77±0.66	30.05±0.24
1100	29.91±2.11	33.52±1.81	31.23±1.86	29.33±0.44
1125	26.14±0.41	27.94±1.94	24.72±1.61	20.72±3.48

ภาพที่ 4.15
กราฟแสดงความสัมพันธ์ระหว่างค่าความต้านทานแรงดัด และอุณหภูมิในการเผาชิ้นงาน
ในการทดลองครั้งที่ 2



จากผลการทดลองในครั้งที่ 1 พบว่า ค่าความต้านทานแรงดัดของชิ้นงานส่วนใหญ่มีค่าเพิ่มขึ้นตามอุณหภูมิการเผาที่เพิ่มขึ้น โดยชิ้นงานสูตรมาตรฐานที่ใช้ไวซ์เดียมเฟล์ดสปาร์เป็นตัวช่วยหลอมเพียงอย่างเดียว และสูตรทดลองที่มีการแทนที่ไวซ์เดียมเฟล์ดสปาร์ด้วยเศษแก้วโซดาไลม์ และเศษแก้วใบไวซิลิกาตในปริมาณ 50% นั้น มีค่าความแข็งแรงไม่ผ่านตามเกณฑ์มาตรฐาน มอก. 614-2529 (มีค่าความต้านทานแรงดัด ต่ำกว่า 20 MPa) ที่การเผาที่อุณหภูมิต่ำๆ (1,000 และ 1,050 °C) แต่ค่าความแข็งแรงจะเพิ่มสูงขึ้น และผ่านตามเกณฑ์มาตรฐานเมื่อทำการเผาที่อุณหภูมิสูงขึ้น ส่วนสูตรการทดลองที่มีการใช้วัสดุเหล็กทั้ง 3 ประเภทเป็นตัวช่วยหลอมแทนที่ไวซ์เดียมเฟล์ดสปาร์ทั้งหมดในปริมาณ 100% นั้น พบว่ามีค่าความแข็งแรงผ่านตามเกณฑ์มาตรฐานทั้งหมดในทุกๆ อุณหภูมิการเผา แต่สังเกตได้ว่าค่าความแข็งแรงของชิ้นงานจะมีค่าลดลงเมื่อทำการเผาที่อุณหภูมิสูงขึ้น โดยเฉพาะที่อุณหภูมิ Heraeus แต่ 1,100 °C ขึ้นไป

และผลจากการทดลองในครั้งที่ 2 พบว่า มีความสอดคล้องกับครั้งแรก กล่าวคือ ชิ้นงานจะมีค่าความแข็งแรงเพิ่มขึ้น เมื่อทำการเผาที่อุณหภูมิสูงขึ้น แต่เมื่ออุณหภูมิสูงสุดที่ใช้ใน การทดลอง ($1,125^{\circ}\text{C}$) ชิ้นงานส่วนใหญ่จะมีค่าความแข็งแรงที่ลดลง ยกเว้นชิ้นงานสูตรมาตราฐาน ที่ใช้แร่โซเดียมเฟล์ดสปาร์เป็นตัวช่วยหลอมเพียงอย่างเดียว และชิ้นงานสูตรที่ใช้เศษแก้วโซดาไลม์ และเศษแก้วใบโพธิ์ลิกเกตเป็นตัวช่วยหลอมทดแทนแร่โซเดียมเฟล์ดสปาร์ในปริมาณ 50% ที่ยังคงมี ค่าความแข็งแรงเพิ่มขึ้นตามอุณหภูมิในการเผา ส่วนชิ้นงานสูตรที่มีการใช้กากตะกอนเคลือบพริต ทดแทนแร่โซเดียมเฟล์ดสปาร์ในทุกปริมาณ มีค่าความแข็งแรงหลังเผาลดลงที่อุณหภูมิการเผา สูงสุด ($1,125^{\circ}\text{C}$) ทั้งสิ้น และสำหรับการเผาที่อุณหภูมิต่ำสุด ($1,000^{\circ}\text{C}$) พบว่า ชิ้นงานส่วนใหญ่ยัง มีค่าความแข็งแรงไม่ผ่านตามเกณฑ์มาตรฐานอุตสาหกรรม มอก. 614-2529 ยกเว้นชิ้นงานสูตรที่มี การใช้เศษแก้วโซดาไลม์ และกากตะกอนเคลือบพริตแทนที่แร่โซเดียมเฟล์ดสปาร์ในปริมาณที่ ค่อนข้างสูง (70 และ 80% โดยน้ำหนัก) ที่มีค่าความแข็งแรงผ่านตามเกณฑ์มาตรฐานตั้งแต่การเผา ที่อุณหภูมิต่ำสุด $1,000^{\circ}\text{C}$ สำหรับเศษแก้วใบโพธิ์ลิกเกตนั้น ถึงแม้ค่าความแข็งแรงของชิ้นงานจะยัง ไม่ผ่านตามเกณฑ์มาตรฐาน ณ การเผาที่อุณหภูมิต่ำสุด แต่ก็พบว่ามีค่าความแข็งแรงที่มากกว่า ชิ้นงานสูตรมาตราฐานซึ่งใช้แร่โซเดียมเฟล์ดสปาร์เป็นตัวช่วยหลอมเพียงอย่างเดียวค่อนข้างมาก

ดังนั้น จากผลการทดลองทั้ง 2 ครั้ง จึงสรุปโดยรวมได้ว่า การใช้วัสดุเหลือทิ้งทั้ง 3 ประเภทเป็นตัวช่วยหลอมทดแทนแร่โซเดียมเฟล์ดสปาร์นั้น ให้ผลค่าความแข็งแรงหลังเผาที่ดีกว่า การใช้แร่โซเดียมเฟล์ดสปาร์เป็นตัวช่วยหลอมในสูตรกระเบี้องบุผนังแต่เพียงอย่างเดียว โดยค่า ความแข็งแรงของชิ้นงานจะเพิ่มขึ้นตามอุณหภูมิที่ใช้ในการเผา และตามปริมาณการใช้วัสดุเหลือ ทิ้งประเภทต่างๆ ในสูตรที่มากขึ้น แต่สำหรับการเผาที่อุณหภูมิสูงกว่า $1,100^{\circ}\text{C}$ ขึ้นไป จะพบว่า ให้ผลในทางตรงกันข้าม กล่าวคือ ค่าความแข็งแรงของชิ้นงานกลับมีค่าลดลง แต่นั้นเป็นผลที่ เนื่องจากการนำวัสดุเหลือทิ้งประเภทต่างๆ มาใช้เป็นตัวช่วยหลอมในสูตรนั้น จะให้ค่าความ แข็งแรงของชิ้นงานหลังเผาผ่านตามเกณฑ์มาตรฐานตั้งแต่การเผาที่อุณหภูมิต่ำๆ จึงเป็นการช่วย ลดอุณหภูมิที่ใช้ในการเผาชิ้นงานลง ทำให้ช่วยประยัดพลังงานเข้าเพลิงในการเผาได้ โดยผลจาก การทดสอบค่าความแข็งแรงของชิ้นงานทั้ง 2 ครั้งนั้น มีความสอดคล้องกับค่าการทดสอบตัวเชิงเส้น ค่า ความหนาแน่น และค่าการดูดซึมน้ำของชิ้นงานหลังเผาตามที่ได้กล่าวมาแล้วในข้างต้น

นอกจากนี้ ยังพบว่าผลจากการทดลองสอดคล้องกับผลงานวิจัยที่ผ่านมาของหลาย ๆ ท่าน ได้แก่ Matteucci และคณะ (2002), Luz และ Ribeiro (2007) และ Andreola และคณะ (2008) ที่พบว่า จากการวิจัยที่ใช้เศษแก้วชนิดโซดาไลม์ และแก้ว CRT มาเป็นวัสดุหลักที่ทดแทน แร่โซเดียมเฟล์ดสปาร์สำหรับการผลิตกระเบื้องเซรามิกชนิดเนื้อพอร์ซเลน – สโตนแวร์นั้น การเผา

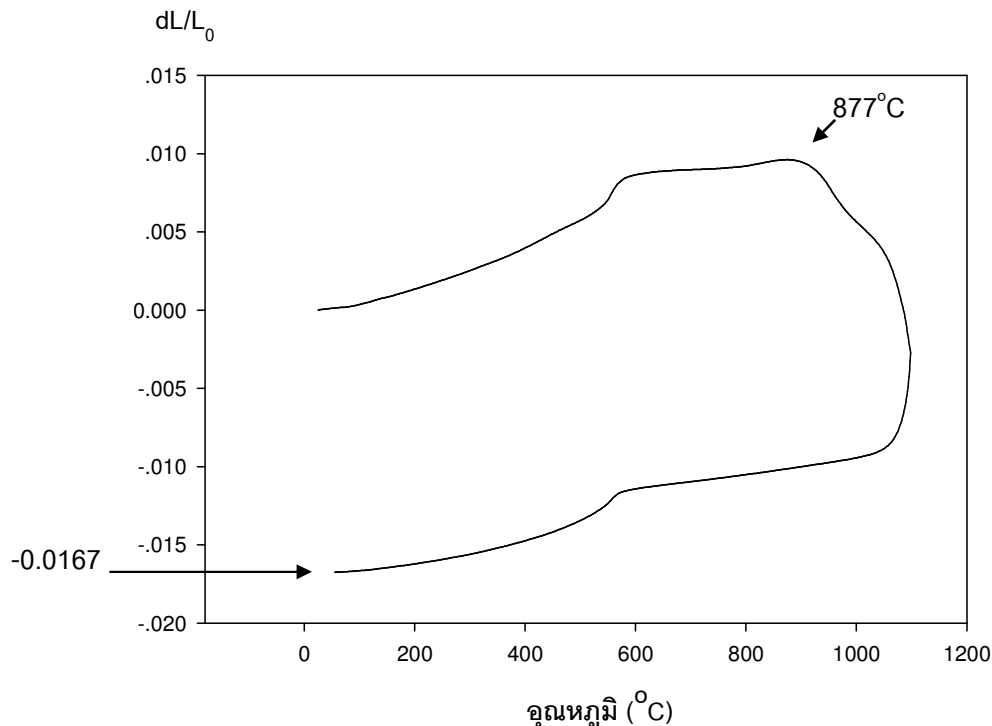
ขึ้นงานที่อุณหภูมิสูงขึ้นตั้งแต่ $1,120 - 1,250^{\circ}\text{C}$ รวมทั้งการใช้ปริมาณเศษแก้วบดที่เพิ่มมากขึ้นจะส่งผลต่อค่าความแข็งแรงที่ลดลงของชิ้นงานหลังเผา เนื่องจากปริมาณรูปผุนปิดที่เกิดขึ้นภายในเนื้อชิ้นงานมีปริมาณเพิ่มมากขึ้นตามปริมาณการใช้เศษแก้ว และการเผาที่อุณหภูมิสูง โดยแต่ละงานวิจัย พบร่องจำกัดของปริมาณการใช้เศษแก้วแต่ละชนิดที่แตกต่างกันออกไป ตามมาตรฐานของเนื้อผลิตภัณฑ์กระเบื้องที่ต้องการเผาและวัตถุดิบที่ใช้ในการผลิต ดังได้กล่าวไว้ในบทที่ 2

4.5 ผลการทดสอบสมบัติทางความร้อน

การทดสอบสมบัติทางความร้อนของชิ้นงานที่ทำในงานวิจัยนี้ ได้แก่ การทดสอบหาค่าการขยายตัวและการทดสอบความร้อนของชิ้นงานในระหว่างกระบวนการให้ความร้อนแก่ชิ้นงาน โดยทำการทดสอบตั้งแต่อุณหภูมิห้อง 25°C จนถึง $1,100^{\circ}\text{C}$ ด้วยเครื่อง Dilatometer ตามที่ได้กล่าวมาแล้วในบทที่ 3 เพื่อป้องกันถึงความสามารถในการหลอมตัวขณะทำการเผาของเนื้อดินกระเบื้องสูตรต่างๆ รวมถึงหากค่าสัมประสิทธิ์การขยายตัวทางความร้อนเชิงเส้น (Coefficient of linear thermal expansion, CTE) ของชิ้นงานระหว่างอุณหภูมิ $30 - 600^{\circ}\text{C}$ เพื่อเป็นประโยชน์ในการนำไปใช้งานต่อ กับสูตรเคลือบเซรามิกต่างๆ ว่ามีค่าการขยายตัวในขณะทำการเผาเข้ากันได้ดีหรือไม่ เนื่องจากจะมีผลต่อตำแหน่งที่เกิดขึ้นบนผลิตภัณฑ์หลังเผา เช่น ตำแหน่งเคลือบราวน หรือเคลือบร้อน หากสูตรเนื้อดินและเคลือบเซรามิกที่ใช้มีค่าสัมประสิทธิ์การขยายตัวทางความร้อนเชิงเส้นที่ไม่เข้ากัน ผลการทดสอบทั้งหมดแสดงดังต่อไปนี้

ภาพที่ 4.16

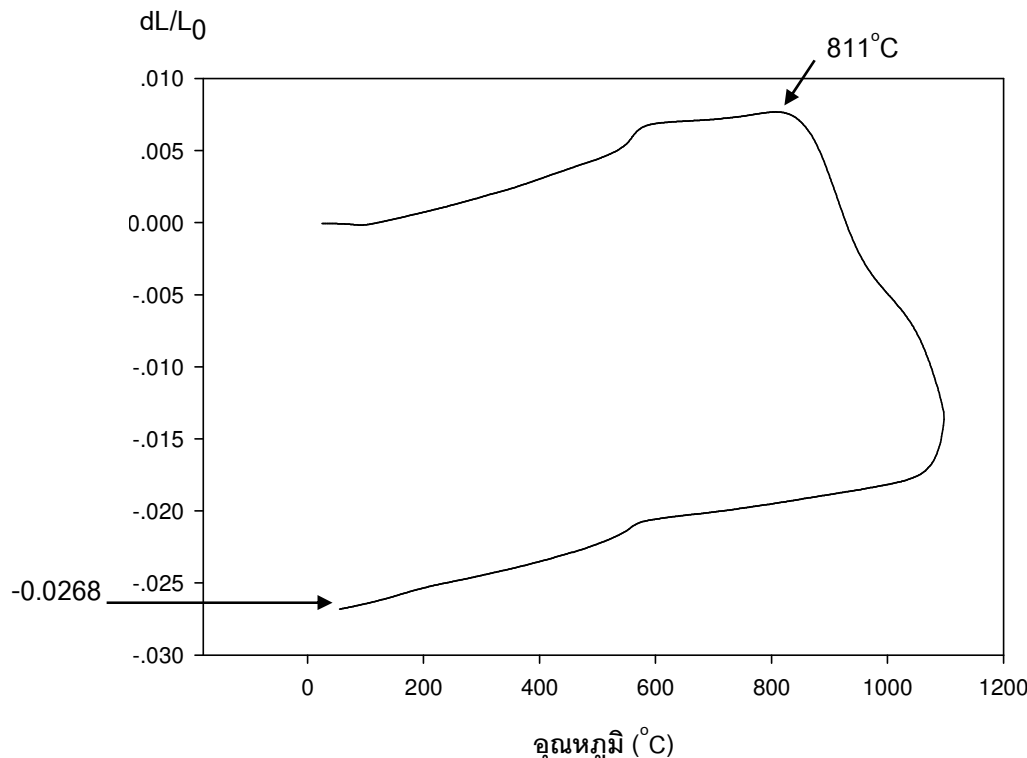
กราฟแสดงความสัมพันธ์ระหว่างค่าการขยายตัวและหดตัวของชิ้นงานระหว่างทำการเผาที่อุณหภูมิ $25 - 1,100^{\circ}\text{C}$ ของสูตรเนื้อดินกระเบื้องมาตรฐาน (100F)



จากผลการทดสอบค่าการขยายตัวและหดตัวเชิงเส้นของชิ้นงานกระเบื้องสูตรมาตรฐาน (100F) ซึ่งใช้แร่โซเดียมเพลต์สปาร์เป็นตัวช่วยหลอมแต่เพียงอย่างเดียวทั้งนี้ พบว่า เมื่อทำการเผาให้ความร้อนแก่ชิ้นงานไปเรื่อยๆ ชิ้นงานจะมีการขยายตัวเพิ่มขึ้น จนกระทั่งถึงอุณหภูมิ 877°C ชิ้นงานจะเริ่มมีการหดตัวลง ซึ่งสังเกตได้จากค่า dL/L_0 ที่เริ่มมีค่าลดลง จากนั้นชิ้นงานจะมีการหดตัวลงอย่างรวดเร็วจนถึงอุณหภูมิสูงสุดที่ $1,100^{\circ}\text{C}$ และถึงแม้จะทำการลดอุณหภูมิเผาลงมาแล้วก็ตาม ยังพบว่าชิ้นงานมีค่าการหดตัวเพิ่มมากขึ้นเรื่อยๆ ในอัตราที่รวดเร็วจนถึงอุณหภูมิประมาณ $1,000^{\circ}\text{C}$ จากนั้นชิ้นงานจะมีอัตราการหดตัวที่ค่อนข้างช้าลง แต่ก็ยังคงมีการหดตัวอย่างต่อเนื่องจนถึงอุณหภูมิห้อง เมื่อสิ้นสุดการเผาพบว่า ค่าการหดตัวของชิ้นงานหลังเผาอยู่ที่ค่า dL/L_0 เท่ากับ -0.0167

ภาพที่ 4.17

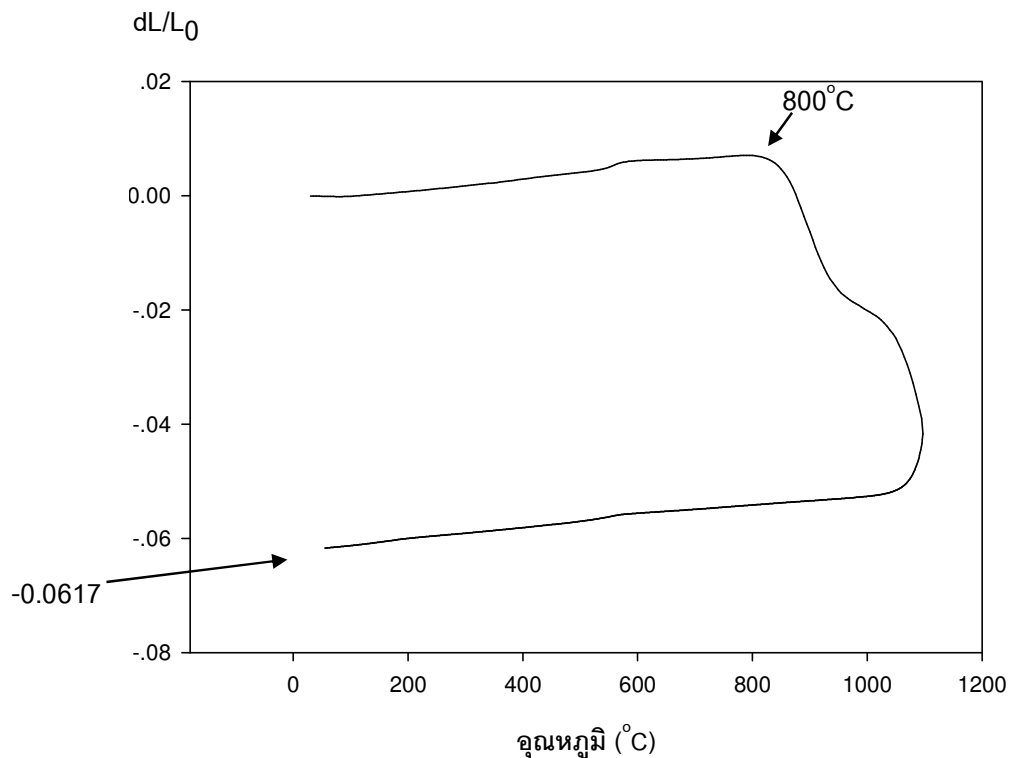
กราฟแสดงความสัมพันธ์ระหว่างค่าการขยายตัวและหดตัวของชิ้นงานระหว่างทำการเผาที่อุณหภูมิ 25 - 1,100 °C ของเนื้อดินกระเบื้องสูตร 50F 50SLG



สำหรับสูตรที่มีการใช้เศษแก้วโซดาไลม์เป็นตัวช่วยหลอมแทนที่แร่โซเดียมเพลต์สปาร์ในปริมาณ 50% โดยน้ำหนักนั้น พบว่า ชิ้นงานทดลองเมื่อมีการหดตัวครั้งแรกที่อุณหภูมิลดลง ซึ่งหมายถึงเนื้อดินมีการหลอมตัวที่เร็วขึ้นด้วยน้ำเงาะ โดยอุณหภูมิเริ่มต้นที่ชิ้นงานเริ่มมีการหดตัวคือ 811 °C หลังจากนั้น ชิ้นงานจะมีค่าการหดตัวเพิ่มขึ้นอย่างรวดเร็วจนถึงอุณหภูมิเผาสูงสุด 1,100 °C และยังคงหดตัวอย่างต่อเนื่องจนถึงอุณหภูมิห้อง แสดงดังส่วนกราฟในภาพที่ 4.17 โดยเมื่อสิ้นสุดการเผา และชิ้นงานเย็นตัวลงแล้ว พบว่า ค่าการหดตัวของชิ้นงานหลังเผาอยู่ที่ค่า dL/L_0 เท่ากับ -0.0268 ซึ่งมีค่าการหดตัวที่มากกว่าสูตรกระเบื้องมาตรฐาน (100F) เช่นเดียวกับผลของกระเบื้องสูตร 20F 80SLG ซึ่งจะได้กล่าวถึงต่อไป

ภาพที่ 4.18

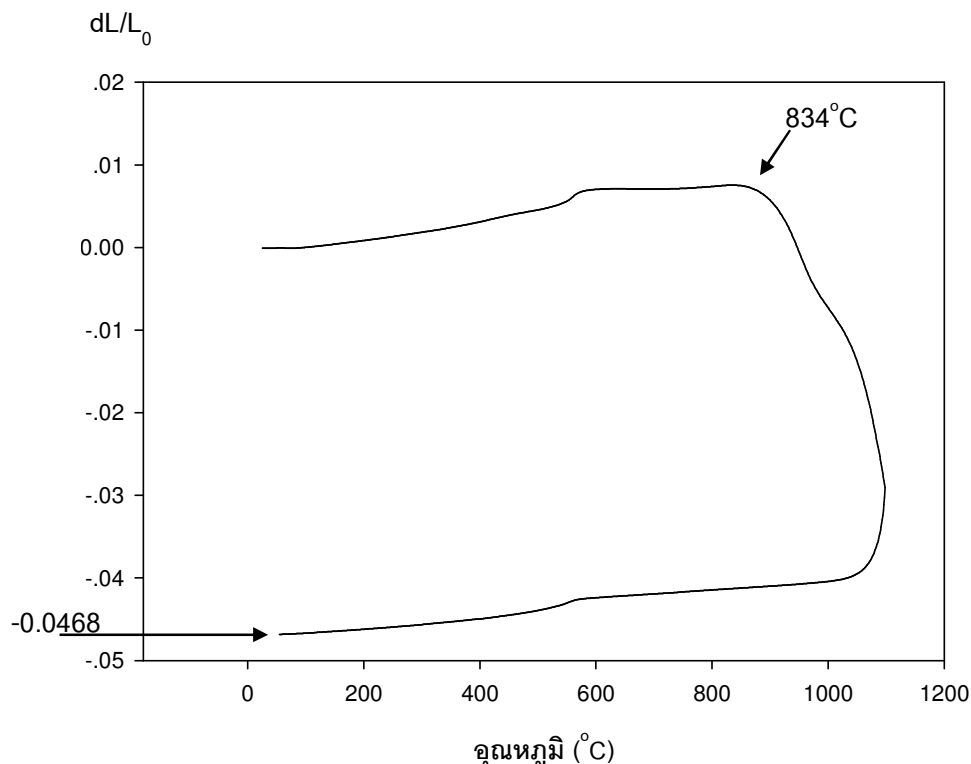
กราฟแสดงความสัมพันธ์ระหว่างค่าการขยายตัวและหดตัวของชิ้นงานระหว่างทำการเผาที่อุณหภูมิ $25 - 1,100^{\circ}\text{C}$ ของเนื้อดินกระเบื้องสูตร 20F 80SLG



จากราฟในภาพที่ 4.18 พบว่า ชิ้นงานทดลองซึ่งใช้เศษแก้วโซดาไล์มเป็นตัวช่วยหลอมแทนที่แร่โซเดียมเพลต์สปาร์ในปริมาณที่มากขึ้นเป็น 80% โดยน้ำหนักนั้น ให้ผลค่าการหดตัวของชิ้นงานหลังเผาที่มากกว่าสูตรที่ใช้ในปริมาณ 50% โดยน้ำหนัก และสูตรมาตรฐานดังกล่าวซึ่งต้น โดยชิ้นงานจะเริ่มมีการหดตัวที่อุณหภูมิลดลงอีกเล็กน้อยที่ 800°C และมีค่าการหดตัวเมื่อสิ้นสุดการเผาที่มากกว่าด้วย นั่นคือ dL/L_0 เท่ากับ -0.0617 ดังแสดงในกราฟ ดังนั้นจึงสรุปได้ว่า การใช้เศษแก้วโซดาไล์มเป็นตัวช่วยหลอมในสูตรเนื้อดินนั้น จะให้ประสิทธิภาพในการหลอมตัวที่มากกว่าการใช้แร่โซเดียมเพลต์สปาร์แต่เพียงอย่างเดียว

ภาพที่ 4.19

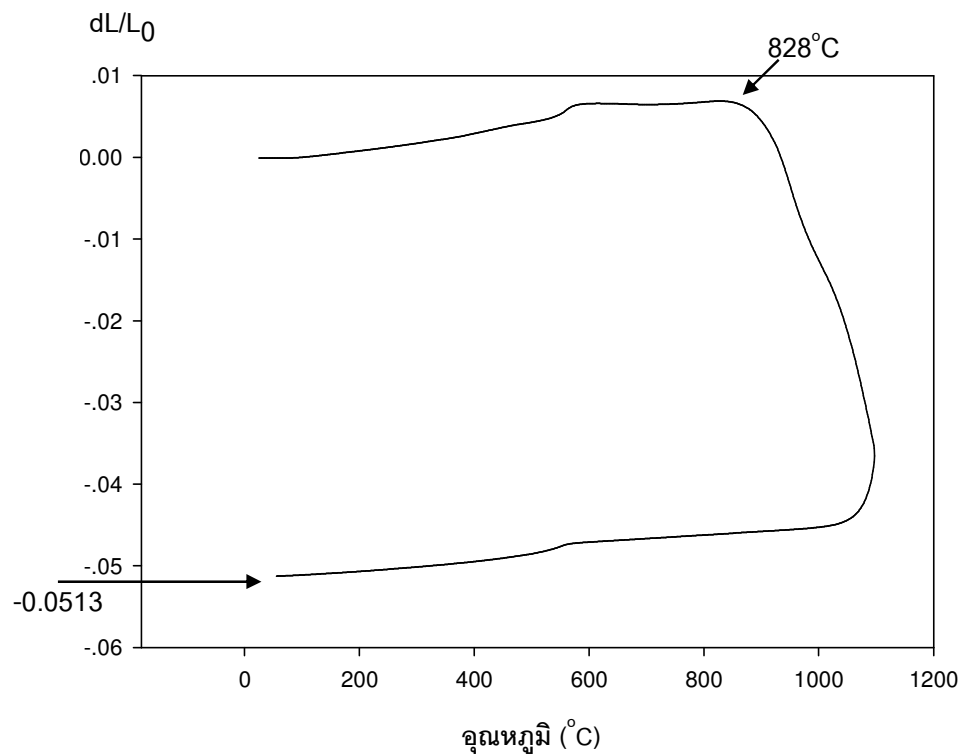
กราฟแสดงความสัมพันธ์ระหว่างค่าการขยายตัวและหดตัวของชิ้นงานระหว่างทำการเผาที่อุณหภูมิ $25 - 1,100^{\circ}\text{C}$ ของเนื้อดินกระเบื้องสูตร 50F 50BSG



สำหรับเศษแก้วใบโพธิลิเกตนั้น จากกราฟในภาพที่ 4.19 พบร่วมกันว่า การใช้แทนที่เรือเดียมเฟล์ดสปาร์ในสูตรทดลองในปริมาณ 50% โดยน้ำหนัก จะทำให้ค่าการหดตัวของชิ้นงานหลังสักสุดการเผาอยู่ที่ค่า dL/L_0 เท่ากับ -0.0468 ซึ่งเป็นค่าที่มากกว่าการหดตัวของชิ้นงานสูตรมาตรฐาน และสูตรที่ใช้เศษแก้วโซดาไอล์มในปริมาณที่เท่ากันด้วย ถึงแม้อุณหภูมิที่ชิ้นงานสูตรนี้เริ่มมีการหดตัวจะมากกว่าอุณหภูมิของชิ้นงานสูตรที่ใช้เศษแก้วโซดาไอล์มอยู่เล็กน้อยตาม (834°C) แต่นั่นจึงสรุปได้ว่า สำหรับการแทนที่เรือเดียมเฟล์ดสปาร์ในปริมาณ 50% โดยน้ำหนักนั้น เศษแก้วใบโพธิลิเกตให้ประสิทธิภาพในการเป็นตัวช่วยลดломได้ดีกว่าเศษแก้วโซดาไอล์ม

ภาพที่ 4.20

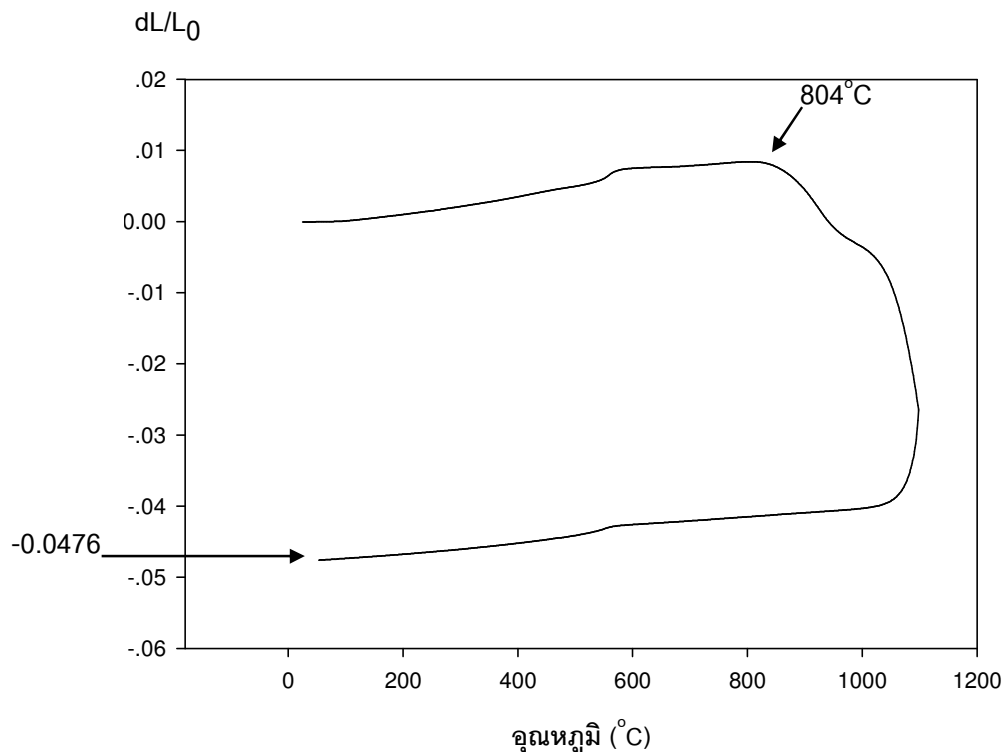
กราฟแสดงความสัมพันธ์ระหว่างค่าการขยายตัวและหดตัวของชิ้นงานระหว่างทำการเผาที่อุณหภูมิ 25 - 1,100 °C ของเนื้อดินกระเบื้องสูตร 20F 80BSG



สำหรับสูตรที่ใช้เศษแก้วใบโพธิลิกเตนที่แร่โซเดียมเฟล์สปาร์ในปริมาณที่เพิ่มขึ้นเป็น 80% โดยน้ำหนัก พบร่วมกับ การหดตัวของชิ้นงานเริ่มต้นที่อุณหภูมิเร็วกว่า (828°C) และมีค่าการหดตัวเมื่อสิ้นสุดการเผามากกว่าการใช้ในปริมาณ 50% โดยน้ำหนักอยู่เล็กน้อย กล่าวคือ มีค่า dL/L_0 อยู่ที่ -0.0513 ดังนั้นจึงสรุปได้ว่า การแทนที่แร่โซเดียมเฟล์สปาร์ด้วยเศษแก้วใบโพธิลิกเตนนั้น ปริมาณในการใช้ไม่ค่อยส่งผลต่อการเปลี่ยนแปลงค่าการหดตัวของชิ้นงานเท่าไนกัน ต่างกับการใช้เศษแก้วชนิดโซดาไลม์ที่ผลการหดตัวหลังเผาของชิ้นงานแตกต่างกันค่อนข้างมาก เมื่อใช้ในปริมาณ 50 และ 80% อย่างไรก็ตาม ผลที่ได้ปรากฏว่า การใช้เศษแก้วใบโพธิลิกเตนเป็นตัวช่วยหลอมให้ผลที่ดีกว่าการใช้เศษแก้วโซดาไลม์ในปริมาณ 50% และสูตรมาตราฐานซึ่งไม่ใช้วัสดุเหลือทิ้งใดๆ เลย

ภาพที่ 4.21

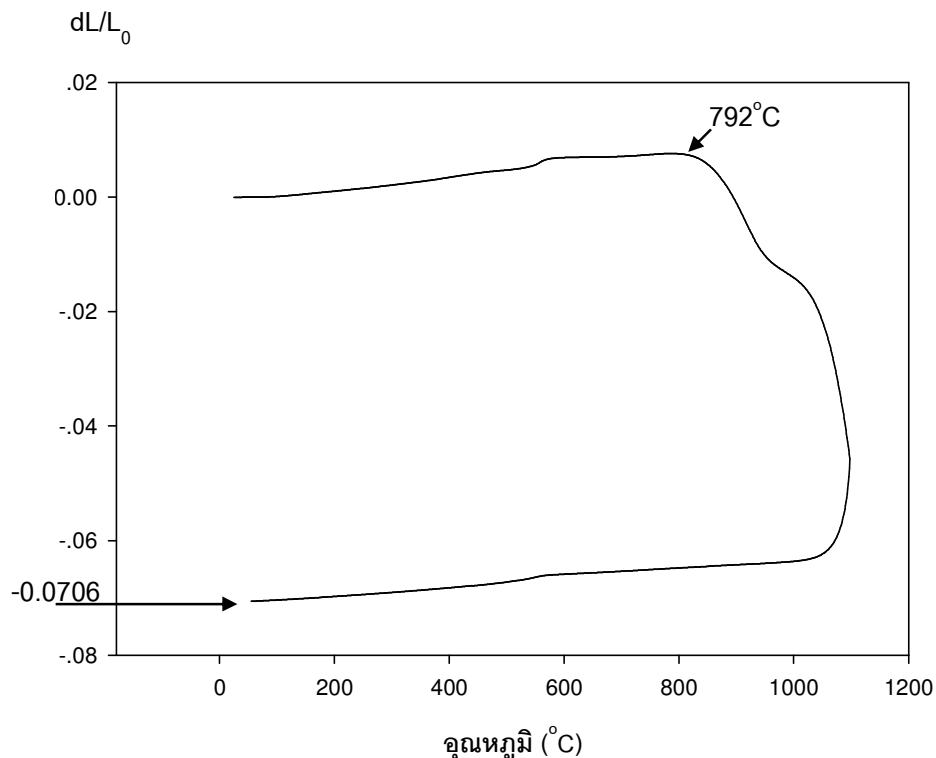
กราฟแสดงความสัมพันธ์ระหว่างค่าการขยายตัวและหดตัวของชิ้นงานระหว่างทำการเผาที่อุณหภูมิ $25 - 1,100^{\circ}\text{C}$ ของเนื้อดินกระเบื้องสูตร 50F 50FGS



เมื่อพิจารณาผลของการใช้การทดสอบเคลือบพริตแทนที่แร่โซเดียมเฟล์สปาร์ในสูตรกระเบื้องนั้น พบว่า สำหรับการใช้แทนที่ด้วยปริมาณ 50% โดยน้ำหนัก ค่าการหดตัวของชิ้นงานหลังเผาอยู่ที่ ค่า dL/L_0 เท่ากับ -0.0476 และอุณหภูมิที่ชิ้นงานเริ่มมีการหดตัวอยู่ที่ 804°C ดังแสดงในกราฟที่ 4.21 ส่วนการทดลองแทนที่ในปริมาณ 80% โดยน้ำหนักนั้น ค่าการหดตัวของชิ้นงานหลังเผาอยู่ที่ ค่า dL/L_0 เท่ากับ -0.0706 และอุณหภูมิที่ชิ้นงานเริ่มมีการหดตัวอยู่ที่ 792°C ดังแสดงในกราฟที่ 4.22 ดังนั้นจากผลทั้งหมดสามารถสรุปได้ว่า การใช้การทดสอบเคลือบพริต เป็นตัวช่วยลดอบทดแทนแร่โซเดียมเฟล์สปาร์นั้น ให้ผลค่าการหดตัวหลังเผาที่ดีที่สุด และชิ้นงานก็เริ่มหดตัวที่อุณหภูมิต่ำที่สุดด้วย ซึ่งหมายถึงมีประสิทธิภาพในการช่วยลดอบทัวมากกว่าการใช้วัสดุเหลือทิ้งประเภทอื่นๆ และการที่ไม่ใช้เลย (สูตรมาตรฐานซึ่งใช้แร่โซเดียมเฟล์สปาร์เป็นตัวช่วยลดอบทิ้งอย่างเดียว) โดยปริมาณการใช้การทดสอบเคลือบพริตที่มากขึ้น จะส่งผลต่อค่าการหดตัวที่เพิ่มขึ้นค่อนข้างมากด้วย

ภาพที่ 4.22

กราฟแสดงความสัมพันธ์ระหว่างค่าการขยายตัวและหดตัวของชิ้นงานระหว่างทำการเผาที่อุณหภูมิ $25 - 1,100^{\circ}\text{C}$ ของเนื้อดินกระเบื้องสูตร 20F 80FGS



สามารถสรุปผลค่าการหดตัวของชิ้นงานเมื่อสิ้นสุดการเผา และอุณหภูมิเริ่มต้นที่ชิ้นงานเกิดการหดตัว จากผลการทดสอบทั้งหมดของชิ้นงานกระเบื้องสูตรต่างๆ เพื่อให้ง่ายต่อการเปรียบเทียบกัน ดังแสดงในตารางที่ 4.17

ตารางที่ 4.17

สรุปผลค่าการหดตัวของชิ้นงานเมื่อสัมผัสกับการเผา และอุณหภูมิเริ่มต้นที่ชิ้นงานเกิดการหดตัวจาก การทดสอบด้วยเครื่อง Dilatometer ของกระเบื้องทดลองสูตรต่างๆ

ชื่อสูตรทดลอง	ค่าการหดตัวหลังเผา (dL/L_0)	อุณหภูมิเริ่มต้นของการหดตัว ($^{\circ}C$)
100F (Ref.)	-0.0167	877
50F 50SLG	-0.0268	811
20F 80SLG	-0.0617	800
50F 50BSG	-0.0468	834
20F 80BSG	-0.0513	828
50F 50FGS	-0.0476	804
20F 80FGS	-0.0706	792

จากการทดลองในตารางที่ 4.17 สามารถสรุปได้ว่า เมื่อใช้ผลค่าการหดตัวของ ชิ้นงานเมื่อสัมผัสกับการเผา และอุณหภูมิเริ่มต้นที่ชิ้นงานเกิดการหดตัวจากเครื่อง Dilatometer เป็น ตัวบ่งบอกถึงประสิทธิภาพในการหลอมตัวของเนื้อดินกระเบื้องสูตรต่างๆ แล้ว พบว่า หากตะกอน เคลือบพริต มีประสิทธิภาพในการเป็นตัวช่วยหลอมทรายแทนแร่โซเดียมเพลต์สปาร์ได้ดีที่สุด รองลงมาได้แก่ เศษแก้วโซดาไอล์ฟ และเศษแก้วโบโรซิลิกेट สำหรับกระเบื้องสูตรมวลฐานที่ใช้เร่ โซเดียมเพลต์สปาร์เป็นตัวช่วยหลอมแต่เพียงอย่างเดียวมัน ให้ผลค่าการหดตัวหลังเผาที่ต่ำสุด และมีอุณหภูมิเริ่มต้นของการหดตัวที่สูงสุด ซึ่งหมายถึงมีการหลอมตัวที่ช้ากว่าการใช้สูตรเหลือทิ้ง ประเภทต่างๆ มาเป็นตัวช่วยหลอมร่วมด้วย และจากการทดลองพบว่า ปริมาณการใช้สูตรเหลือทิ้ง ประเภทต่างๆ ที่มากขึ้น จะทำให้ประสิทธิภาพในการช่วยหลอมตัวเพิ่มมากขึ้นด้วย ซึ่งก็ สอดคล้องกับผลการทดสอบสมบัติทางกายภาพต่างๆ และสมบัติทางกลของชิ้นงานหลังเผา ทั้งค่า การหดตัวเชิงเส้น ค่าความหนาแน่น ค่าการดูดซึมน้ำ และค่าความแข็งแรงของชิ้นงานหลังเผา ตามที่ได้กล่าวมาแล้วในข้างต้น

พบว่า ผลการทดสอบค่าการขยายตัวและหดตัวของชิ้นงานด้วยเครื่อง Dilatometer นั้น มีความสอดคล้องกับงานวิจัยของ Raimondo และคณะ (2007) ซึ่งได้ทำการทดลองโดยใช้ ของเสียประเภทแก้วจากหลอดแคโทดและหน้าจอทีวีหรือจลคอมพิวเตอร์ (TV/PC cathodic tube

and screen) แทนที่แร่โซเดียมเฟล์ดสปาร์ในสูตรจะระเบื้องเซรามิกชนิดเนื้อพอร์ซเลน-สโตนแกร์วีในปริมาณ 5-10% โดยนำหักและพบว่าสามารถช่วยเปลี่ยนแปลงอุณหภูมิของการหดตัวสูงสุดของชิ้นงานให้ต่ำลงได้ถึงอุณหภูมิต่ำกว่า $1,180^{\circ}\text{C}$ (จากเดิมที่อุณหภูมิสูงสุด $1,220^{\circ}\text{C}$) ผลของการวิจัยได้สรุปไว้ว่า ของเสียประเภทแก้วทั้ง 2 แบบนี้ สามารถนำมาใช้แทนที่ฟลักซ์ในบางส่วนได้ โดยส่งผลดีต่อสมบัติทางกายภาพและทางเทคนิคของเนื้อดินกระเบื้องที่มีการเติมแก้วเหล่านี้ลงไปรวมถึงส่งผลต่อการปั้นปุ่งพุ่งกดติกรรมการเผาของกระเบื้องให้ดีขึ้นอีกด้วย

นอกจาคนี้ ยังยืนยันได้จากการทดลองของ Pontikes และคณะ (2007) ที่ทำการศึกษาพฤติกรรมทางความร้อนของเนื้อดินเซรามิกประเทกอิฐและกระเบื้องมุงหลังคา ที่มีการผสมของเสียประเทกแก้วโซดาไอล์บดละเอียดลงไปด้วย และจากการศึกษาพบว่ากระบวนการหลอมตัว (Densification) ของเนื้อดินจะเริ่มต้นที่อุณหภูมิต่ำกว่าสำหรับตัวอย่างที่มีเศษแก้วเป็นส่วนผสม โดยสังเกตได้ว่าเนื้อดินมีการหดตัวที่อุณหภูมิกีบ $1,000^{\circ}\text{C}$

สำหรับผลการคำนวณค่าสัมประสิทธิ์การขยายตัวทางความร้อนเชิงเส้นระหว่างอุณหภูมิ $30 - 600^{\circ}\text{C}$ ของชิ้นงานทดลองสูตรต่างๆ เพื่อเป็นประโยชน์ในการนำไปประยุกต์ใช้กับสูตรเคลือบเซรามิกตามที่ได้กล่าวมาแล้ว แสดงดังตารางต่อไปนี้

ตารางที่ 4.18

ผลการทดสอบค่าสัมประสิทธิ์การขยายตัวทางความร้อนเชิงเส้น (CTE)

ระหว่างอุณหภูมิ $30 - 600^{\circ}\text{C}$ ของชิ้นงานทดลองสูตรต่างๆ

ชื่อสูตรทดลอง	ค่า CTE ช่วงอุณหภูมิ $30 - 600^{\circ}\text{C}$ (1°C)
100F (Ref.)	15.1065E-06
50F 50SLG	12.1771E-06
20F 80SLG	10.9121E-06
50F 50BSG	12.4762E-06
20F 80BSG	11.6582E-06
50F 50FGS	13.2466E-06
20F 80FGS	12.1404E-06

จากผลการทดสอบในตารางข้างต้น พบว่า ชิ้นงานสูตรมาตรฐานช้างอิงที่ใช้แล้วเดียมเพลต์สปาร์เป็นตัวช่วยหลอมเพียงอย่างเดียวนั้น มีค่าการขยายตัวในช่วงอุณหภูมิ $30 - 600^{\circ}\text{C}$ มากที่สุด รองลงมาได้แก่ ชิ้นงานที่ใช้รัสดูลีอทึ้งประเทต่างๆ แทนที่แร่โซเดียมเพลต์สปาร์ในปริมาณ 50 และ 80 % โดยน้ำหนัก ตามลำดับ โดยพบว่า หากตะกอนเคลือบพริตมีผลต่อการขยายตัวในช่วงอุณหภูมนี้มากที่สุด รองลงมาได้แก่ เศษแก้วใบไบรอซิลิกेट และเศษแก้วโซดาไอล์มีผลต่อการขยายตัวในช่วงอุณหภูมนี้น้อยที่สุด โดยในช่วงอุณหภูมิเพาะระหว่าง $30 - 600^{\circ}\text{C}$ นี้ จำเป็นต้องทำการตรวจสอบค่าการขยายตัวของเนื้อดินในระหว่างการเผา เนื่องจากที่อุณหภูมิ 573°C จะมีการเปลี่ยนแปลงเฟสของแร่คอร์ตซ์ ซึ่งเป็นส่วนประกอบในเนื้อดินค่อนข้างมาก ทำให้เนื้อดินมีการขยายตัวเพิ่มขึ้นอย่างรวดเร็ว (Kingery Bowen and Uhlmann, 1976) จึงต้องทำการเผาชิ้นงานในช่วงอุณหภูมนี้อย่างระมัดระวัง โดยเฉพาะกับชิ้นงานที่มีการเคลือบปิดทับที่ผิวนานเนื้อดิน สูตรเคลือบที่ใช้จะต้องมีค่าสัมประสิทธิ์การขยายตัวในช่วงอุณหภูมิ ตั้งกล่าวไกแล้วคึ่งกับสูตรเนื้อดิน และเนื้อดินไม่ควรมีการขยายตัวมากกว่าชั้นเคลือบมากเกินไป ซึ่งจะทำให้เกิดการดึงตัวกันระหว่างชั้นเคลือบกับชั้นเนื้อดิน เกิดเป็นตำแหน่งเคลือบร่องขึ้นบนผิวภายนอกหลังเผาได้

4.6 ผลการวิเคราะห์องค์ประกอบทางเคมีของเนื้อดินกระเบื้องสูตรต่างๆ

การวิเคราะห์องค์ประกอบทางเคมีของเนื้อดินกระเบื้องสูตรทดลองต่างๆ เทียบกับกระเบื้องสูตรมาตรฐานด้วยเทคนิคเอกซ์เรย์ฟลูออเรสเซนส์ (XRF) นั้น ทำเพื่อเป็นการเปรียบเทียบปริมาณสารประกอบหลักๆโดยรวมที่มีอยู่ในส่วนผสมในแต่ละสูตร เพื่อบ่งบอกถึงแนวโน้มในการหลอมตัวของสูตรเนื้อดินกระเบื้องทดลองต่างๆ รวมถึงประสิทธิภาพในการเป็นตัวช่วยหลอมของวัสดุเหลือทิ้งแต่ละประเภทด้วย โดยผลการวิเคราะห์ที่ได้แสดงดังตารางต่อไปนี้

ตารางที่ 4.19

ผลการวิเคราะห์องค์ประกอบทางเคมีของเนื้อดินกระเบื้องสูตรต่างๆ

ด้วยเทคนิคเอกซ์เรย์ฟลูออเรสเซนส์ (XRF)

ออกไซเดอร์ของ ธาตุ	ชื่อสูตร / องค์ประกอบทางเคมี (%โดยน้ำหนัก)						
	100F (Ref.)	50F 50SLG	20F 80SLG	50F 50BSG	20F 80BSG	50F 50FGS	20F 80FGS
SiO_2	72.19	73.13	73.69	71.36	73.21	71.13	70.61
Al_2O_3	16.77	13.50	11.52	15.73	14.84	15.36	14.64
B_2O_3	N/A	N/A	N/A	2.21	2.29	N/A	N/A
Na_2O	1.81	2.52	2.91	1.82	1.46	1.53	1.26
K_2O	1.01	0.97	0.94	1.29	1.34	1.38	1.46
MgO	0.93	1.31	1.56	0.80	0.55	0.70	0.54
CaO	1.27	2.49	3.22	0.90	0.49	1.78	1.98
SrO	N/A	N/A	N/A	0.03	0.02	N/A	N/A
BaO	0.04	0.03	0.04	0.03	0.04	0.19	0.24
PbO	N/A	N/A	N/A	N/A	N/A	0.49	0.59
TiO_2	0.51	0.43	0.39	0.47	0.44	0.45	0.40
Fe_2O_3	0.88	0.90	0.90	1.02	1.02	0.82	0.83
ZrO_2	0.04	0.03	0.02	0.04	0.05	1.20	2.33
Cr_2O_3	0.02	0.01	0.01	N/A	N/A	0.02	0.02

ออกไซด์ของ ธาตุ	ชื่อสูตร / องค์ประกอบทางเคมี (%โดยน้ำหนัก)						
	100F (Ref.)	50F 50SLG	20F 80SLG	50F 50BSG	20F 80BSG	50F 50FGS	20F 80FGS
ZnO	N/A	N/A	0.01	N/A	N/A	0.36	0.46
P ₂ O ₅	0.26	0.23	0.21	0.33	0.32	0.24	0.22
CoO	N/A	N/A	N/A	N/A	N/A	0.05	0.04
Mn ₂ O ₃	0.01	0.01	0.01	N/A	N/A	0.01	0.01
ซิเนา	0.02	N/A	N/A	0.07	0.07	N/A	N/A
ปริมาณฟลักซ์ จากออกไซด์ของ ธาตุหมู่ 1 และ 2	5.06	7.32	8.67	4.87	3.90	5.58	5.48
ปริมาณฟลักซ์ จาก B ₂ O ₃	-	-	-	2.21	2.29	-	-
ปริมาณฟลักซ์ จาก PbO	-	-	-	-	-	0.49	0.59
ปริมาณฟลักซ์ รวม	5.06	7.32	8.67	7.08	6.19	6.07	6.07

หมายเหตุ: N/A หมายถึง ไม่มีออกไซด์ของธาตุเหล่านั้นเป็นองค์ประกอบอยู่เลย หรือมีใน

ปริมาณน้อยมากซึ่งเครื่องไม่สามารถตรวจจับได้

จากการวิเคราะห์ XRF ในตารางข้างต้น พบว่า สูตรเนื้อดินกระเบื้องทุกสูตรมีสารประกอบฟลักซ์ ซึ่งทำหน้าที่เป็นตัวช่วยลดอุณหภูมิเผาในปริมาณและชนิดที่แตกต่างกัน ออกไประดับขององค์ประกอบออกไซด์ของธาตุที่เป็นฟลักซ์ในสูตรเนื้อดินต่างๆ ที่พบจากการวิเคราะห์ได้แก่ Na₂O, K₂O, MgO, CaO, SrO, BaO, B₂O₃ และ PbO

เมื่อเปรียบเทียบปริมาณสารประกอบฟลักซ์โดยรวมที่มีอยู่ในสูตรเนื้อดินต่างๆ แล้ว พบว่า สูตรเนื้อดินกระเบื้องที่ใช้เศษแก้วโซดาไลม์เป็นตัวช่วยหลอมร่วมกับแร่โซเดียมเฟล์ดสปาร์ทั้งในปริมาณการแทนที่ 50 และ 80 % โดยน้ำหนักก้อน มีปริมาณสารประกอบฟลักซ์โดยรวมอยู่มากที่สุด (7.32 และ 8.67% ตามลำดับ) รองลงมาได้แก่ สูตรเนื้อดินที่ใช้เศษแก้วใบโพธิ์ลิกเกตเป็นตัวช่วยหลอมร่วมกับแร่โซเดียมเฟล์ดสปาร์ทั้งในปริมาณการแทนที่ 50 และ 80 % โดยน้ำหนักซึ่งมีปริมาณสารประกอบฟลักซ์โดยรวมอยู่ที่ 7.08 และ 6.19% ตามลำดับ และต่อมาก็คือ สูตรเนื้อดินที่

ใช้การตะกอนเคลือบพริตเป็นตัวช่วยหลอมร่วมกับแร่โซเดียมเฟล์สปาร์ ซึ่งมีปริมาณฟลักซ์โดยรวมอยู่ที่ 6.07% ทั้งในปริมาณการแทนที่ 50 และ 80 % โดยน้ำหนัก โดยสูตรที่มีปริมาณสารประกอบฟลักซ์โดยรวมอยู่น้อยที่สุด (5.06%) ได้แก่ สูตรเนื้อดินกราเบื้องมาตรฐานอ้างอิง ซึ่งใช้แร่โซเดียมเฟล์สปาร์เป็นตัวช่วยหลอมเพียงอย่างเดียว

จากผลการวิเคราะห์ที่ได้ควรจะสรุปได้ว่า สูตรเนื้อดินที่มีเศษแก้วเซรามิกเป็นส่วนประกอบมีการหลอมตัวได้ง่ายที่สุด รองลงมาได้แก่ สูตรเนื้อดินที่ใช้เศษแก้วใบโพธิ์ลิเกต หากตะกอนเคลือบพริต และสูตรมาตรฐานอ้างอิงที่ไม่มีการใช้วัสดุเหลือทิ้งใดๆ มีการหลอมตัวยากที่สุด ตามลำดับ แต่จากผลการทดสอบสมบัติทางกายภาพ สมบัติทางกล และสมบัติทางความร้อนของชิ้นงานหลังเผาตามที่ได้กล่าวมาแล้วในข้างต้น กลับพบว่า สูตรเนื้อดินกราเบื้องที่มีการตะกอนเคลือบพริตเป็นส่วนประกอบจะมีประสิทธิภาพในการหลอมตัวได้มากที่สุด รองลงมาจึงเป็นเศษแก้วเซรามิก เศษแก้วใบโพธิ์ลิเกต และสูตรมาตรฐานอ้างอิงเป็นลำดับสุดท้าย จากผลการวิเคราะห์พบว่ามีข้อที่น่าสนใจคือ การตะกอนเคลือบพริตเป็นวัสดุเหลือทิ้งเพียงประเภทเดียวที่มีออกไซด์ของตะกั่ว (PbO) เป็นส่วนประกอบ ในขณะที่เศษแก้วทั้ง 2 ประเภทและสูตรมาตรฐานอ้างอิงไม่มีอยู่เลย ดังนั้นจึงน่าจะเป็นสาเหตุหลักที่ทำให้สูตรเนื้อดินที่มีการตะกอนเคลือบพริตเป็นส่วนประกอบมีการหลอมตัวที่ดีกว่า ถึงแม้จะมีปริมาณฟลักซ์โดยรวมอยู่น้อยกว่าสูตรที่ใช้เศษแก้วทั้งสองชนิดก็ตาม จึงอาจสรุปได้ว่า PbO เป็นสารประกอบฟลักซ์ที่มีประสิทธิภาพในการหัวยลดจุดหลอมตัวของเนื้อดินกราเบื้องได้มากกว่า เมื่อเทียบกับสารประกอบฟลักซ์ประเภทอัลคาไลหรืออัลคาไลน์เอิร์ท และ B_2O_3

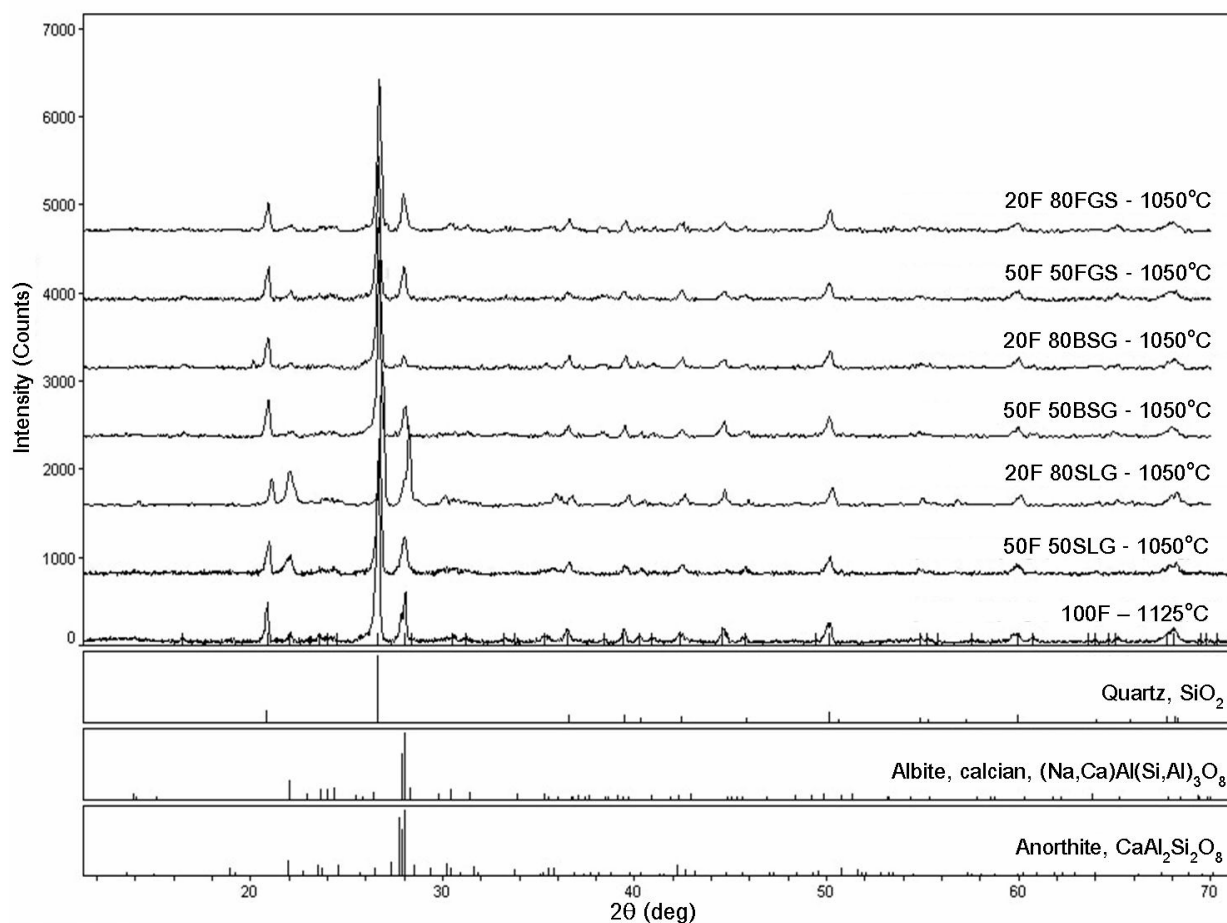
4.7 ผลการวิเคราะห์องค์ประกอบทางแร่ของชิ้นงานกราเบื้องหลังเผาสูตรต่างๆ

การวิเคราะห์องค์ประกอบทางแร่ของชิ้นงานกราเบื้องหลังเผาด้วยเทคนิค X-ray Diffraction (XRD) นั้น ทำเพื่อเป็นการวิเคราะห์ถึงเฟสที่เกิดขึ้นในเนื้อชิ้นงานหลังผ่านการเผา เพื่อปั่งบวกถึงความสุกตัวของเนื้อชิ้นงาน และเพื่อเป็นการเปรียบเทียบได้ว่าชิ้นงานสูตรทดลองซึ่งใช้วัสดุเหลือทิ้งในปริมาณต่างๆ เป็นตัวช่วยหลอมร่วมกับแร่โซเดียมเฟล์สปาร์นั้น หลังผ่านการเผาที่อุณหภูมิลดต่ำลงแล้ว มีเฟสที่เกิดขึ้นในเนื้อชิ้นงานหลังเผาเหมือนกับเฟสที่เกิดขึ้นในเนื้อกราเบื้องสูตรมาตรฐานที่ใช้อ้างอิงซึ่งผ่านการเผาที่อุณหภูมิสูงกว่า (อุณหภูมิเผาปกติของโรงงาน) หรือไม่ซึ่งเป็นการบ่งชี้ได้ว่าชิ้นงานกราเบื้องหลังเผาในแต่ละสูตรทดลองมีความสุกตัวเทียบเท่าได้กับชิ้นงานกราเบื้องสูตรมาตรฐานแล้วหรือไม่นั้นเอง ผลการวิเคราะห์ที่ได้แสดงดังภาพที่ 4.23

ภาพที่ 4.23

ผลการวิเคราะห์องค์ประกอบทางเรขาของชิ้นงานกราบเบื้องทดลองสูตรต่างๆ เม่าที่อุณหภูมิ $1,050^{\circ}\text{C}$

เทียบกับชิ้นงานกราบเบื้องสูตรมาตรฐานอ้างอิงซึ่งเผาที่อุณหภูมิ $1,125^{\circ}\text{C}$



จากผลการวิเคราะห์ XRD ในกราฟข้างต้น พบว่า ชั้นงานกระเบื้องหลังเผาทุกสูตรประกอบไปด้วย 3 เฟสหลักๆ ที่เหมือนกันในเนื้อชั้นงาน ได้แก่ ควอร์ตซ์ (Quartz, SiO_2) อัลไบต์ (Albite, calcian, $(\text{Na.Ca})\text{Al}(\text{Si},\text{Al})_3\text{O}_8$) และ อะนอร์ไฟต์ (Anorthite, $\text{CaAl}_2\text{Si}_2\text{O}_8$) โดยอาจมีปริมาณของแต่ละเฟสมากน้อยแตกต่างกันออกไป ซึ่งดูได้จากการสูงของเส้นกราฟในแต่ละพีค จากกราฟพบว่า ปริมาณของเฟสที่แตกต่างกันอย่างเห็นได้ชัด คือกราฟของสูตรที่ใช้เศษแก้วโซดา ไลม์เป็นส่วนประกอบ (50F50SLG และ 20F80SLG) โดยจะเห็นได้ว่ามีความสูงของพีคที่เป็นเฟสอัลไบต์และอะนอร์ไฟต์ สูงกว่ากราฟของสูตรอื่นๆ โดยเฉพาะสูตร 20F80SLG จะมีความสูงของพีคดังกล่าวมากกว่าสูตร 50F50SLG ทั้งนี้เนื่องจากมีการแทนที่ด้วยเศษแก้วโซดาไลม์ในปริมาณที่มากกว่า ทำให้มี CaO และ Na_2O ในปริมาณที่สูงกว่าด้วยนั้นเอง ซึ่งส่งผลต่อค่าความแข็งแรงของชั้นงานหลังเผาที่มากกว่าสูตรอื่นๆ ด้วย พบว่าผลที่ได้สอดคล้องกับผลการวิเคราะห์องค์ประกอบของชั้นงานหลังเผาที่มากกว่าสูตรอื่นๆ ด้วยเทคโนโลยี XRF และผลการทดสอบสมบัติทางกลของชั้นงานหลังเผา ที่พบว่าค่าความต้านทานแรงดัดของสูตรที่มีการใช้เศษแก้วโซดาไลม์เป็นส่วนผสมและเผาที่อุณหภูมิ $1,050^\circ\text{C}$ จะมีค่าความแข็งแรงมากกว่าสูตรที่ใช้วัสดุเหลือทิ้งประเภทอื่นๆ และสูตรอ้างอิงณ อุณหภูมิการเผาเดียวกัน รวมถึงมีค่าความแข็งแรงมากกว่าสูตรอ้างอิงที่ใช้แร่โซเดียมเพลล์สปาร์ก์เป็นตัวขยายหลอมเพียงอย่างเดียวที่ทำกราฟที่อุณหภูมิ $1,125^\circ\text{C}$ จึงด้วย

เมื่อเปรียบเทียบเฟสที่เกิดขึ้นหลังเผา รวมถึงลักษณะและความสูงของกราฟของกระเบื้องทดลองในแต่ละสูตรซึ่งเผาที่อุณหภูมิ $1,050^{\circ}\text{C}$ กับกระเบื้องสูตรมาตรฐานอ้างอิงซึ่งเผาที่อุณหภูมิปกติของโรงงาน $1,125^{\circ}\text{C}$ แล้ว พบร่วมกันว่ามีความใกล้เคียงกันมาก มีความแตกต่างกันเฉพาะปริมาณของเฟสคลั่บเปรต์และตะกอนอิฐไทร์ของสูตรที่มีเศษแก้วใช้ด้าไม่มีเป็นส่วนประกอบเท่านั้น ดังได้กล่าวมาแล้ว ดังนั้นจึงสรุปได้ว่าขั้นงานกระเบื้องทดลองสามารถถูกเผาให้สูกตัวได้ที่อุณหภูมิลดต่ำลง (อย่างน้อย 75°C) โดยใช้วัสดุเหลือทิ้งประเภทต่างๆ มาเป็นตัวช่วยหลอมร่วมกับแร่โซเดียมเฟลเดอร์สปาร์

พบว่า ผลที่ได้จากการทดลองสอดคล้องกับงานวิจัยของ Luz และ Ribeiro (2007) ที่พบเพเฟสมัลไลต์ ($\text{Mullite, } 3\text{Al}_2\text{O}_3 \cdot 2\text{SiO}_2$) ควรร์ตซ์ และอะโนร์ไทร์ จากผลการวิเคราะห์ XRD ของเนื้อดินกระเบื้องเซรามิกชนิดพอร์ซเลน-สโตนแวร์ที่เข้าได้ทำการศึกษาโดยมีเศษแก้วโซดาไลม์เป็นส่วนผสมในปริมาณ 5-20% ทั้งนี้เนื่องจากเพเฟสมัลไลต์ เป็นเฟสที่สามารถพบรได้ที่การเผาอุณหภูมิสูง ดังนั้นในงานวิจัยนี้จึงไม่พบเพสังกล่าว แต่สำหรับ Luz และ Ribeiro ได้ทำการเผาชิ้นงานที่อุณหภูมิตั้งแต่ $1,000 - 1,250^\circ\text{C}$ และพบเพเฟสมัลไลต์ที่อุณหภูมิตั้งแต่ $1,150^\circ\text{C}$ ขึ้นไป นอกจากนี้ วัตถุดิบที่ใช้ในสูตรเนื้อดินที่แตกต่างกันก็มีส่วนทำให้ไม่พบเพเฟสมัลไลต์ในเนื้อกระเบื้องหลังมาได้

โดยในงานวิจัยของ Luz และ Ribeiro จะใช้ดินขาว (Kaolinitic clay) เป็นวัตถุดิบหลัก ซึ่งมีปริมาณ Al_2O_3 และ SiO_2 อยู่ในตัวค่อนข้างสูง (Al_2O_3 28.20 wt.% และ SiO_2 50.94 wt.%) และใช้ในปริมาณที่มากถึง 60-80% ในสูตรทดลอง ทำให้สามารถพับเฟสมัลไลต์หลังเผาได้ง่ายกว่า ในขณะที่ในงานวิจัยนี้ไม่มีการใช้แร่ดินขาว แต่จะใช้ดินเหนียว (Ball clay) ในปริมาณเพียง 20% ในสูตร ทำให้มีปริมาณ Al_2O_3 อยู่ในสูตรเนื้อดินกระเบื้องที่ต่ำกว่า ดังนั้นจึงทำให้เกิดเฟสมัลไลต์ได้ยากกว่ากระเบื้องเนื้อพอร์ซเลน-สตันแวร์อีกด้วย

จากจุดประสงค์ของงานวิจัยที่ต้องการลดอุณหภูมิที่ใช้ในการเผาชิ้นงานลง โดยผลิตภัณฑ์กระเบื้องหลังเผายังคงมีสมบัติต่างๆ ผ่านตามขั้นตอนดังของเกณฑ์มาตรฐานผลิตภัณฑ์อุตสาหกรรมกระเบื้องบุณังเชรามิกทั้งประเภทภายในและภายนอกอาคาร (มอก. 613-2529 และ มอก. 614-2529) นั้น ผลที่ได้จากการทดลองทั้งหมด พบว่า อุณหภูมิในการเผาที่ต่ำสุดที่สามารถนำวัสดุเหลือทิ้งประเภทต่างๆ มาใช้งานเป็นตัวช่วยหลอมทรายแทนแร่เซรามิคเดียมเฟลเดสปาร์ ในสูตรกระเบื้องบุณังเชรามิกได้นั้น คือ $1,050^{\circ}\text{C}$ และปริมาณการใช้งานมากที่สุดที่สามารถใช้ได้คือ 70% ของการแทนที่แร่เซรามิคเดียมเฟลเดสปาร์ (ใช้งานในสูตรจริง 28% โดยน้ำหนัก) โดยชิ้นงานยังคงมีสมบัติต่างๆ ผ่านตามเกณฑ์มาตรฐานดังกล่าว ซึ่งจากการทดสอบ พบว่า ภาคตะกอนเคลือบพร้อมที่ประสีทิชภาพในการเป็นตัวช่วยหลอมได้มากกว่า เชซแท็กโซดาไลม์ และเชซแท็กโซบีโรซิลิกेट ตามลำดับ สามารถสรุปผลการทดสอบให้เห็นได้ชัดเจน ดังแสดงในตารางที่ 4.20

ตารางที่ 4.20

สรุปผลการทดสอบสมบัติต่างๆ ของชิ้นงานหลังเผาที่อุณหภูมิ 1,050 °C

เปรียบเทียบกับเกณฑ์มาตรฐานผลิตภัณฑ์อุตสาหกรรม มอก. 613-2529 และ มอก. 614-2529

ตารางที่ 4.20 (ต่อ)

ประเภท ของวัสดุ เหลือทิ้ง	ชื่อสูตร	กระเบื้องบุผนังภายในอาคาร (มอก. 613-2529)				กระเบื้องบุผนังภายนอกอาคาร (มอก. 614-2529)				ความ ต้านทาน แรงดัน (≥ 20 MPa)	
		ความบิดเบี้ยว				ความบิดเบี้ยว					
		การดูด ซึมน้ำ ($\leq 18\%$)		นูนขึ้น-แอล์ลง แนวขอบ ($\leq 0.3\%$)		การดูด ซึมน้ำ ($\leq 6\%$)		นูนขึ้น-แอล์ลง แนวขอบ ($\leq 1.5\%$)			
		แนวขอบ ($\leq 0.3\%$)	แนวเส้น ทแยงมุม ($\leq 0.2\%$)	โค้งออก- เว้าเข้า ($\leq 0.5\%$)	แนวเส้น ทแยงมุม ($\leq 0.75\%$)	โค้งออก- เว้าเข้า ($\leq 0.75\%$)	แนวเส้น ทแยงมุม ($\leq 0.75\%$)	แนวเส้น ทแยงมุม ($\leq 0.75\%$)	แนวเส้น ทแยงมุม ($\leq 0.75\%$)		
เศษแก้ว ใบโพธิ์ลิเกต	30F 70BSG	✓	✓	✓	✓	✓	✓	✓	✓	✓	
	40F 60BSG	✓	✓	✓	✓	✓	✓	✓	✓	✓	
	50F 50BSG	✓	✓	✓	✓	✗	✓	✓	✓	✓	
กากบาทกอน เคลือบพริต	100 FGS	✓	✓	✗	✗	✓	✓	✓	✓	✓	
	20F 80FGS	✓	✓	✓	✓	✓	✓	✓	✓	✓	
	30F 70FGS	✓	✓	✓	✓	✓	✓	✓	✓	✓	
	40F 60FGS	✓	✓	✓	✓	✓	✓	✓	✓	✓	
	50F 50FGS	✓	✓	✓	✓	✓	✓	✓	✓	✓	

หมายเหตุ: ✓ หมายถึง ผ่านตามเกณฑ์มาตรฐาน

✗ หมายถึง ไม่ผ่านตามเกณฑ์มาตรฐาน

บทที่ 5

สรุปผลการศึกษาวิจัยและข้อเสนอแนะ

5.1 สรุปผลการศึกษาวิจัย

งานวิจัยในหัวข้อวิทยานิพนธ์เรื่อง “การใช้เศษแก้วและการตากอนเคลือบพริตเป็นตัวช่วยหลอมในการผลิตกระเบื้องเซรามิก” มีวัตถุประสงค์เพื่อศึกษาหาแนวทางในการนำของเสียกลับมาใช้ให้เกิดประโยชน์ และลดต้นทุนการผลิตให้แก่อุตสาหกรรมกระเบื้องเซรามิก ทั้งในด้านลดการใช้พลังงานจากการลดอุณหภูมิที่ใช้ในการเผาผลิตภัณฑ์ ลดการใช้ทรัพยากร่วรจากธรรมชาติ รวมถึงลดต้นทุนค่าวัสดุดิบในการผลิต โดยนำของเสียที่มีอยู่ภายใต้ในโรงงานผลิตกระเบื้องเซรามิกเอง ได้แก่ กากตะกอนเคลือบพริต และของเสียจากอุตสาหกรรมการผลิตแก้วและกระเจ้าต่างๆ ได้แก่ เศษแก้วชนิดโซดาไล์ม และเศษแก้วชนิดโบโรซิลิกेट กลับมาใช้ให้เกิดประโยชน์เป็นตัวช่วยหลอมทดสอบแร่โซเดียมเฟล์ดสปาร์ ซึ่งเป็นแร่ธรรมชาติที่ปัจจุบันใช้เป็นตัวช่วยหลอมในกระบวนการผลิตกระเบื้องเซรามิก ทั้งนี้เนื่องจากของเสียเหล่านี้มีสารประกอบออกไซด์ของธาตุหมู่ 1 และ 2 (อัลคาไลและอัลคาไลน์อิร์ท) เป็นองค์ประกอบหลักอยู่หลายชนิด คล้ายกับแร่โซเดียมเฟล์ดสปาร์ ได้แก่ Na_2O , K_2O , MgO และ CaO ซึ่งทำหน้าที่เป็นตัวช่วยหลอมในกระบวนการเผาผลิตภัณฑ์

การทดลองได้ทำการแทนที่แร่โซเดียมเฟล์ดสปาร์ที่มีอยู่ 40% ในสูตรกระเบื้องบุญนังเซรามิก ซึ่งใช้เป็นสูตรมาตรฐานอ้างอิงด้วยวัสดุเหลือทิ้งประเภทต่างๆ ในปริมาณ 50 และ 100% โดยน้ำหนัก เมื่อได้ผลการทดสอบสมบัติทางกายภาพ และสมบัติทางกลของชิ้นงานหลังเผาแล้วพบว่า สูตรกระเบื้องทดลองที่มีการใช้วัสดุเหลือทิ้งทั้ง 3 ประเภททดสอบแร่โซเดียมเฟล์ดสปาร์ในปริมาณ 100% นั้น ส่วนใหญ่มีค่าความบิดเบี้ยวของชิ้นงานหลังเผาไม่ผ่านตามเกณฑ์มาตรฐานผลิตภัณฑ์อุตสาหกรรม มอก.613-2529 และ 614-2529 จึงได้ทำการทดลองซ้ำ เพื่อศึกษาผลในระดับที่ละเอียดมากขึ้น โดยทำการแทนที่ในปริมาณ 50 60 70 และ 80 %โดยน้ำหนัก การเตรียมชิ้นงานทดลองใช้วิธีการเช่นเดียวกับการผลิตกระเบื้องจริงในทางอุตสาหกรรม ทำการเผาชิ้นงานเพื่อศึกษาผลที่อุณหภูมิ 1000, 1050, 1100 และ 1125°C ทดสอบสมบัติทางกายภาพ ได้แก่ ค่าการหดตัวเชิงเส้น ค่าความหนาแน่น ค่าการดูดซึมน้ำ และค่าความบิดเบี้ยวของชิ้นงานหลังเผาสมบัติทางกล ได้แก่ ค่าความต้านทานแรงดึง สมบัติทางความร้อน ได้แก่ ค่าการขยายตัวและหดตัวของชิ้นงานในระหว่างกระบวนการเผาด้วยเครื่อง Dilatometer วิเคราะห์องค์ประกอบทางเคมี

ของสูตรเนื้อดิน และวัตถุดิบที่นำมาใช้ด้วยเทคนิค XRF และวิเคราะห์องค์ประกอบทางแร่ของชิ้นงานหลังเผาด้วยเทคนิค XRD เปรียบเทียบผลการทดสอบระหว่างสูตรทดลองซึ่งแทนที่เรื่องเดิมเพล็สปาร์ด้วยวัสดุเหลือทิ้งในปริมาณต่างๆ และสูตรภาวะเบื้องมาตรฐานที่ใช้ข้างอิง เพื่อศึกษาถึงประสิทธิภาพในการเป็นตัวช่วยหลอมของวัสดุเหลือทิ้งแต่ละประเภท

ผลการศึกษาทั้งหมด พบว่า กากตะกอนเคลือบฟริตเป็นวัสดุเหลือทิ้งที่มีประสิทธิภาพช่วยลดจุดหลอมตัวของเนื้อดินกระเบื้องเซรามิกได้มากที่สุด รองลงมาจึงเป็นเศษแก้วไซดาไลม์ และเศษแก้วโนบิโซซิลิกะ ตามลำดับ โดยการใช้วัสดุเหลือทิ้งเป็นตัวช่วยหลอมร่วมกับเรื่องเดิมเพล็สปาร์จะให้ผลที่ดีกว่าการใช้แอลูเมิร์ไซเดิมเพล็สปาร์เป็นตัวช่วยหลอมแต่เพียงอย่างเดียวในสูตรมาตรฐานข้างอิง แต่จะให้ผลคุณสมบัติหลังเผาที่ดีและผ่านตามเกณฑ์มาตรฐานผลิตภัณฑ์อุตสาหกรรมกระเบื้องบุผังเซรามิกทั้งประเภทภายในและภายนอกอาคาร (มอก. 613-2529 และ มอก. 614-2529) เนพากับการเผาที่อุณหภูมิต่ำๆ ไม่เกิน $1,100^{\circ}\text{C}$ และการใช้ในปริมาณที่ไม่มากจนเกินไปเท่านั้น โดยปริมาณที่เริ่มส่งผลต่อค่าสมบัติทางกายภาพที่ไม่ผ่านตามเกณฑ์มาตรฐาน คือ การใช้ในปริมาณที่เกิน 28% โดยน้ำหนักในสูตรทดลอง (แทนที่เรื่องเดิมเพล็สปาร์เกิน 70%) ซึ่งจะส่งผลต่อค่าความแข็งแรงของชิ้นงานหลังเผาที่ลดลง ทั้งนี้เนื่องจากวัสดุเหลือทิ้งต่างๆ ที่นำมาใช้เป็นประเภทแก้ว และคล้ายแก้ว (กากตะกอนเคลือบฟริต) ซึ่งเป็นวัสดุประเภทกอสัมฐาน (Amorphous materials) ที่ไม่มีผลึกในโครงสร้าง หรือไม่เกิดเรียงตัวกันอย่างไม่เป็นระเบียบ ดังนั้นที่อุณหภูมิสูงจึงเกิดการหลอมตัวได้ง่าย และมีความแข็งแรงต่ำกว่าวัสดุประเภทที่มีโครงสร้างเป็นผลึกที่ชัดเจน เช่น แร่ไซเดิมเพล็สปาร์

ผลการทดลอง พบว่าสอดคล้องกับผลการวิเคราะห์องค์ประกอบทางเคมีของวัสดุเหลือทิ้งประเภทต่างๆ เปรียบเทียบกับแร่ไซเดิมเพล็สปาร์ ซึ่งพบว่าปริมาณของสารประกอบฟลักซ์โดยรวม (ออกไซด์ของอัลคาไลและอัลคาไลน์อิร์ท รวมถึง PbO และ B_2O_3) ที่พบร่วมกับวัสดุเหลือทิ้งประเภทต่างๆ นั้น มีค่ามากกว่าในแร่ไซเดิมเพล็สปาร์ โดยพบว่าสาเหตุที่กากตะกอนเคลือบฟริตมีประสิทธิภาพในการเป็นตัวช่วยหลอมได้มากที่สุด เนื่องจากมีออกไซด์ของตะกั่ว (PbO) อยู่ในปริมาณมาก ซึ่งไม่พบในวัสดุเหลือทิ้งประเภทอื่นๆ เลย โดย PbO เป็นสารประกอบฟลักซ์ที่ให้ผลลัพธ์แรงมากกว่าออกไซด์ของอัลคาไลและอัลคาไลน์อิร์ท เนื่องจากมีจุดหลอมเหลวของตัวเองที่ต่ำ (500°C)

นอกจากนี้ ผลการวิเคราะห์การขยายตัวและหดตัวของชิ้นงานในระหว่างการให้ความร้อนด้วยเครื่อง Dilatometer ยังสามารถยืนยันผลได้ว่า กากตะกอนเคลือบฟริตมีประสิทธิภาพในการเป็นตัวช่วยหลอมได้มากที่สุด เมื่อเปรียบเทียบกับวัสดุเหลือทิ้งตัวอื่นๆ และแร

โซเดียมเพลต์สปาร์ เนื่องจากพบว่าสูตรที่มีการใช้กากตะกอนเคลือบพริตเป็นตัวช่วยหลอมร่วม ด้วยนั้น จะมีค่าการหดตัวของชิ้นงานเมื่อสิ้นสุดการเผาที่มากกว่า และอุณหภูมิเริ่มต้นที่ชิ้นงานเกิด การหดตัวยังต่ำกว่าสูตรอื่นๆ ด้วย

สำหรับผลการวิเคราะห์ของค์ประกอบทางแร่ของชิ้นงานหลังเผาโดยใช้เทคนิค XRD ทำให้ทราบว่าที่อุณหภูมิการเผาลดต่ำลงเป็น $1,050^{\circ}\text{C}$ นั้น ชิ้นงานจะเปลี่ยนสภาพเป็นซีดีไซด์เหลือ ทึ้งแต่ละประเภทมาเป็นตัวช่วยหลอมร่วมกับแร่โซเดียมเพลต์สปาร์ในปริมาณต่างๆ ให้ผลการสุก ตัวของชิ้นงานหลังเผาได้เข่นเดียวกับชิ้นงานกระเบื้องสูตรมาตรฐานอ้างอิง ซึ่งทำการเผาที่ อุณหภูมิสูงกว่า ($1,125^{\circ}\text{C}$) โดยดูได้จากชนิดและปริมาณของเฟสที่เกิดขึ้นในเนื้อชิ้นงานหลังเผาที่ เมื่อนอนๆ กัน ทำให้เป็นการยืนยันผลได้ว่า การใช้สุดเหลือทึ้งแต่ละประเภทมาเป็นตัวช่วยหลอม ร่วมกับแร่โซเดียมเพลต์สปาร์ในการผลิตกระเบื้องบุผนังเซรามิกนั้น สามารถช่วยลดอุณหภูมิใน การเผาผลิตภัณฑ์ลงมาได้อย่างน้อยถึง 75°C

ดังนั้นจึงสรุปได้ว่า สุดเหลือทึ้งประเภทเศษแก้วโซดาไอล์ เศษแก้วใบโพธิ์ และ กากตะกอนเคลือบพริตในโรงงานผลิตกระเบื้องเซรามิกนั้น สามารถนำมาใช้เป็นตัวช่วยหลอม ทดแทนแร่โซเดียมเพลต์สปาร์ในสูตรเนื้อดินกระเบื้องบุผนังเซรามิกได้ และสามารถช่วยลด อุณหภูมิในการเผาผลิตภัณฑ์ลงมาได้ที่ $1,050^{\circ}\text{C}$ โดยชิ้นงานยังคงมีสมบัติต่างๆ ผ่านตามเกณฑ์ มาตรฐานผลิตภัณฑ์คุณภาพรวมกระเบื้องบุผนังเซรามิกทั้งประเภทภายในและภายนอกอาคาร (มอก. 613-2529 และมอก. 614-2529) และพบว่า กากตะกอนเคลือบพริตมีประสิทธิภาพในการ เป็นตัวช่วยหลอมได้มากที่สุด รองลงมาได้แก่ เศษแก้วชนิดโซดาไอล์ และเศษแก้วชนิดใบโพธิ์ เทศตามลำดับ แต่การใช้สุดเหลือทึ้งทั้ง 3 ประเภทเป็นตัวช่วยหลอมร่วมกับแร่โซเดียมเพลต์สปาร์นั้น ยังมีข้อจำกัด กล่าวคือ จะสามารถใช้งานได้มากที่สุดในปริมาณ 28% โดยน้ำหนักในสูตรเนื้อดิน (70% ของการแทนที่แร่โซเดียมเพลต์สปาร์) โดยการใช้ในปริมาณที่มากเกินกว่า 28% โดยน้ำหนัก และทำการเผาที่อุณหภูมิสูงเกินกว่า $1,100^{\circ}\text{C}$ ขึ้นไปนั้น จะส่งผลต่อค่าความบิดเบี้ยวที่มากขึ้น และค่าความแข็งแรงที่ลดลงของชิ้นงานหลังเผา ซึ่งพบว่ากากตะกอนเคลือบพริต และเศษแก้ว โซดาไอล์ จะส่งผลกระทบดังกล่าวมากกว่าการใช้เศษแก้วใบโพธิ์ เทศ

จากการข้างต้นข้อมูลจากการนิสิตษา “โครงการประยุกต์ใช้เทคโนโลยีสารสนเทศในการ ผลิตเซรามิก ระยะที่ 2” ศูนย์เทคโนโลยีโลหะและวัสดุแห่งชาติ, 2552 ซึ่งพบว่าการใช้พลังงาน เชื้อเพลิงประเภทแก๊สบีโตรเลียมเหลว (LPG) ในกระบวนการเผาผลิตภัณฑ์เซรามิกประเภทของ ตกแต่งบ้านและสวน ด้วยเตาเผานิด Shuttle kiln นั้น การลดอุณหภูมิในการเผาผลิตภัณฑ์ลงได้ 100°C จะสามารถช่วยประหยัดพลังงานเชื้อเพลิงที่ใช้ในกระบวนการเผาลงได้ถึง 23.15% ดังนั้น

จากการศึกษาวิจัยที่พบว่า การใช้สตูเดลีอทิ้งทั้ง 3 ประเภทเป็นตัวช่วยหลอมร่วมกับแร่โซเดียมเพลต์สปาร์โนสูตรนี้อดินกระเบื้องบุผังเซรามิกันนี้ จะสามารถช่วยลดอุณหภูมิในการเผาผลิตภัณฑ์ลงได้ถึง 75°C หากคิดเป็นมูลค่าการประหยัดพลังงานเชือเพลิงที่ใช้ในกระบวนการเผาผลิตภัณฑ์ จะสามารถคิดเป็นมูลค่าการประหยัดพลังงานได้ถึง 17.36%

5.2 ข้อเสนอแนะสำหรับงานวิจัยในอนาคต

เนื่องจากงานวิจัยนี้ได้รับความร่วมมือจากโรงงานผลิตกระเบื้องเซรามิก (ห้างหุ้นส่วนจำกัดกระเบื้องไทย) จึงมีจุดมุ่งหมายให้สามารถนำไปใช้งานได้จริงในอุตสาหกรรมการผลิตต่อไป ดังนั้นจากผลงานวิจัยซึ่งพัฒนาเทคโนโลยีกระเบื้องเซรามิก จึงควรทำการวิจัยและพัฒนาสูตรเคลือบของโรงงานให้เหมาะสมกับสูตรนี้อดินที่มีการใช้ของเสียเป็นส่วนผสมด้วย โดยต้องมีการปรับปรุงสูตรเคลือบให้มีค่าการขยายตัวในระหว่างกระบวนการเผาที่สอดคล้องกับค่าการขยายตัวของเนื้อดิน ซึ่งสามารถดูข้อมูลได้จากผลการวิเคราะห์ของเครื่อง Dilatometer ที่ได้จากงานวิจัยนี้ เพื่อไม่ให้เกิดปัญหาด้านเคลือบรวม หรือเคลือบร้อนเกิดขึ้นบนผลิตภัณฑ์หลังผ่านการเผา หากมีการใช้ของเสียต่างๆ ร่วมด้วย

นอกจากนี้ จากผลการวิจัยพบว่า สีของเนื้อดินหลังเผาจากสูตรที่มีการใช้กาตากอนเคลือบพริตเป็นส่วนผสมนั้น มีความไม่สม่ำเสมอและมีสีที่เพี้ยนไปจากสีเนื้อดินปกติ (สูตรมาตรฐานที่ใช้อย่างอิง) ค่อนข้างมาก ทั้งนี้เนื่องมาจากกาตากอนเคลือบที่นำมาใช้ในแต่ละครั้งนั้นอาจมีคุณภาพที่ไม่เหมือนกัน และมีการปนเปื้อนของสีหรือวัตถุดิบต่างๆ ที่ใช้ในการผลิตเคลือบที่แตกต่างกันออกไปตามแผนการผลิตของโรงงาน ดังนั้น การนำเข้ากาตากอนเคลือบเหล่านี้กลับมาใช้จึงอาจต้องควบคุมปริมาณการใช้งานในแต่ละครั้งที่ไม่เท่ากัน หากต้องการสีหลังเผาให้อくุ่นใน基因ที่มาตรฐานตามความต้องการของโรงงาน ซึ่งอาจต้องทำการวิจัยและพัฒนาเพิ่มเติมถึงปริมาณการใช้งานที่เหมาะสมไม่ให้ส่งผลกระทบกับสีของเนื้อดินหลังเผา โดยเฉพาะอย่างยิ่งหากต้องการนำไปใช้กับผลิตภัณฑ์กระเบื้องประเภทที่ต้องโซวสีเนื้อดิน (ไม่เคลือบ) หรือใช้กับสูตรเคลือบใสหรือเคลือบสีอ่อน โดยอาจต้องมีการวิจัยและพัฒนาสูตรเคลือบเคนโกลเพิ่มเติม (สูตรเคลือบที่มีส่วนผสมปนกันระหว่างเนื้อดินกับเคลือบ ใช้งานในลักษณะเป็นตัวรองพื้นเพื่อปิดผิวน้ำเนื้อดินก่อนหนึ่งชั้น แล้วค่อยเคลือบผิวชั้นตามปกติ เพื่อให้ได้สีเคลือบหลังเผาตรงตามความต้องการ) แต่ในบางครั้งสีของเนื้อดินหลังเผาที่เพี้ยนไปบ้าง ก็ไม่มีความสำคัญสำหรับเนื้อดินที่นำไปใช้กับสูตรเคลือบในลักษณะที่ทึบและมีสีเข้ม เนื่องจากในการนำไปใช้งานจริงนั้นผลิตภัณฑ์

กระเบื้องไม้จำเป็นต้องใช้สีเนื้อดิน ดังนั้นจึงขึ้นอยู่กับรูปแบบและความต้องการของโรงงานว่าจะ
นำสูตรเนื้อดินเหล่านี้ไปเข้ากับสูตรเคลือบในลักษณะใดบ้าง ซึ่งอาจต้องมีการพัฒนาและปรับปรุง
เพิ่มเติมเป็นรายกรณีไป

รายการอ้างอิง

หนังสือ (ภาษาไทย)

- ไพบูลย์ ศิริวัฒน์. (2541). *เนื้อดินเซรามิก*. กรุงเทพฯ: โอดีเยนส์เตอร์.
- บริเด้า พิมพ์ขาวขำ. (2530). *เคลือบเซรามิกส์*. กรุงเทพฯ: อักษรเจริญทัศน์.
- บริเด้า พิมพ์ขาวขำ. (2539). *เซรามิกส์* (พิมพ์ครั้งที่ 4, ฉบับปรับปรุงแก้ไข). กรุงเทพฯ: จุฬาลงกรณ์มหาวิทยาลัย.

หนังสือ (ภาษาอังกฤษ)

- ASTM C 326-03 (2005). Standard Test Method for Drying and Firing Shrinkages of Ceramic Whiteware Clays. *Annual Book of ASTM Standards* (Volume 15.02 Glass; Ceramic Whitewares). U.S.A.
- ASTM C 373-88 (2005). Standard Test Method for Water Absorption, Bulk Density, Apparent Porosity, and Apparent Specific Gravity of Fired Whiteware Products. *Annual Book of ASTM Standards* (Volume 15.02, Glass; Ceramic Whitewares). U.S.A.
- ASTM C 372 – 94 (2005). Standard Test Method for Linear Thermal Expansion of Porcelain Enamel and Glaze Frits and Fired Ceramic Whiteware Products by the Dilatometer Method. *Annual Book of ASTM Standards* (Volume 15.02, Glass; Ceramic Whitewares). U.S.A.
- Harper, Charles A. (2001). *Handbook of Ceramics, Glasses, and Diamonds*. New York: McGraw-Hill.
- Kingery, W.D., Bowen, H.K., and Uhlmann D.R. (1976). *Introduction to Ceramics* (Second Edition). U.S.A.: A Wiley-Interscience Publication.
- Ryan, W., and Radford, C. (1997). *Whitewares: Production, Testing and Quality Control*. London: The Institute of Materials.
- SACMI. (2002). *Applied Ceramic Technology (Volume I)*. Italy.

บทความavarสาร (ภาษาไทย)

เพ็ชรพร เซัวกิจเจริญ, ชุดชนก อัษฎพงศ์, อลิสา วิเชียรเจริญ และ อัจฉราภรณ์ พรมบุตร. (2549). การใช้ของเสียที่เป็นแก้วทดแทนแร่เฟลเดอร์สปาร์ในการผลิตกระเบื้องเซรามิก. *วารสารวิศวกรรมสิ่งแวดล้อมไทย*, 20(1), 39-47.

บทความavarสาร (ภาษาอังกฤษ)

Andreola, F., Barbieri, L., Karamanova, E., Lancellotti, I., and Pelino, M. (2008). Recycling of CRT panel glass as fluxing agent in the porcelain stoneware tile production. *Ceramics International*, 34, 1289-1295.

Luz, A.P., and Ribeiro, S. (2007). Use of glass waste as a raw material in porcelain stoneware tile mixtures. *Ceramics International*, 33, 761-765.

Matteucci, F., Dondi, M. and Guarini, G. (2002). Effect of soda-lime glass on sintering and technological properties of porcelain stoneware tiles. *Ceramics International*, 28, 873-880.

Pontikes, Y., Esposito, L., Tucci, A., and Angelopoulos, G.N. (2007). Thermal behaviour of clays for traditional ceramics with soda-lime-silica waste glass admixture. *Journal of the European Ceramic Society*, 27, 1657-1663.

Raimondo, M., Zanelli, C., Matteucci, F., Guarini, G., Dondi, M., and Labrincha, J.A. (2007). Effect of waste glass (TV/PC cathodic tube and screen) on technological properties and sintering behaviour of porcelain stoneware tiles. *Ceramics International*, 33, 615-623.

เอกสารอื่น ๆ

สำนักงานมาตรฐานผลิตภัณฑ์อุตสาหกรรม. (2542). มาตรฐานผลิตภัณฑ์อุตสาหกรรมกระเบื้องดินเผา/พื้น (มอก. 37-2529). กรุงเทพฯ: กระทรวงอุตสาหกรรม.

สำนักงานมาตรฐานผลิตภัณฑ์อุตสาหกรรม. (2543). มาตรฐานผลิตภัณฑ์อุตสาหกรรมกระเบื้องดินเผาเคลือบบุผนังภายใน (มอก. 613-2529). กรุงเทพฯ: กระทรวงอุตสาหกรรม.

สำนักงานมาตรฐานผลิตภัณฑ์อุตสาหกรรม. (2529). มาตรฐานผลิตภัณฑ์อุตสาหกรรมกระเบื้องดินเผาบุผนังภายนอก (มอก. 614-2529). กรุงเทพฯ: กระทรวงอุตสาหกรรม.

สมนึก ศิริสุนทร. (2552). เอกสารประกอบการสัมมนาเรื่อง “สภาพภารณ์อุตสาหกรรมเชرامิกในปัจจุบัน”. งานสัมมนาเชิงวิชาการ เรื่อง “สู่วิกฤติด้วยระบบโลจิสติกส์ ทางเลือกใหม่ของผู้ประกอบการเชرامิก”. 3 สิงหาคม 2552 โรงแรมเดลิสัน กรุงเทพฯ.

สีออลีเจ้นทรอนิกส์

กรมศุลกากร กระทรวงการคลัง. สถิติข้อมูลการนำเข้า-ส่งออก. สืบคันเมื่อวันที่ 8 กุมภาพันธ์ 2553, จาก <http://www.customs.go.th/Statistic/Index.jsp>

IRHD: International Rubber Hardness Degrees. สืบคันเมื่อวันที่ 16 พฤษภาคม 2553, จาก http://www.ides.com/property_descriptions/ASTMD1415.asp

ประวัติการศึกษา

ชื่อ	นางสาวภัทรวรรณ เนยเจริญ
วันเดือนปีเกิด	3 ธันวาคม พ.ศ. 2522
วุฒิการศึกษา	วิศวกรรมศาสตรบัณฑิต สาขาวิชาวิศวกรรมเซรามิก คณะวิศวกรรมศาสตร์ มหาวิทยาลัยเทคโนโลยีสุรนารี
ผลงานทางวิชาการ	<ul style="list-style-type: none"> - The 35th Congress on Science and Technology of Thailand (STT 35), "Ceramic glaze from 100% solid wastes", October 15-17, 2009. - การประชุมวิชาการวิศวกรรมเคมีและเคมีประยุกต์แห่งประเทศไทย ครั้งที่ 19 "การใช้เศษแก้วและガกตะกอนเคลือบพริตเป็นตัวช่วยลดลงในการผลิตกระเบื้องเซรามิก", 26-27 ตุลาคม 2552. - วารสารเซรามิกส์ (Ceramics Journal), "การพัฒนากระบวนการผลิตผลิตภัณฑ์เซรามิกในจังหวัดลำปาง", สมาคมเซรามิกส์ไทย ปีที่ 12 ฉบับที่ 28, พฤษภาคม – สิงหาคม 2551. หน้า 39 – 42. - วารสารเซรามิกส์ (Ceramics Journal), "การควบคุมคุณภาพในโรงงานเซรามิก", สมาคมเซรามิกส์ไทย ปีที่ 11 ฉบับที่ 24, มกราคม – เมษายน 2550. หน้า 65 – 71. - Thai Ceramic Directory 2007-2009, "ตำแหน่งงานใน โรงงานก่ออิฐและหลังเพาบิสกิต" กลุ่มการผลิตและออกแบบ สำหรับอุตสาหกรรมเซรามิกส์ ศูนย์เทคโนโลยีโลหะและวัสดุ แห่งชาติ, 2550. หน้า 92 - 95.
ประสบการณ์ทำงาน	<p>ศูนย์เทคโนโลยีโลหะและวัสดุแห่งชาติ</p> <p>สำนักงานพัฒนาวิทยาศาสตร์และเทคโนโลยีแห่งชาติ (2544 – ปัจจุบัน)</p>